

บทที่ 3

ผลการทดลองและวิจารณ์

3.1 การเทียบเคียงสายพันธุ์แบคทีเรียสังเคราะห์แสง

3.1.1 การเทียบเคียงตามสรีริวิทยา สัณฐานวิทยา

สำหรับการเทียบเคียงสายพันธุ์แบคทีเรียสังเคราะห์แสงท่านคุณจำเป็นต้องเทียบเคียงทั้งสายพันธุ์ดังเดิม ES 16 และสายพันธุ์กลาญ N20 และ U7 จากการทำการทำกลาญโดยวาริท หมัดหมาน (2545) เพื่อเป็นการยืนยันผลของการเทียบเคียงว่าไม่มีการเปลี่ยนแปลงของสายพันธุ์หลังจากการกลาญพันธุ์ จากผลการศึกษาลักษณะทางสัณฐานวิทยา และทางสรีริวิทยาของแบคทีเรียสังเคราะห์แสงสายพันธุ์ ES16, N20 และ U7 โดยนำผลที่ได้มาเทียบเคียงกับอนุกรมวิธานของแบคทีเรียสังเคราะห์แสงตาม Bergey's Manual of Systematic Bacteriology (Staley et al., 1989) พ布ว่าเชื้อเจริญได้ในสภาพไว้อากาศ-ให้แสง จึงจัดเป็น Photoheterotroph ซึ่งใช้แสงเป็นแหล่งพลังงาน และสารอินทรีย์เป็นแหล่งคาร์บอน ซึ่งการทำทดลองนี้คือ ชักซิเนทใน Succinate medium ในทำนองเดียวกันสามารถจัดรูปแบบการเจริญของทั้งสามสายพันธุ์เป็น Chemoheterotroph ซึ่งใช้สารอินทรีย์เป็นทั้งแหล่งพลังงานและแหล่งคาร์บอน โดยเกิดขึ้นเมื่อเลี้ยงในสภาพไว้อากาศ-ไวแสง ดังนั้นจัดทั้งสามสายพันธุ์เป็นแบคทีเรียกลุ่ม Photosynthetic bacteria หรือ Anoxygenic phototrophic bacteria อย่างไรก็ตาม ทั้งสามสายพันธุ์ไม่สามารถเจริญได้ในอาหารที่มีซัลไฟฟ์ หรือ ไอโซซัลไฟฟ์ จึงจัดเป็นสมาชิกในกลุ่มแบคทีเรียสังเคราะห์แสงประเภท Purple nonsulfur bacteria ในวงศ์ Rhodospirillaceae

สายพันธุ์ ES16 มีลักษณะเซลล์เป็นรูปไข่ ติดสีแกรมลบ มีขนาด $0.5 \times 1.0 \mu\text{m}$ โดยเซลล์มีค่าการดูดกลืนแสงสูงสุด คือ 474, 588, 800, 855 และ 877 nm (**ภาพที่ 9a**) ซึ่งเป็นร่องวัตถุสำหรับการสังเคราะห์แสงชนิด bacteriochlorophyll *a* โดยมีความต้องการวิตามินสำหรับส่งเสริมการเจริญ คือ ไบโอดิน และไทด์มีน และมีการสืบพันธุ์แบบไม่ออาศัยเพศด้วยการแบ่งตัว (binary fission) โดยอาจพบเซลล์ต่อ กันเป็นสาย

สายพันธุ์ N20 มีลักษณะเซลล์เป็นรูปไข่ ติดสีแกรมลบ มีขนาด $0.5 \times 1.0 \mu\text{m}$ โดยเซลล์มีค่าการดูดกลืนแสงสูงสุด คือ 476, 588, 801, 855 และ 876 nm (**ภาพที่ 9b**) เป็นร่องวัตถุสำหรับการสังเคราะห์แสงชนิด bacteriochlorophyll *a* โดยมีความต้องการวิตามินสำหรับส่งเสริมการเจริญ คือ ไบโอดิน และไทด์มีนและพบว่ามีการสืบพันธุ์แบบไม่ออาศัยเพศด้วยการแบ่งตัว (binary fission) โดยอาจพบเซลล์ต่อ กันเป็นสาย

สายพันธุ์ U7 มีลักษณะเซลล์เป็นรูปไข่ ติดสีแกรมลบ มีขนาด $0.8 \times 1.0 \mu\text{m}$ โดยเซลล์มีค่าการดูดกลืนแสงสูงสุด คือ 474, 588, 800, 855 และ 877 nm (**ภาพที่ 9c**) เป็นรังควัตถุสำหรับการสังเคราะห์แสงชนิด bacteriochlorophyll *a* โดยมีความต้องการวิตามินสำหรับส่งเสริมการเจริญ คือ ใบโอดิน และ ไโทเมิน และพบว่ามีการสืบพันธุ์แบบไม่อ้าศัยเพคด้วยการแบ่งตัว (binary fission) โดยอาจพบเซลล์ต่อกันเป็นสาย ในการพิจารณาลักษณะเซลล์ รวมถึงขนาดสามารถวิเคราะห์ได้จากภาพถ่ายด้วยกล้องจุลทรรศน์อิเล็กตรอน

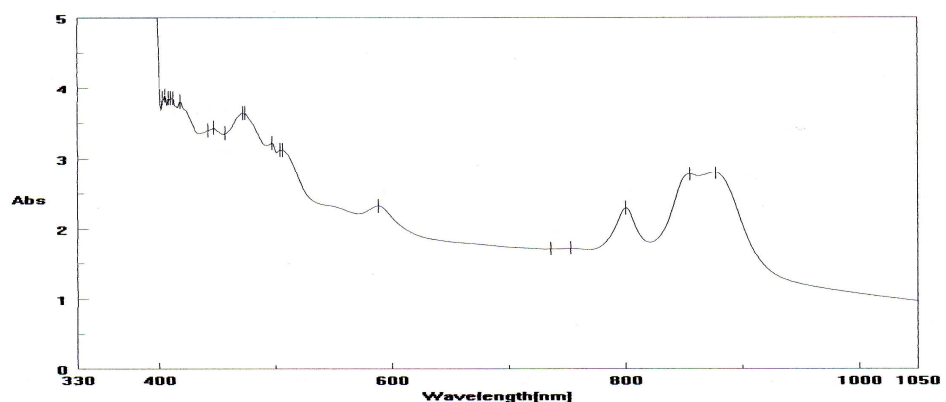
ในการเทียบเคียงสายพันธุ์ของแบคทีเรียสังเคราะห์แสงสามารถวิเคราะห์ผลดังนี้

1. ใน การเทียบเคียงแบคทีเรียสังเคราะห์แสงในกลุ่ม Purple nonsulfur bacteria นั้นอาศัยคุณลักษณะของรูปร่างเซลล์เป็นหลักในการเทียบเคียงถึงสกุล (Genus) โดยเทียบเคียงเซลล์ที่มีลักษณะโค้งงอจนถึงเกลียวในจีนัส *Rhodospirillum* และ *Rhodocyclus* ในขณะที่จัดเป็นจีนัส *Rhodopila* ถ้าเซลล์มีรูปทรงรีหรือรูปไข่จัดเป็นจีนัส *Rhodobacter*, *Rhodopseudomonas* และ *Rhodomicrobium* (Staley *et al.*, 1989) ซึ่งจากการบันทึกพบว่าทั้งสายพันธุ์ ES16, N20 และ U7 มีลักษณะของเซลล์เป็นรูปไข่ โดยพิจารณาจากรูปร่างเซลล์ภายใต้กล้องจุลทรรศน์อิเล็กตรอนแบบส่อง粒化 (SEM) ดัง**ภาพที่ 10** จึงเทียบเคียงได้ว่าเป็นสมาชิกของจีนัส *Rhodobacter* หรือ *Rhodopseudomonas* หรือ *Rhodomicrobium*

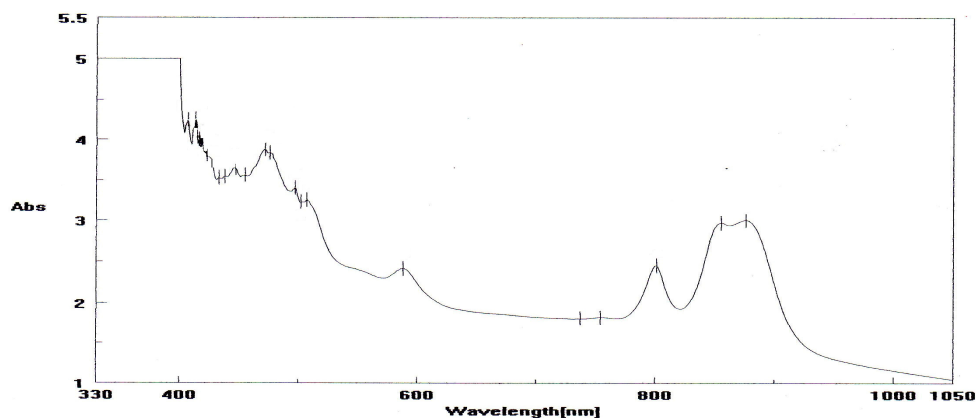
2. เมื่อพิจารณาการสืบพันธุ์แบบไม่อ้าศัยเพคของแบคทีเรียสังเคราะห์แสงสายพันธุ์ ES16, N20 และ U7 พบว่ามีการแบ่งเซลล์แบบ binary fission และการติดกันเป็นสาย ซึ่งตรงกับคุณลักษณะของแบคทีเรียสังเคราะห์แสงในจีนัส *Rhodobacter* ในขณะที่จีนัส *Rhodopseudomonas* และ *Rhodomicrobium* จะสืบพันธุ์แบบไม่อ้าศัยเพคด้วยการ budding จึงจัดทั้ง 3 สายพันธุ์อยู่ในสกุล *Rhodobacter*

3. สำหรับการระบุชนิด (species) ของแบคทีเรียสังเคราะห์แสงอาศัยคุณสมบัติของกระบวนการเมแทabolism หรือคุณสมบัติทางเคมี โดยพิจารณาความสามารถในการใช้สารอาหารที่เป็นแหล่งคาร์บอน หรือ electron donor ซึ่งจากการทดลองเลี้ยงแบคทีเรียสังเคราะห์แสงสายพันธุ์ ES16, N20 และ U7 ในแหล่งคาร์บอน 14 ชนิด พบว่าทุกสายพันธุ์ไม่สามารถเจริญได้ในอาหารที่เติมเบนโซเอตเป็นแหล่งคาร์บอน ในขณะที่สามารถใช้และเจริญได้ใน อะซิตेट, โพรพิโอลเอนท, แลคเตท, นาเดท, ชัคซิเนท, ทาเทรท, กลูตามาท, กลูโคลส, ฟลูโคส, แมนนิทอล, วาเลอเรท ชอบิทอล และกลีเซอรอล โดยสามารถเจริญได้เล็กน้อยในอาหารที่มีซิเตอทเป็นแหล่งคาร์บอน ซึ่งจากการทดลองใช้สารอาหารสามารถนำมาใช้เพื่อระบุสายพันธุ์ของแบคทีเรียสังเคราะห์แสงได้ดังนี้

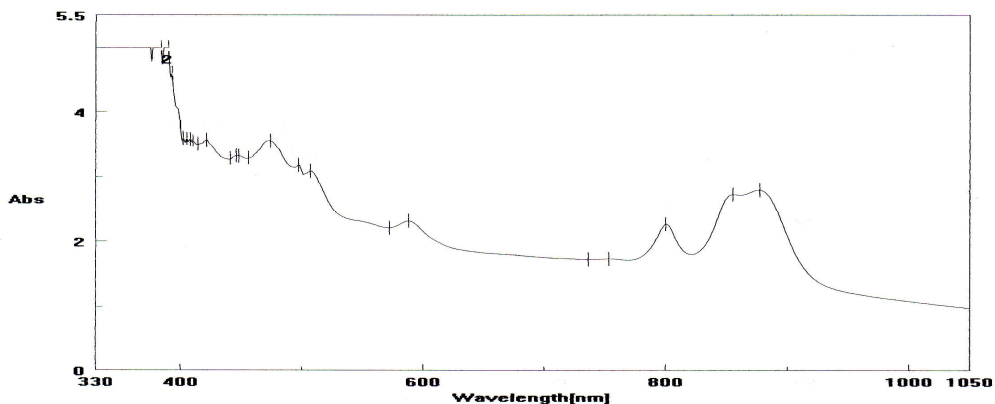
(a)



(b)



(c)



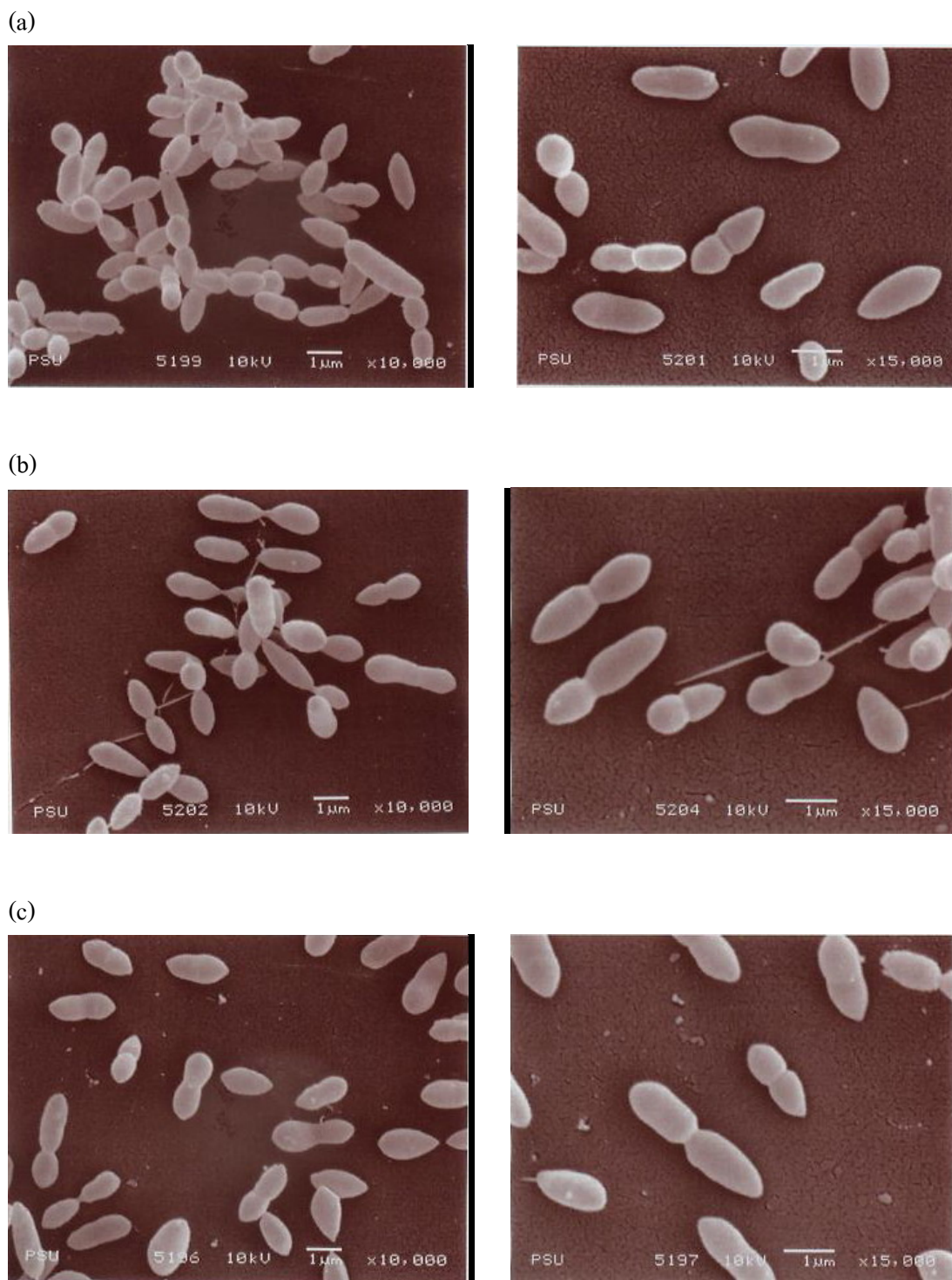
ภาพที่ 9

สเปกตรัมการดูดกลืนแสงของสารละลายนีโตรเจนแบบที่เรียกว่าเคราะห์แสง

(a) ES16 (b) N20 (c) U7

Figure 9.

Optical spectra of whole photosynthetic bacterial cell suspension both wild type and mutant strains (a) ES16 (b) N20 (c) U7.



ภาพที่ 10 ภาพถ่ายอิเล็กตรอนแบบส่องกล้องของเซลล์แบคทีเรียสัมเคราะห์แสงทนเค็ม กำลังขยาย $\times 10,000$ (ซ้าย) และ $\times 15,000$ (ขวา) (a) สายพันธุ์ ES16 (b) สายพันธุ์ N20 (c) สายพันธุ์ U7

Figure 10. Scanning electron micrograph (SEM) $\times 10,000$ (left) and $\times 15,000$ (right) of the halotolerant photosynthetic bacterial strain (a) ES16 (b) N20 (c) U7.

กรณีที่ไม่เจริญในอาหารที่มีเบนโซเอթสามารถกระบุได้ว่าเป็น *Rhodobacter capsulatus*, *R. sphaeroides*, *R. sulfidophilus*, *R. adriaticus* และ *R. veldkampii* กรณีเจริญได้ในอาหารที่มี อะซิเตท โพพริโอลนಥ แลกเตท มาเลท ซัคซิเนท วาเลอเรท กลูโคส และกลูทามเท สามารถกระบุได้ว่า เป็น *R. capsulatus*, *R. sphaeroides*, *R. sulfidophilus*, *R. adriaticus* และ *R. veldkampii* กรณีเจริญได้ ในอาหารที่มี ฟลูกโตส, แมนนิทอล และซูบิทอล สามารถกระบุได้ว่าเป็น *R. capsulatus*, *R. sphaeroides* และ *R. sulfidophilus* กรณีสามารถเจริญได้ในอาหารที่มีซิเตรท สามารถกระบุได้ว่าเป็น *R. capsulatus* และ *R. sphaeroides* กรณีเจริญได้ในอาหารที่มีกีลีเชอรอลสามารถกระบุได้ว่าเป็น *R. sphaeroides* และ *R. sulfidophilus* (Staley et al., 1989)

จากการวิเคราะห์การใช้แหล่งคาร์บอนทั้ง 14 ชนิดพบว่าความเป็นไปได้ของชนิดแบคทีเรีย สังเคราะห์แสงคือ *R. capsulatus* หรือ *R. sphaeroides* หรือ *R. sulfidophilus* แต่จากการทดสอบการใช้ซิเตรทพบว่ามีการเจริญได้น้อยกว่าการใช้แหล่งคาร์บอนอื่น ซึ่งการใช้ซิเตรทนั้นสำหรับ *R. capsulatus* จะไม่ใช่ทุกสายพันธุ์ที่สามารถใช้เป็นแหล่งคาร์บอน เมื่อพิจารณาการใช้ทั้ง ซิเตรท และ กีลีเชอรอล พบว่า *R. capsulatus* จะไม่สามารถเจริญในอาหารที่มีกีลีเชอรอล และ *R. sulfidophilus* ไม่สามารถเจริญในอาหารที่มีซิเตรท ในขณะที่ *R. sphaeroides* สามารถเจริญได้ทั้งในซิเตรท และ กีลีเชอรอล ดังนั้นมีความเป็นไปได้ค่อนข้างสูงมากที่แบคทีเรียสังเคราะห์แสงสายพันธุ์ ES16, N20 และ U7 จะเป็น *Rhodobacter sphaeroides* (Staley et al., 1989)

หากเชื้อเจริญได้ในอาหารที่มีทาเทրทสามารถกระบุได้ว่าเป็น *Rhodobacter sphaeroides* ซึ่งสอดคล้องกับผลการทดลองที่แบคทีเรียสังเคราะห์แสงทั้ง 3 สายพันธุ์มีการเจริญได้ดีในอาหารที่ มีทาเทรทเป็นแหล่งคาร์บอน

จากการทดลองสามารถสรุปได้ว่าแบคทีเรียสังเคราะห์แสงสายพันธุ์ ES16, N20 และ U7 จัดเป็นแบคทีเรียสังเคราะห์แสงกลุ่ม Purple nonsulfur bacteria ในวงศ์ *Rhodospirillaceae* สกุล *Rhodobacter* และชนิด *sphaeroides* ซึ่งผลการทดลองแสดงดังตารางที่ 5

3.1.2 การเทียบเคียงเชื้อโดยวิธี 16S rDNA

จากการเทียบเคียงเชื้อแบคทีเรียสังเคราะห์แสงทบทวนคีเมียพันธุ์ ES16 ซึ่งเป็นสายพันธุ์ ดังเดิม กับ สายพันธุ์ N20 และ U7 ซึ่งเป็นสายพันธุ์คล้าย โดยวิธี 16S rDNA ด้วยการใช้ forward primer คือ UFUL (5'-GCCTAACACATGCAAGTCGA-3') และ reverse primer คือ 536R (5'-GTATTACCGCGGCTGCTGG-3') โดยพิจารณาโคลามาโตแกรมของลำดับเบสจาก การแปลผล ลำดับเบสของยีน 16S rDNA และนำลำดับเบสที่ได้ไปเทียบกับ gene bank พบร่วมกับ แบคทีเรียสังเคราะห์แสงทบทวนคีเมียพันธุ์ ES16 เทียบเคียงได้เป็น *Rhodobacter sphaeroides* (100%) เช่นเดียวกับสายพันธุ์ N20 และ U7 ซึ่งสามารถเทียบเคียงได้เป็น *Rhodobacter sphaeroides* (99%)

แสดงดังตารางที่ 6 ความสัมพันธ์ของแบคทีเรียสัมเคระห์แสงกลุ่ม *Rhodobacter sphaeroides* กับแบคทีเรียในกลุ่มไกล์เคียงซึ่งจัดเป็นกลุ่ม Proteobacteria ประเภท alpha subdivision จากการนำลำดับเบสที่ได้จาก gene bank (<http://www.ncbi.nlm.nih.gov>) ซึ่งสามารถแสดงความสัมพันธ์ด้วย phylogenetic tree ดังภาพที่ 11

ตารางที่ 5 คุณลักษณะทางอนุกรมวิธาน และทางชีวเคมีของแบคทีเรียสัมเคระห์แสงสายพันธุ์ดั้งเดิม ES16 และสายพันธุ์กลาย N20 กับ U7

Table 5. Taxonomical and biochemical characteristics of photosynthetic bacterial wild type and mutant strain.

Characteristics	Results		
	Strain ES16	Strain N20	Strain U7
1. Growth form	Photoheterotroph Chemoheterotroph	Photoheterotroph Chemoheterotroph	Photoheterotroph Chemoheterotroph
2. Growth on sulfide and thiosulfate	-	-	-
3. Bacteriochlorophyll	a	a	a
4. Gram staining	negative	negative	negative
5. Cell shape	ovoid	ovoid	ovoid
6. Cell size (μm)	0.5x1.0	0.5x1.0	0.5-0.8x1.0
7. Motility	+	+	+
8. Gelatin degradation	-	-	-
9. Slime formation	+	+	+
10. Visible colour of cell suspension	An-L : brownish red, Ae-D : red	An-L : brownish-red, Ae-D : red	An-L : brownish red, Ae-D : red
11. Vitamin requirement	biotin, thiamine	biotin, thiamine	biotin, thiamine
12. Carbon source for electron donor			
Acetate	++	++	++
Propionate	++	++	++
Lactate	++	++	++
Malate	++	++	++

ตารางที่ 5 (ต่อ)

Table 5. (continued)

Characteristics	Results		
	Strain ES16	Strain N20	Strain U7
Tartrate	++	++	++
Citrate	+	+	+
Valerate	++	++	++
Glutamate	++	++	++
Benzoate	-	-	-
Glucose	++	++	++
Fructose	++	++	++
Mannitol	++	++	++
Sorbitol	++	++	++
Glycerol	++	++	++

+ คือ ผล positive, - คือ ผล negative

An-L คือ Anaerobic-Light, Ae-D คือ Aerobic-Dark

^a ++ คือ เจริญดีมาก ($OD_{660} \geq 0.8$), + คือ เจริญเล็กน้อย ($0.2 \leq OD_{660} \leq 0.8$) - คือ ไม่เจริญ

+ represented as positive result, - represented as negative result

An-L represented as anaerobic-light, Ae-D represented as aerobic-dark

^a ++ represented as well growth ($OD_{660} \geq 0.8$), , + represented as little growth ($0.2 \leq OD_{660} \leq 0.8$) , - represented as no growth

ตารางที่ 6

Table 6.

ผลการเทียบเคียงแบปทีเรียสังเคราะห์แสงสายพันธุ์ ES16 N20 และ U7

Identification of photosynthetic bacterial strain ES16 (wild type), N20 and U7 (mutant) with database in gene bank.

Strain	Sequences producing significant alignments	Identity (%)	Score (bits)	E Value
ES 16	<i>R. sphaeroides</i> ribosomal RNA operon rrnB	100	1050	0.0
	<i>R. sphaeroides</i> ribosomal RNA operon rrnC	99	1026	0.0
	<i>R. sphaeroides</i> ribosomal RNA operon rrnA	99	1026	0.0
	<i>R. sphaeroides</i> gene for 16S ribosomal RNA	99	915	0.0
	<i>R. sphaeroides</i> gene for 16S ribosomal RNA	99	907	0.0
N20	<i>R. sphaeroides</i> ribosomal RNA operon rrnC	99	1249	0.0
	<i>R. sphaeroides</i> ribosomal RNA operon rrnB	99	1249	0.0
	<i>R. sphaeroides</i> ribosomal RNA operon rrnA	99	1249	0.0
	<i>R. sphaeroides</i> gene for 16S ribosomal RNA	99	1249	0.0
	<i>R. sphaeroides</i> 16S rRNA gene	99	1249	0.0
U7	<i>R. sphaeroides</i> ribosomal RNA operon rrnC	99	1156	0.0
	<i>R. sphaeroides</i> ribosomal RNA operon rrnB	99	1156	0.0
	<i>R. sphaeroides</i> ribosomal RNA operon rrnA	99	1156	0.0
	<i>R. sphaeroides</i> gene for 16S ribosomal RNA	99	1156	0.0
	<i>R. sphaeroides</i> 16S rRNA gene	99	1156	0.0

Score เป็นค่าแสดงความใกล้เคียงของ sequence ที่สนใจเปรียบเทียบกับ sequence ใน database ค่า ยิ่งสูงแสดงว่ามีความใกล้เคียง, **E value** เป็นค่าพารามิเตอร์ซึ่งใช้อธิบายถึงค่า score ที่เกิดขึ้นเมื่อนำเข้าคัญระหว่าง sequence ที่สนใจ กับ sequence ใน database ค่า ยิ่งน้อยจะมีนัยสำคัญมากกว่าและ มีความใกล้เคียงมาก

Score is value derived from the raw sequence with database and high score that exists for matches between sequences. **E value** is parameter that describes the number of score can expect when searching a database of particular sequence. It decreases exponentially with the score that is assigned to a match between two sequences.

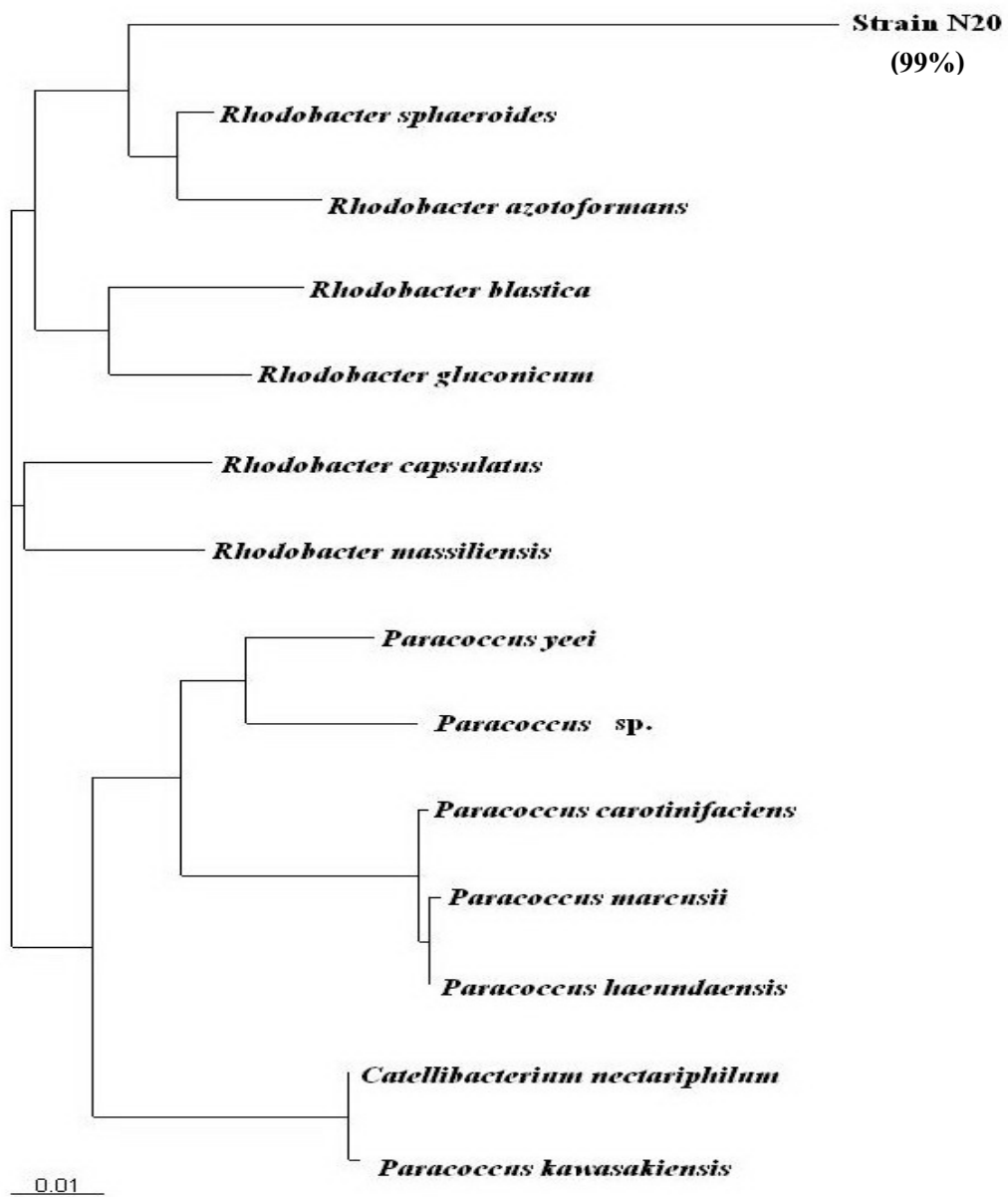
(a)



ภาพที่ 11 ความสัมพันธ์ของสายพันธุ์แบคทีเรียต่างๆ เช่น Strain ES16 (a), N20 (b) และ U7 (c) ในลักษณะของ Phylogenetic tree เทียบเคียงกับแบคทีเรียกลุ่ม Proteobacteria ประจำ subdivision alpha

Figure 11. Phylogenetic analysis of the mutant strain ES16 (a), N20 (b) and U7 (c) and selected photosynthetic bacteria in alpha subdivision of the division Proteobacteria generated from an alignment of 16S rDNA obtained from GenBank database.

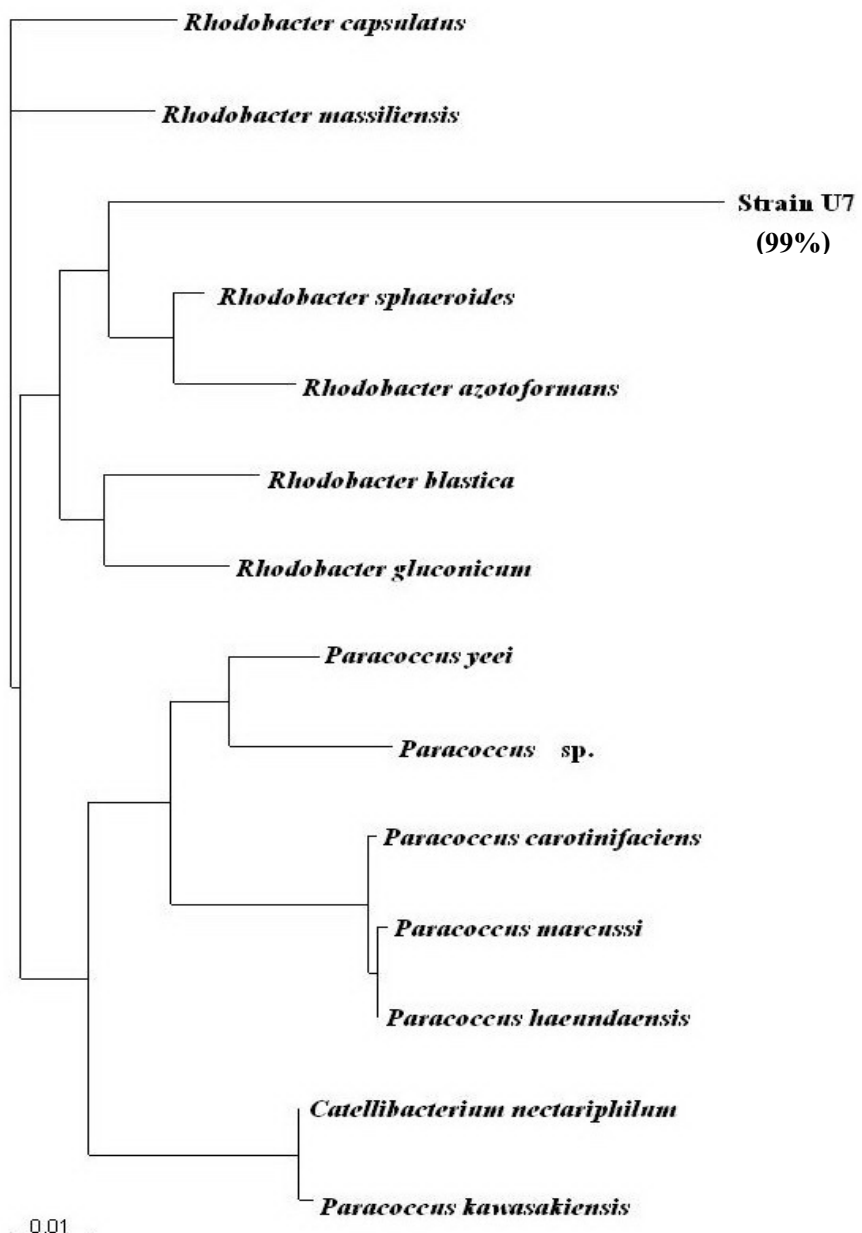
(b)



ภาพที่ 11 (ต่อ)

Figure 11. (continued)

(c)



ภาพที่ 11

(ต่อ)

Figure 11.

(continued)

3.2 การคัดเลือกแบคทีเรียสังเคราะห์แสงสายพันธุ์กล้ายที่มีคุณสมบัติในการผลิตโภคภัณฑ์

3.2.1 การผลิตพอลิเมอร์ภายในเซลล์

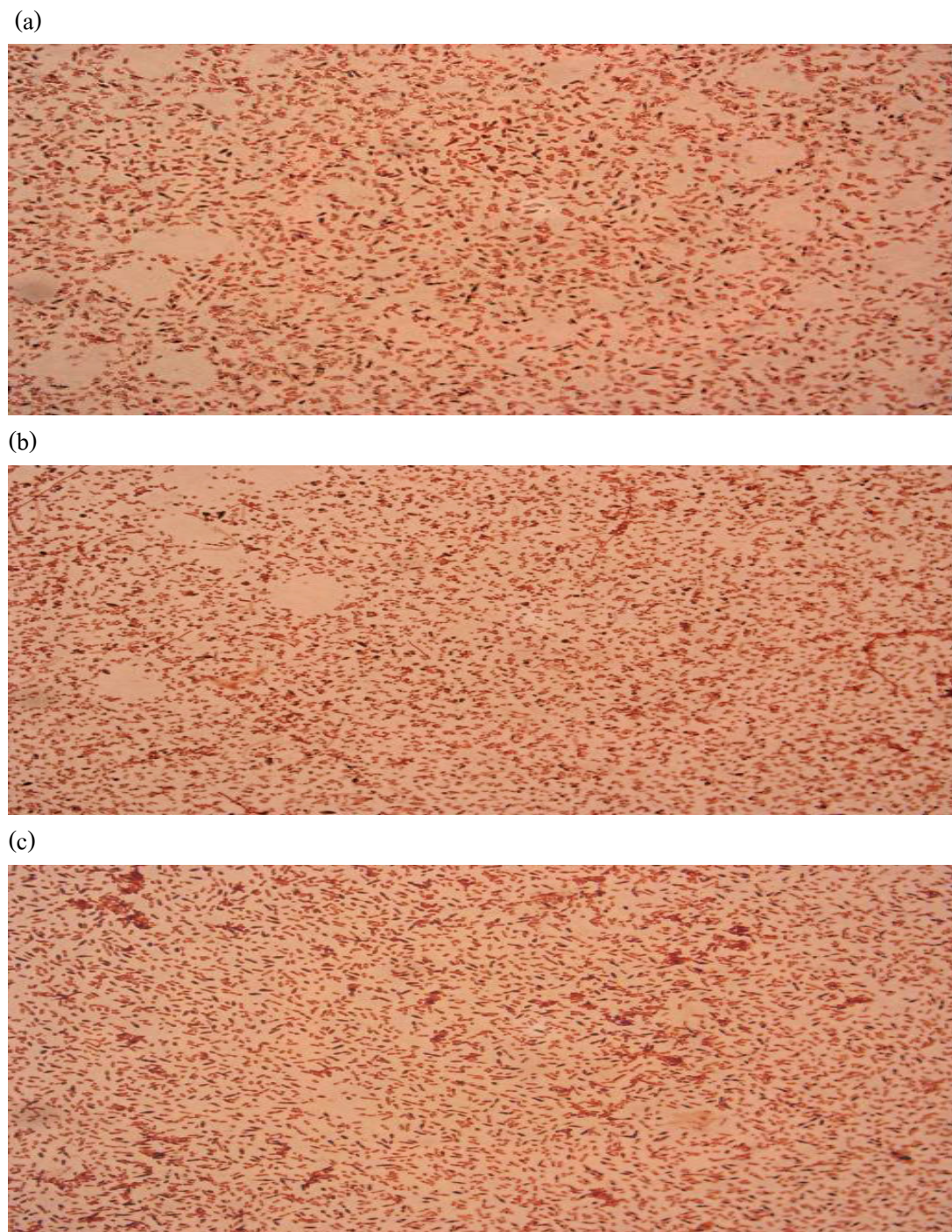
3.2.1.1 การย้อมเซลล์ด้วยสี Sudan black และการทำ Thin-section electron microscopy

นำเซลล์แบคทีเรียสังเคราะห์แสงสายพันธุ์ ES16, N20 และ U7 มาข้อมด้วยสี Sudan black ภาคผนวก ข เพื่อพิจารณาสารพอลิเมอร์ภายในเซลล์ในกลุ่มของ lipophilic material นั้นพบว่า สามารถข้อมติดสี Sudan black (ภาพที่ 12) ซึ่งแสดงว่าแบคทีเรียสังเคราะห์แสงผลิตพอลิเมอร์กลุ่ม Poly- β -hydroxybutyrate (PHB) (Kango and Patel, 2003) ซึ่งสังเกตได้จากสีของเซลล์ที่ปรากฏสีฟ้าถึงดำ ทั้งสามสายพันธุ์มีความสามารถในการผลิต PHB แตกต่างกัน โดยสายพันธุ์ ES16 มีความสามารถในการผลิต PHB ได้น้อยกว่าสายพันธุ์กล้าย และสายพันธุ์กล้ายทั้ง 2 สายพันธุ์ สามารถผลิตสารพอลิเมอร์ได้ใกล้เคียงกันซึ่งพิจารณาจากปริมาณเซลล์ที่ติดสีของ Sudan black

สำหรับการทำ Thin-section electron microscopy (TEM) เพื่อให้เห็นลักษณะเซลล์และการผลิตพอลิเมอร์ภายในเซลล์ โดยมองเห็นเป็นลักษณะของแกรนูลสีขาว (ภาพที่ 13) ปริมาณของแกรนูลจะมากหรือน้อยขึ้นกับความสามารถในการผลิตของแบคทีเรียแต่ละชนิด

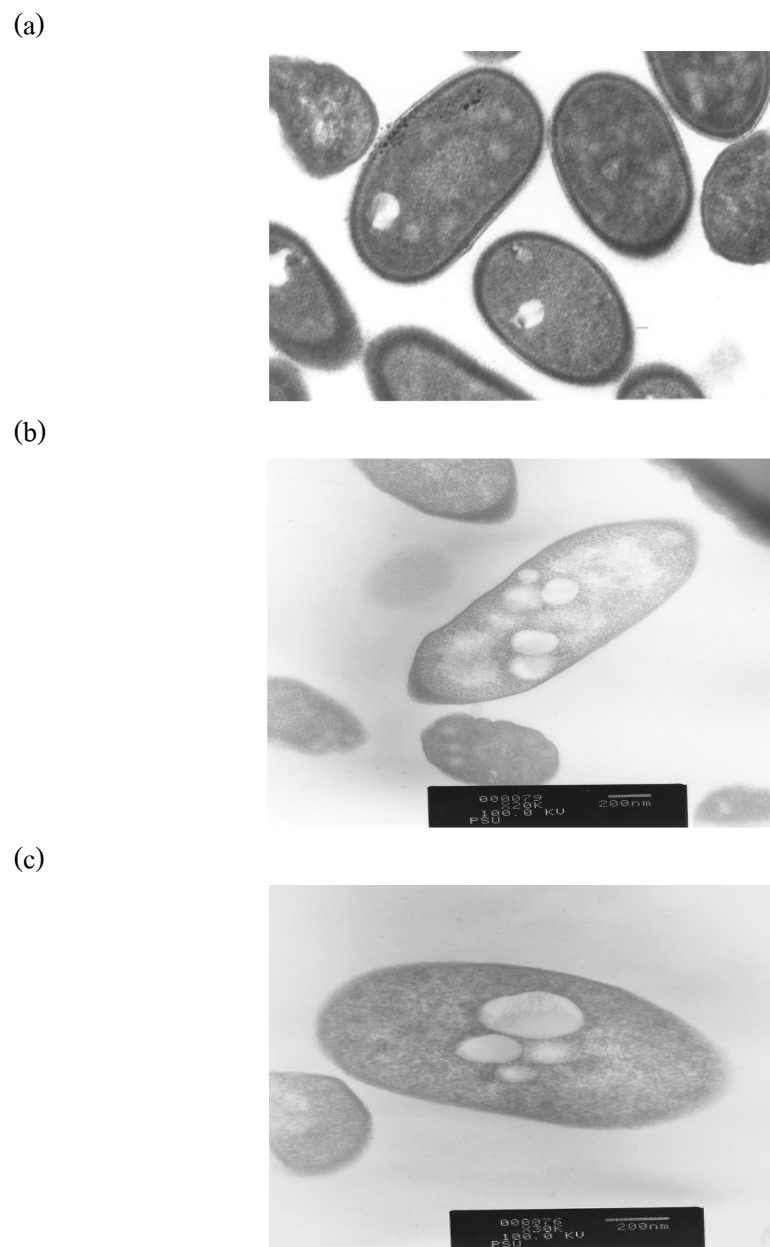
3.2.1.2 การคัดเลือกแบคทีเรียสังเคราะห์แสงทนเค็มสายพันธุ์กล้าย

จากการเลี้ยงเชื้อ *Rhodobacter sphaeroides* สายพันธุ์กล้าย 2 สายพันธุ์ N20 และ U7 เปรียบเทียบกับสายพันธุ์ดังเดิม ES16 ในอาหารเลี้ยงเชื้อกลูทามท-อะซิเตท (GA medium) เพื่อพิจารณาการเจริญและความสามารถในการผลิต PHA พบว่าทั้งสามสายพันธุ์เจริญได้ในอาหารสูตรดังกล่าว (ภาพที่ 14) ซึ่งพบว่า *R. sphaeroides* U7 และ N20 มีแนวโน้มการเจริญเข้าสู่ stationary phase ในช่วงโมงที่ 36 ในขณะที่ *R. sphaeroides* ES16 พบได้ในช่วงโมงที่ 48 ปริมาณเซลล์แห้งสูงสุดเท่ากับ 3.35, 3.7 และ 2.8 กรัมต่อลิตรจาก *Rhodobacter sphaeroides* N20, U7 และ ES16 ตามลำดับ แสดงให้เห็นว่าสายพันธุ์กล้ายสามารถปรับตัวในอาหารได้ดีกว่าสายพันธุ์ดังเดิม เมื่อนำน้ำหนักเซลล์แห้งมาสกัดเพื่อวิเคราะห์หาปริมาณ พอลิเมอร์ชนิด PHA ภายในเซลล์ด้วยวิธี gravimetric method พบว่าการผลิตหรือการสังเคราะห์พอลิเมอร์ในกลุ่มดังกล่าวจะสอดคล้องหรือสัมพันธ์โดยตรงกับการเจริญ ปริมาณ PHA ที่เกิดขึ้นมีแนวโน้มคงที่เมื่อการเจริญเข้า stationary phase ปริมาณของ PHA อาจมีปริมาณลดลงเนื่องจากถูกนำกลับมาใช้เป็นแหล่งพลังงาน หรือแหล่งการรับอนสำหรับเซลล์ต่อไป โดยปริมาณ PHA จาก *R. sphaeroides* U7 และ N20 ผลิตได้สูงสุดเท่ากับ 2.26 และ 2.14 กรัมต่อลิตรตามลำดับ และมีแนวโน้มสูงกว่าที่ *R. sphaeroides* ES16 (1.8 กรัมต่อลิตร) หลังจาก 60 ชั่วโมง จึงพิจารณาคัดเลือกสายพันธุ์กล้ายในการศึกษาการผลิตโภคภัณฑ์ต่อไป



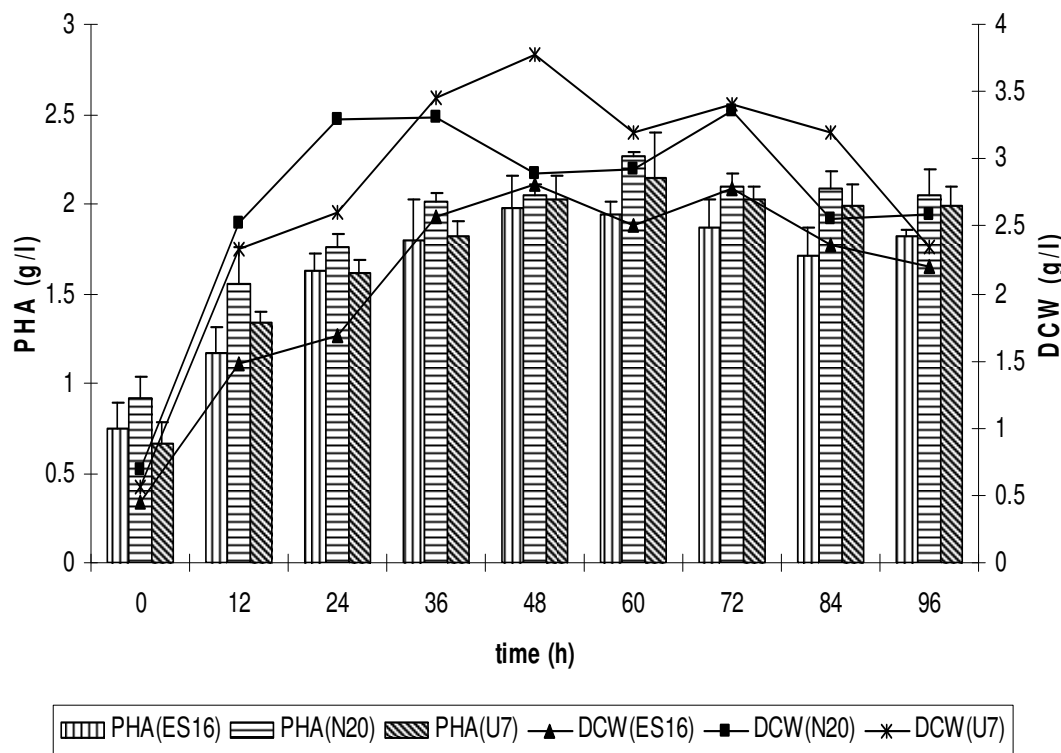
ภาพที่ 12 ลักษณะเซลล์ที่ติดสี Sudan black จากการผลิตสารกลุ่มโพลีเอสเทอร์ (a) สายพันธุ์ ES16 (b) สายพันธุ์ U7 (c) สายพันธุ์ N20

Figure 12. Biopolyester material in photosynthetic bacterial cell stained by Sudan black
(a) strain ES16 (b) strain N20 (c) strain U7.



ภาพที่ 13 ภาพถ่ายอิเล็กตรอนแบบตัดขวางของแบคทีเรียสัมเคราะห์แสงทนเค็มสำหรับพิจารณา PHA granule ภายในเซลล์ (a) สายพันธุ์ ES16 (b) สายพันธุ์ N20 (c) สายพันธุ์ U7

Figure 13. Transmission electron micrograph of the halotolerant photosynthetic bacterial mutant (a) strain ES16 (b) strain N20 (c) strain (U7) indicated PHA as the inclusion body.



ภาพที่ 14

การเจริญและปริมาณ PHA จากการเติบโต *Rhodobacter sphaeroides* ES16, N20 และ U7 ในอาหารเติบโตขีoglутามท-อะซิตอต (GA medium) ในสภาวะให้อากาศ-ไร้แสง (200 รอบต่อนาที) บ่มที่ 37 องศาเซลเซียส

Figure 14.

Time course of growth and PHA production from *Rhodobacter sphaeroides* ES16, N20 and U7 cultivated in glutamate-acetate medium under aerobic-dark (200 rpm) at 37°C.

3.2.2 ผลของชนิดและความเข้มข้นของแหล่งการบ่อนร่วม

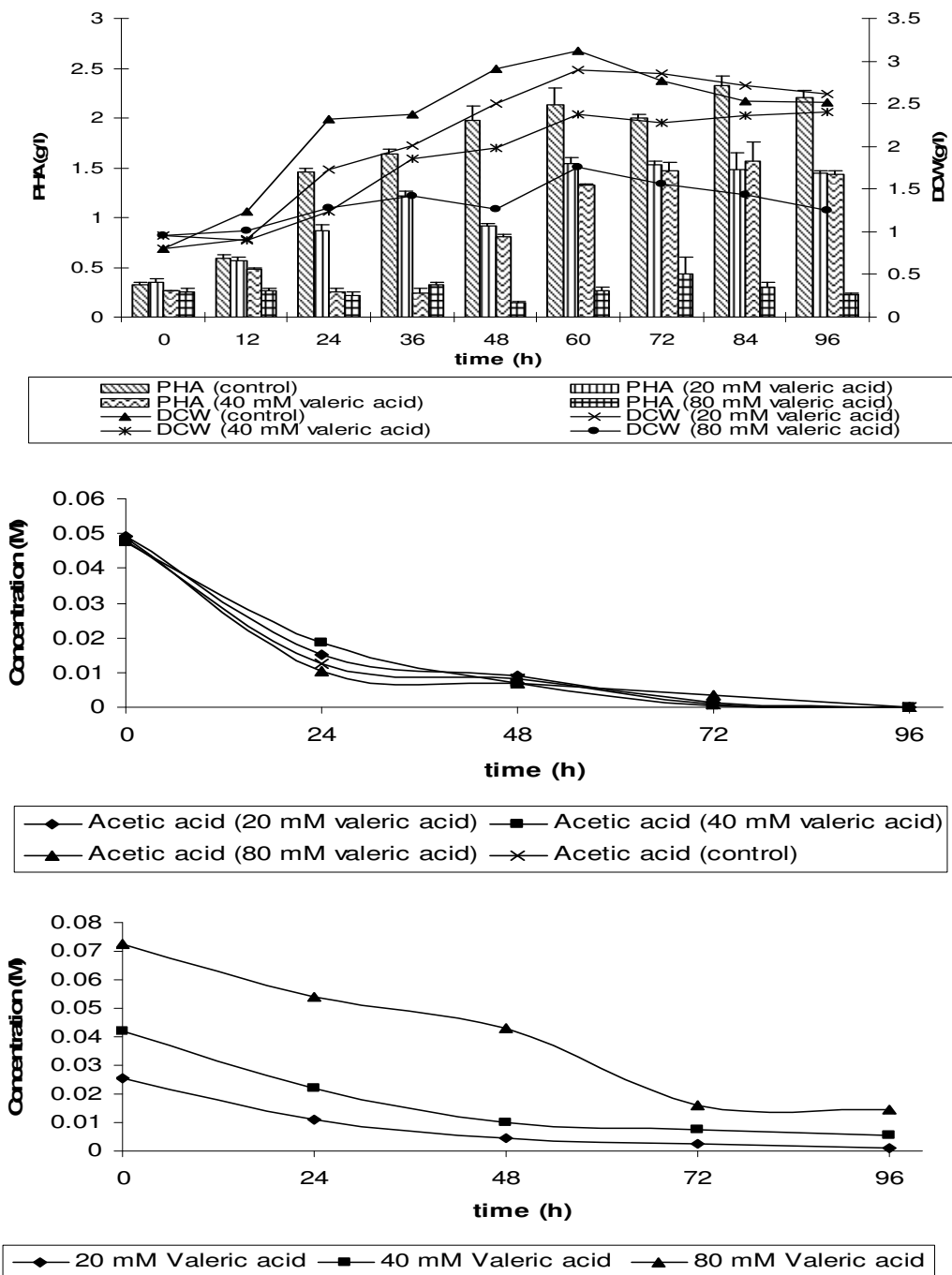
เมื่อเลี้ยงเชื้อ *Rhodobacter sphaeroides* N20 และ U7 ในอาหารเลี้ยงเชื้อ glutamate-acetate medium (GA) ซึ่งมีอะซิเตทความเข้มข้น 40 มิลลิโมลาร์ และ $(\text{NH}_4)_2\text{SO}_4$ ความเข้มข้น 0.2 กรัมต่อลิตรเป็นแหล่งในโตรเจน ([Sangkharak et al., 2005](#)) และเติมแหล่งการบ่อนร่วม คือ กรดวาเลอเริก หรือกรดโพรพิโอนิกความเข้มข้น 20, 40 และ 80 มิลลิโมลาร์ ภายใต้สภาวะให้อากาศ-ไร้แสง โดยเลี้ยงบนเครื่องเบ่า (200 รอบต่อนาที) ที่อุณหภูมิ 37°C เป็นเวลา 96 ชั่วโมง

3.2.2.1 ผลของความเข้มข้นกรดวาเลอเริก

1. ผลการเจริญของ *Rhodobacter sphaeroides* N20 และ U7 ในอาหาร glutamate-acetate medium ที่เติมกรดวาเลอเริกความเข้มข้น 0, 20, 40 และ 80 มิลลิโมลาร์ แสดงใน **ภาพที่ 15 และภาพที่ 16 ตามลำดับ** พบร่องการเจริญที่วัดทั้งค่าความชุ่มน้ำกับปริมาณเซลล์แห้งให้ผลการเจริญในทิศทางเดียวกัน และการเจริญในชุดการทดลองที่ไม่มีการเติมกรดวาเลอเริก (ชุดควบคุม) เชื้อเมจิเริญได้ดีกว่าในชุดการทดลองที่มีการเติมกรดวาเลอเริก โดยพบว่าช่วงที่เชื้อเจริญสูงสุดและระยะการเจริญเข้าสู่ระยะ stationary phase ใช้เวลาประมาณ 60 ชั่วโมง มีปริมาณน้ำหนักเซลล์แห้งประมาณ **3.0** และ **2.7** กรัมต่อลิตร

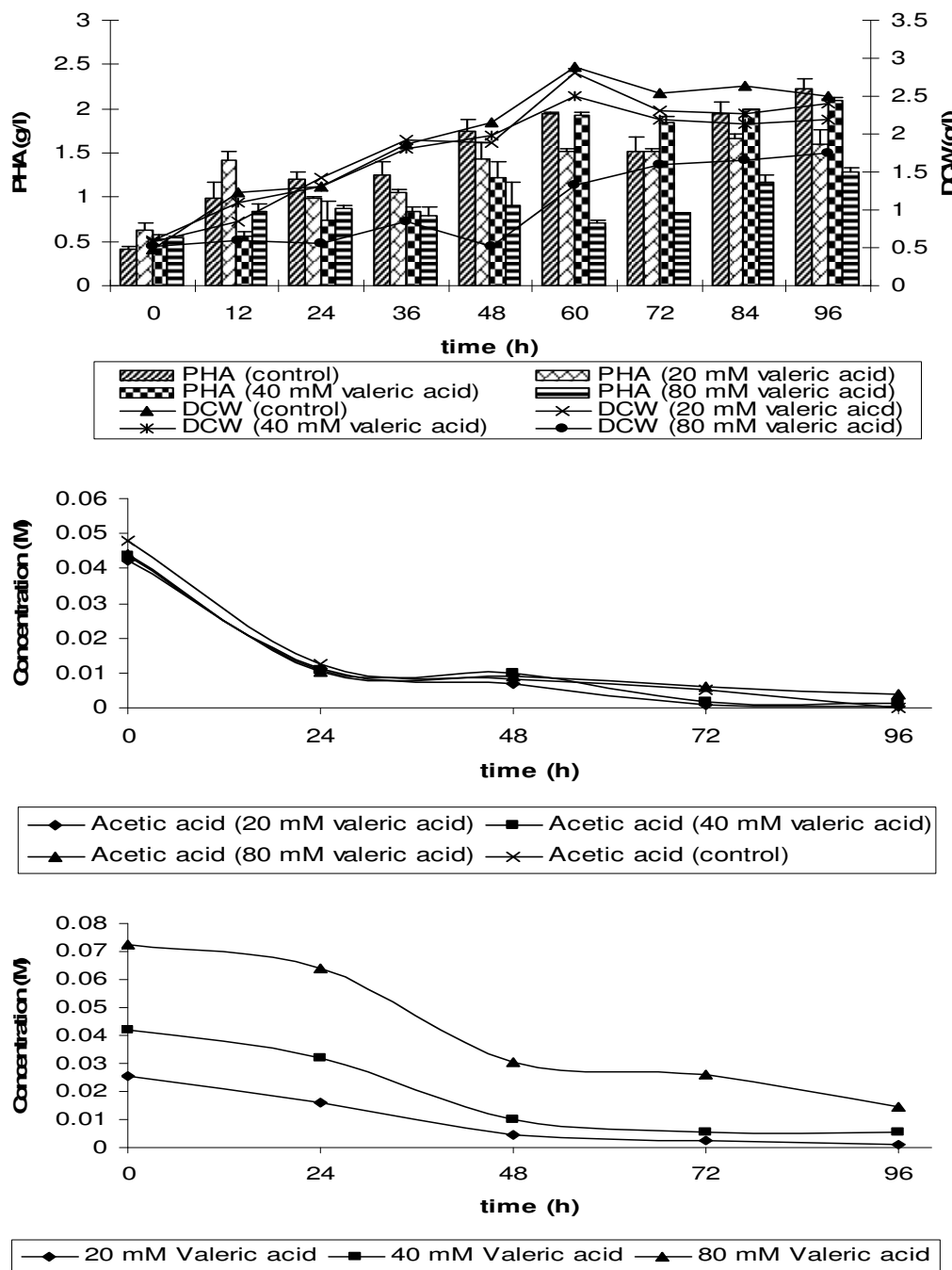
ตามลำดับ ส่วนการเติมกรดวาเลอเริกความเข้มข้น 20, 40 และ 80 มิลลิโมลาร์ การเจริญจะน้อยกว่าชุดควบคุมอย่างเห็นได้ชัดมีค่าน้ำหนักเซลล์แห้ง 2.8, 2.4 และ 1.6 กรัมต่อลิตร ตามลำดับ หลังการเลี้ยงเชื้อ 60 ชั่วโมง สำหรับเชื้อสายพันธุ์ N20 และมีค่าเท่ากับ 2.0, 2.5 และ 1.7 กรัมต่อลิตร สำหรับเชื้อสายพันธุ์ U7

เมื่อพิจารณาการเปลี่ยนแปลงของสารอาหารพบว่าการเจริญช่วงแรก (ตั้งแต่ 0-48 ชั่วโมง) มีการใช้ทั้งอะซิเตทและกรดวาเลอเริกซึ่งความเข้มข้นลดลงอย่างเห็นได้ชัด อันเป็นผลมาจากการอะซิเตทและกรดวาเลอเริกเป็นกรดไขมันสายสั้นหรือเป็นสารที่มีโมเลกุลขนาดเล็กมีจำนวนcarboxylic acid 2 และ 5 อะตอม การนำอะซิเตಥ้าสู่เซลล์ง่ายจึงง่าย โดยอาศัยกลไกการแพร่ผ่านของสารด้วยวิธีการ facilitated diffusion ซึ่งเป็นกระบวนการควบคุมการผ่านเข้าออกของสาร โดยอาศัยสารโปรตีนตัวกลางที่อยู่บริเวณเยื่อหุ้มเซลล์และไม่จำเป็นต้องอาศัยพลังงานจากกระบวนการเมตานอลซิม อาศัยเพียงพลังศักย์ของความเข้มข้นที่แตกต่างของสาร ซึ่งสารจะแพร่ผ่านด้วยความเข้มข้นที่เป็นลำดับ (concentration gradient) จากสิ่งแวดล้อม หรือในกรณีนี้จากอาหารเลี้ยงเชื้อเข้าสู่ไซโตพลาสซึมของเซลล์ หรืออาจกล่าวได้ว่าเป็นการเคลื่อนที่ของสารแบบกลับทิศทาง (opposite direction) สำหรับกรดวาเลอเริกมีแนวโน้มลดลงชั่นเดียวกันแต่ลดลงอย่างช้าๆ เนื่องจากกรดวาเลอเริกมีขนาดโมเลกุลที่ใหญ่กว่าอะซิเตท ในขณะเดียวกันการใช้สารอาหารกลุ่มกรดไขมันจำเป็นต้องอาศัยการเกิด β -oxidation ([Wofford et al., 1986](#)) รวมถึงจำเป็นต้องเปลี่ยนเป็นสารตัวกลางในหลายขั้นตอนทำให้แบบที่เรียกว่ายานใช้สารอาหารที่ใช้ได้ง่ายก่อน



ภาพที่ 15 ผลของการเพิ่มปริมาณของกรดวาเลอิกที่เป็นแหล่งพลังงานร่วมต่อน้ำหนักเซลล์แห้ง และการผลิต PHA ในระหว่างการเลี้ยง *Rhodobacter sphaeroides* N20 ในอาหารกลูตาเมท-อะซิเตทภายใต้สภาวะมีอากาศ-ไร้แสงที่ 37°C

Figure 15. Effect of co-substrate valeric acid concentration on growth (DCW), substrate consumption and production of PHA from *Rhodobacter sphaeroides* N20 cultivated in glutamate-acetate medium under aerobic-dark condition at 37°C .



ภาพที่ 16 ผลของการเพิ่มปริมาณต่อหนักมวนเชลล์ และการผลิต PHA ในระหว่างการเลี้ยง *Rhodobacter sphaeroides* U7 ในอาหารกลูตامเอดี-อะซีท ภายใต้สภาวะมีอากาศ-ไร้แสงที่ 37°C

Figure 16. Effect of co-substrate valeric acid concentration on growth (DCW), substrate consumption and production of PHA from *Rhodobacter sphaeroides* U7 cultivated in glutamate-acetate medium under aerobic-dark condition at 37°C .

เมื่อพิจารณาค่าพีอีชที่เปลี่ยนแปลงตลอดการเลี้ยงเชื้อพบว่า ชุดการทดลองควบคุมและที่เติมกรดวาเลอริก 20 และ 40 มิลลิโนลาร์ จะมีการเปลี่ยนแปลงค่าพีอีชโดยมีแนวโน้มเพิ่มขึ้นจาก 7 เป็น 8.5 เมื่อมีการเลี้ยงเชื้อนานขึ้น โดยเป็นผลมาจากการเจริญของเชื้อบækที่เรียกว่าสังเคราะห์แสง และผลิตเมตานบ่อไลท์บางชนิดซึ่งเมื่อกัดการละลายในอาหารเลี้ยงเชื้อจะส่งผลให้สัดส่วนของปริมาณไฮดรอนิยม (H_3O^+) ต่อไฮดรอกไซด์ (OH^-) ลดลงจึงมีผลให้ค่าพีอีชเพิ่มขึ้น (Luli and Strohl, 1990) ในขณะที่การเติมกรดวาเลอริก 80 มิลลิโนลาร์ การเปลี่ยนแปลงของพีอีชมีน้อยมาก หรือเกือบไม่มีการเปลี่ยนแปลงเนื่องจากเชื้อเจริญได้น้อย

เมื่อนำน้ำหนักเซลล์แห้งมาสักดับเพื่อวิเคราะห์หาปริมาณพอลิเมอร์ชนิด PHB ภายในเซลล์ด้วยวิธี gravimetric method พบว่าการผลิตหรือการสังเคราะห์พอลิเมอร์ในกลุ่มดังกล่าวจะสอดคล้องหรือสัมพันธ์กันโดยตรงกับการเจริญ โดยเชื้อจะเจริญไปพร้อมๆ กับการสังเคราะห์ PHB อันเป็นผลมาจากการเลี้ยงเชื้อ GA ที่ใช้ได้มีการปรับอัตราส่วนของการบ่อนและในโตรเจนให้เหมาะสมต่อการผลิต PHB โดยกำหนดให้อัตราส่วนของการบ่อนมากกว่าในโตรเจนประมาณ 8 (Sangkharak *et al.*, 2005) สำหรับ *R.sphaeroides* N20 เชื้อมีการผลิต PHB ในชุดการทดลองที่ไม่มีการเติมกรดวาเลอริกได้สูงกว่าในชุดการทดลองอื่นๆ โดยผลิตได้สูงสุดประมาณ 2.2 กรัมต่อลิตร ในช่วงโmont ที่ 60 การผลิตลดลงตามการเจริญ อันเป็นผลมาจากการย่อยสลาย PHB ภายในเซลล์เพื่อใช้เป็นแหล่งการบ่อนหรือแหล่งพลังงานเนื่องจากปริมาณสารอาหารต่างๆ ในอาหารเลี้ยงเชื้อลดลงน้อยลง (Quillaguaman *et al.*, 2005) ปริมาณ PHB ในชุดการทดลองที่มีการเติมกรดวาเลอริก 20 และ 40 มิลลิโนลาร์ มีค่าประมาณ 1.5 และ 1.4 กรัมต่อลิตร ตามลำดับ สำหรับการเติมกรดวาเลอริก 80 มิลลิโนลาร์ เชื้อไม่สามารถเจริญได้แต่ในกระบวนการ PHB ได้ประมาณ 0.3 กรัมต่อลิตร ซึ่งเป็นปริมาณพอลิเมอร์ที่ได้จากหัวเชื้อที่เติมไปในตอนเริ่มต้น สำหรับสายพันธุ์ถูกลาย U7 ในชุดการทดลองที่มีการเติมกรดวาเลอริก 40 มิลลิโนลาร์ มีการผลิต PHB ได้สูงกว่าในชุดการทดลองอื่นๆ โดยผลิตได้สูงสุดในช่วงโmont ที่ 60 ประมาณ 2.0 กรัมต่อลิตร การผลิตที่คงที่ตามการเจริญที่คงที่ในขณะที่ชุดการทดลองที่ไม่มีการเติมกรดวาเลอริกสามารถผลิต PHB ได้สูงสุดในช่วงโmont ที่ 60 ประมาณ 2.0 กรัมต่อลิตร แต่ในชุดการทดลองที่เติมกรดวาเลอริก 20 มิลลิโนลาร์ พบว่าการผลิต PHB มีการผลิตควบคู่กับการเจริญแต่ปริมาณที่ผลิตได้มีค่าน้อยกว่าชุดการทดลองที่มีการเติมกรดวาเลอริก 40 มิลลิโนลาร์ สำหรับในบางช่วงเวลาของการเจริญของแต่ละชุดการทดลองอาจมีการผลิตที่ลดลง อันเป็นผลมาจากการสลาย PHB ซึ่งเป็นการดึงพลังงานสำรองภายในเซลล์ออกมายังเชื้อเพื่อคงความมีชีวิตและการผลิตค่อยๆ มีแนวโน้มเพิ่มสูงขึ้น ขณะที่การเติมกรดวาเลอริก 80 มิลลิโนลาร์ จะสามารถผลิต PHB ได้สูงสุดในช่วงโmont ที่ 96 อันเป็นผลมาจากการสามารถในการเจริญได้น้อยมาก กล่าวคือเชื้อมีระยะเวลาการพักตัว หรือระยะ lag phase ก่อนข้างนานจึงทำให้การเจริญ

เกิดขึ้นได้ช้า และเนื่องด้วยการผลิต PHB ของ *Rhodobacter sphaeroides* เป็นแบบควบคู่พร้อมกับการเจริญทำให้การวิเคราะห์ปริมาณ PHB ที่ได้จึงน้อย สำหรับความสัมพันธ์ระหว่าง PHA กับแหล่งการบ่อนร่วมในรูป Yp/s แสดงดังตารางที่ 7 จากการนำตัวอย่างเซลล์ที่ได้จากการเลี้ยงแบคทีเรียสังเคราะห์แสงในอาหารที่เติมกรดวาเลอเริกความเข้มข้นต่างๆ มาวิเคราะห์หาโภคอดิเมอร์ชนิด PHBV โดยพิจารณาการเกิด methylester ชนิด methyl hydroxybutyrate กับ methyl hydroxyvalerate จากโคม่าโต้แกรมที่เกิดขึ้นหลังจากการวิเคราะห์ด้วย GC-MS โดยตัวอย่างที่นำมาวิเคราะห์นั้นจะใช้ lyophilized cell ของทั้งแบคทีเรียสังเคราะห์แสงสายพันธุ์ N20 และ U7 ในช่วงเวลาชั่วโมงที่ 60 ซึ่งช่วงเวลาดังกล่าวเป็นเวลาที่มีปริมาณของโพลิเมอร์ชนิด PHA เกิดขึ้นในปริมาณมากจึงเลือกมาวิเคราะห์ต่อ สำหรับการพิจารณาชนิดของโภคอดิเมอร์ที่เกิดขึ้นจากการทำการวิเคราะห์ พบว่าทั้งสองสายพันธุ์สามารถเจริญและผลิต PHA ได้เมื่อใช้แหล่งการบ่อนร่วมกัน 2 ชนิด คือ อะซิเตท และกรดวาเลอเริก เมื่อพิจารณาสายพันธุ์ N20 พบว่าความเข้มข้นของกรดวาเลอเริก 40 mM ให้ปริมาณ PHA content สูงสุด เท่ากับ 64.23 % แต่น้อยกว่าชุดควบคุม ซึ่งให้ค่าเท่ากับ 72.37 % โดยพบว่ามีปริมาณของ hydroxybutyrate (HB) และ hydroxyvalerate (HV) คิดเป็นสัดส่วนในรูป mol % เท่ากับ 17.16 และ 82.84 ตามลำดับ สำหรับแบคทีเรียสังเคราะห์แสงสายพันธุ์ U7 สามารถเจริญและผลิตโภคอดิเมอร์ได้เมื่อมีการเติมกรดวาเลอเริก 40 mM โดยพบว่ามีปริมาณของ HB และ HV คิดเป็นสัดส่วนในรูป mol % เท่ากับ 15.23 และ 84.77 ตามลำดับ

เมื่อวิเคราะห์ปริมาณ PHA ภายในเซลล์ของ *R. sphaeroides* N20 หลังการเลี้ยงเชื้อเป็นเวลา 60 ชั่วโมง ในอาหารที่มีการเติมกรดวาเลอเริก 0, 20, 40 และ 80 mM ตามลำดับ พบว่ามีค่า PHA content เท่ากับ 72.37, 53.8, 64.23 และ 28.05% ในขณะที่ผลการวิเคราะห์ปริมาณของ hydroxybutyrate (HB) และ hydroxyvalerate (HV) คิดเป็นสัดส่วนในรูป mol % พบว่าชุดควบคุมที่ไม่มีการเติมกรดวาเลอเริกไม่พบ HV จึงมี HB mol % เป็น 100 ในขณะที่ชุดการทดลองที่มีการเติมกรดวาเลอเริก 20, 40 และ 80 mM พบ HB เท่ากับ 20.69, 17.16 และ 30.06% ขณะที่พบ HV เท่ากับ 79.31, 82.84 และ 69.94% ตามลำดับ สำหรับ *R. sphaeroides* U7 พบว่ามีค่า PHA content เท่ากับ 67.36, 54.04, 77.42 และ 53.38% ในอาหารเลี้ยงเชื้อที่มีการเติมกรดวาเลอเริก 0, 20, 40 และ 80 mM ตามลำดับ โดยพบ HB เท่ากับ 100, 20.51, 15.23 และ 22.83% ขณะที่พบ HV เท่ากับ 0, 79.49, 84.77 และ 77.17% จากการเติมกรดวาเลอเริก 0, 20, 40 และ 80 mM ตามลำดับ สำหรับปริมาณเซลล์ และโพลิเมอร์ที่เกิดขึ้นในช่วงเวลาที่ทำการวิเคราะห์แสดงดังตารางที่ 9

ตารางที่ 7 ค่าความเข้มข้นและผลผลิตของโพลิเมอร์เมื่อใช้อัซิตอร่วมกับกรดวาเลอเริกเป็นแหล่งคาร์บอนร่วมหลังการเพาะเชื้อ *R. sphaeroides* N20 และ U7 ที่เวลา 60 ชั่วโมง

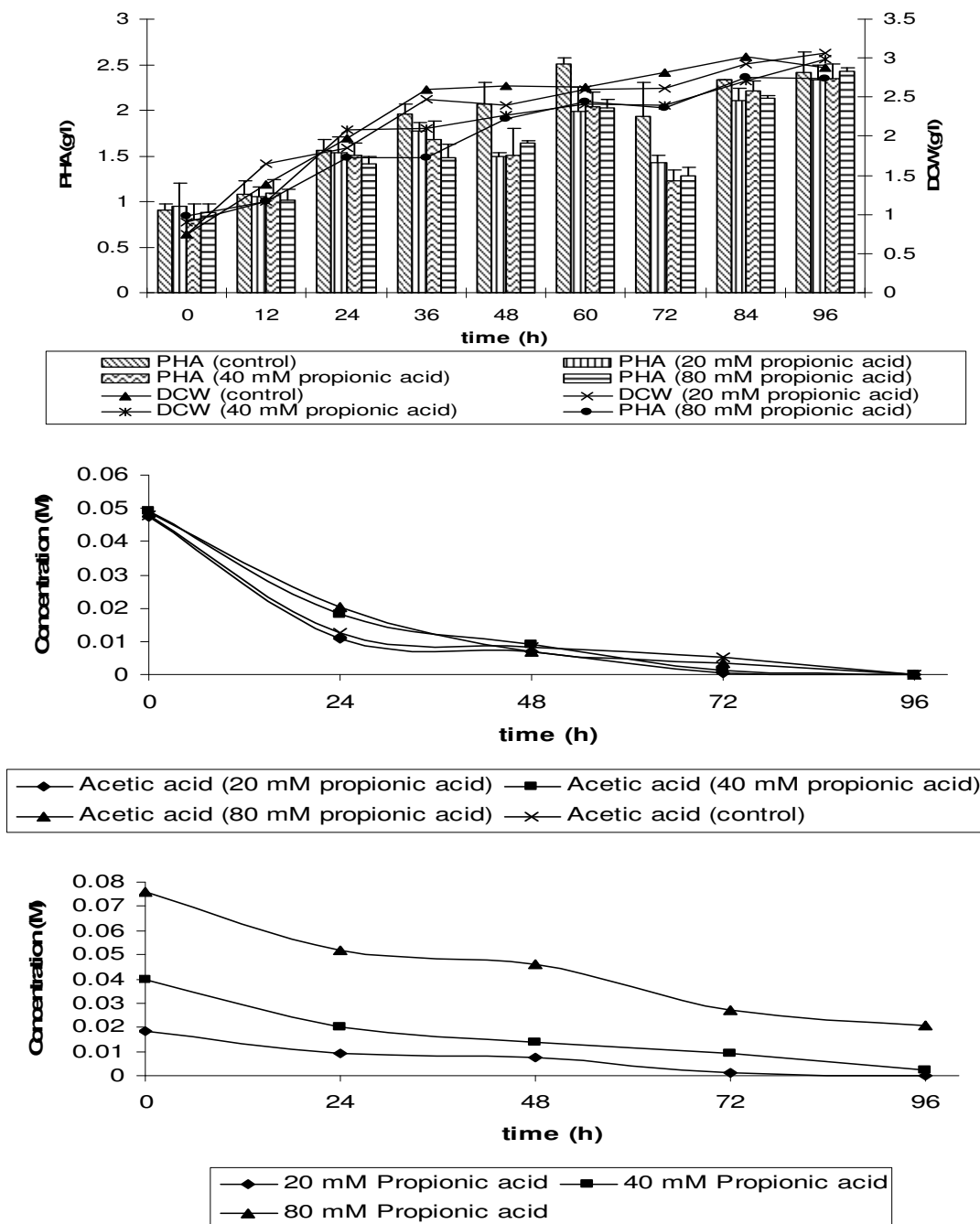
Table 7. Concentration and yield of polymer from using acetate with valeric acids as co-substrate after 60 h cultivation of *R. sphaeroides* N20 and U7.

Mutant	Culture medium	Volatile fatty acid		PHA concentration (g/l)	Yp/x	Acetic acid	Valeric acid				
		concentration (g/l)									
		Acetic acid	Valeric acid								
N20	40 mM acetate	2.68	-	2.0	0.64	0.75	-				
	40 mM acetate + 20 mM valeric acid	2.68	1.53	1.546	0.53	0.58	1.0				
	40 mM acetate + 40 mM valeric acid	2.68	3.06	1.326	0.56	0.49	0.43				
	40 mM acetate + 80 mM valeric acid	2.68	5.11	0.263	0.15	0.098	0.05				
U7	40 mM acetate	2.68	-	1.94	0.67	0.94	-				
	40 mM acetate + 20 mM valeric acid	2.92	1.53	1.513	0.54	0.52	0.98				
	40 mM acetate + 40 mM valeric acid	2.8	3.06	1.93	0.77	0.68	0.63				
	40 mM acetate + 80 mM valeric acid	2.68	5.11	0.71	0.53	0.26	0.14				

3.2.2.2 ผลของการดีไซน์ของพารามิเตอร์ที่ความเข้มข้นต่างๆ

1. ผลการเจริญของ *Rhodobacter sphaeroides* N20 ในอาหาร glutamate-acetate medium ที่เติมกรดโพรพิโอนิกความเข้มข้น 0, 20, 40 และ 80 มิลลิโมลาร์ ([ภาพที่ 17](#)) การเจริญที่วัดทั้งค่าความชุ่มน้ำกับปริมาณเซลล์แห้งให้ผลของการเจริญไปในทิศทางเดียวกัน และการเจริญในชุดการทดลองที่ไม่มีการเติมกรดโพรพิโอนิก (ชุดควบคุม) เชื่อเจริญได้ดีกว่าในชุดการทดลองที่มีการเติมกรดโพรพิโอนิก 40 และ 80 มิลลิโมลาร์ ในขณะที่มีการเจริญใกล้เคียงกับชุดการทดลองที่มีการเติมกรดโพรพิโอนิก 20 มิลลิโมลาร์ ช่วงที่เชื่อเจริญสูงสุดและระยะเวลาเจริญเข้าสู่ระยะ stationary phase ใช้เวลาประมาณ 36 ชั่วโมง เมื่อพิจารณาปริมาณเซลล์แห้ง (Dry cell weight) พบว่ามีปริมาณเซลล์เริ่มคงที่หลังจากชั่วโมงที่ 36 ซึ่งมีน้ำหนักเซลล์แห้งประมาณ [2.5 กรัมต่อลิตร](#) ในขณะที่ทุกชุดการทดลองที่มีการเติมกรดโพรพิโอนิก การเจริญจะน้อยกว่าชุดควบคุม เนื่องจากเชื้อจะมีระบบการเจริญในช่วงของ lag phase นานกว่าโดยในชุดการทดลองที่มีการเติมกรดโพรพิโอนิก ความเข้มข้น 20 มิลลิโมลาร์ มีน้ำหนักเซลล์ประมาณ [2.6 กรัมต่อลิตร](#) แต่ปริมาณเซลล์สูงสุดประมาณ [2.8 กรัมต่อลิตร](#) ในชั่วโมงที่ 96 ในทำนองเดียวกันกับชุดการทดลองที่มีการเติมกรดโพรพิโอนิก 40 มิลลิโมลาร์ การเจริญของเชื้อน้อยกว่าชุดการทดลอง 2 ชุดแรกอย่างมีนัยสำคัญมีน้ำหนักเซลล์สูงสุดประมาณ [2.3 กรัมต่อลิตร](#) ในชั่วโมงที่ 60 การทดลองการเติมกรดโพรพิโอนิก 80 มิลลิโมลาร์ เชื่อสามารถเจริญได้ดีเช่นกันแต่น้อยกว่าชุดการทดลองอื่นๆ ในชั่วโมงที่ 48 ซึ่งเริ่มเข้าสู่ระยะ stationary phase รวมถึงน้ำหนักเซลล์ที่ได้ตลอดการทดลองมีแนวโน้มเริ่มคงที่ตั้งแต่ชั่วโมงที่ 48 ซึ่งมีค่าประมาณ [2.4 กรัมต่อลิตร](#)

เมื่อพิจารณาการเปลี่ยนแปลงของสารอาหารพบว่าการเจริญช่วงแรก (ตั้งแต่ 0-48 ชั่วโมง) มีการใช้ทั้งอะซิเตทและกรดโพรพิโอนิกซึ่งความเข้มข้นมีแนวโน้มลดลง อันเป็นผลมาจากการอะซิเตทและกรดโพรพิโอนิกเป็นกรดไขมันสายสัมหรือเป็นสารที่มีโมเลกุลขนาดเล็กมีจำนวนสารบอนเพียง 2 และ 3 อะตอม การนำอะซิเตทเข้าสู่เซลล์จึงง่าย โดยอาศัยกลไกการแพร่ผ่านของสารด้วยวิธีการ facilitated diffusion สำหรับกรดโพรพิโอนิกมีแนวโน้มลดลง เช่นเดียวกันแต่ลดลงอย่างช้าๆ ถึงแม่กรดโพรพิโอนิกจะมีขนาดโมเลกุลที่ใกล้เคียงกับอะซิเตท แต่เนื่องด้วยสารอาหารกลุ่มกรดไขมันจำเป็นต้องอาศัยการเกิด β -oxidation ([Wofford et al., 1986](#)) รวมถึงจำเป็นต้องเปลี่ยนเป็นสารตัวกลางในหลายขั้นตอน ดังนั้นแบบที่เรียกวิธีพยาบาลใช้สารอาหารที่ใช้ได้ยาก่อน



ภาพที่ 17 ผลของกรดโพรพิโอนิกที่เป็นแหล่งคาร์บอนร่วมต่อน้ำหนักมวลเซลล์และการผลิต PHA ในระหว่างการเลี้ยง *Rhodobacter sphaeroides* N20 ในอาหารกูต้าเมท-อะซิเตทภายใต้สภาวะมีอากาศ-ไร้แสงที่ 37°C

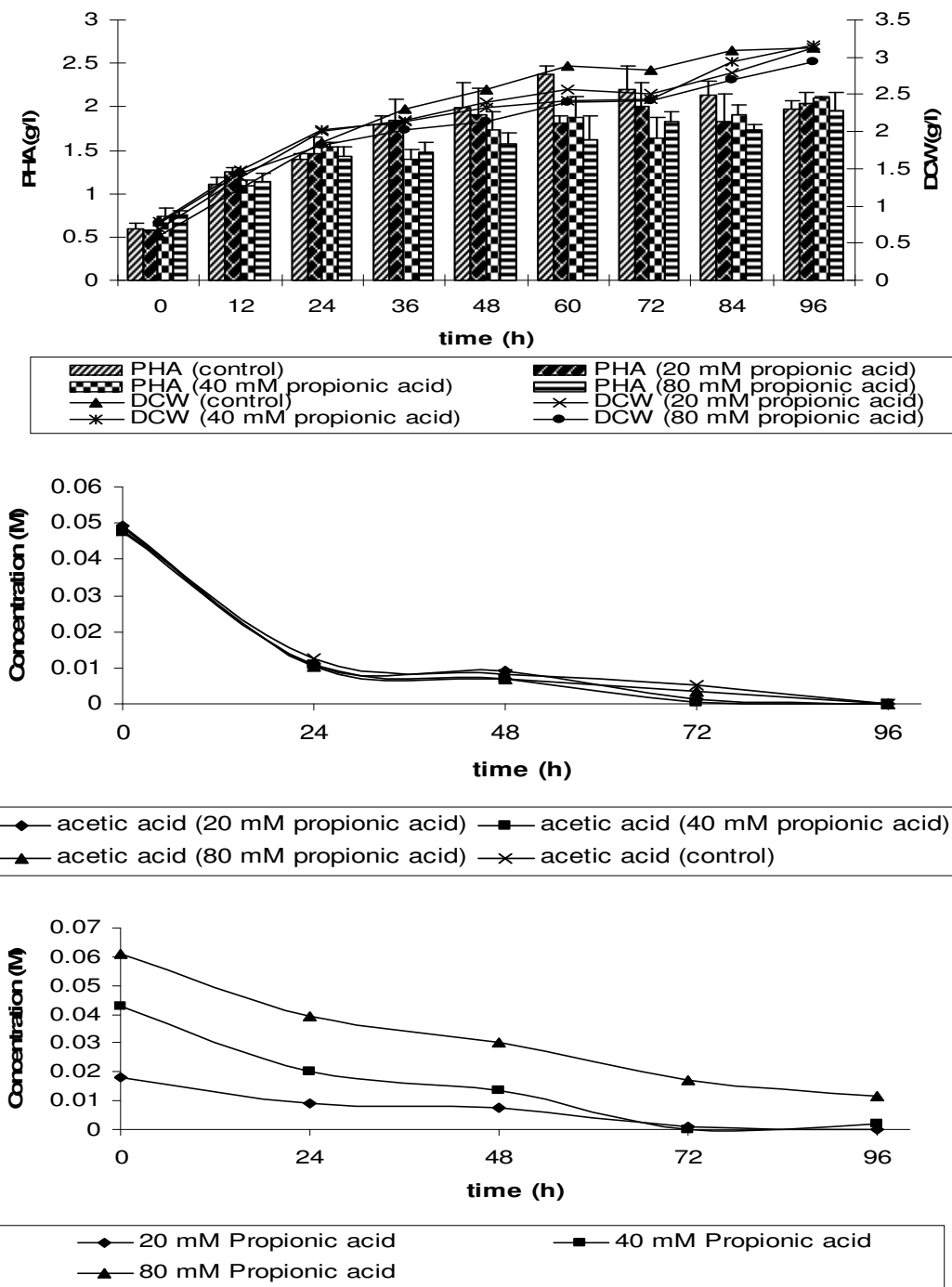
Figure 17. Effect of co-substrate propionic acid concentration on growth (DCW), substrate consumption and production of PHA from *Rhodobacter sphaeroides* N20 cultivated in glutamate-acetate medium under aerobic-dark condition at 37°C .

เมื่อพิจารณาค่าพีเอชที่เปลี่ยนแปลงตลอดการเลี้ยงเชื้อพบว่าชุดความคุณและที่เติมกรดโพรพิโอนิกทุกความเข้มข้น พบว่าค่าพีเอชมีแนวโน้มเพิ่มขึ้นจากค่าเริ่มต้น 7 เป็น 8 เมื่อมีการเลี้ยงเชื้อ โดยให้ค่าพีเอชไม่แตกต่างกันโดยสามารถเปลี่ยนแปลงพีเอชของอาหารเลี้ยงเชื้อ อันอาจเป็นผลมาจากการ เชื้อบækที่เรียสังเคราะห์แสงมีการเจริญและผลิตเมตาบอลิกที่บางชนิดซึ่งเมื่อเกิดการละลายใน อาหารเลี้ยงเชื้อจะส่งผลให้สัดส่วนของปริมาณไฮโดรเนียม (H_3O^+) ต่อไฮดรอกไซด์ (OH^-) ลดลงซึ่ง มีผลให้ค่าพีเอชเพิ่มขึ้น (Luli and Strohl, 1990)

เมื่อนำน้ำหนักเซลล์แห้งมาทำการสกัดเพื่อวิเคราะห์หาปริมาณโพลิเมอร์ชนิด PHB ภายใน เซลล์ด้วยวิธี gravimetric method พบว่าการผลิตหรือการสังเคราะห์โพลิเมอร์ในกลุ่มดังกล่าว สอดคล้องหรือสัมพันธ์กับการเจริญ โดยเชื้อเจริญพร้อมกับการสังเคราะห์ PHB และขณะเดียวกันก็ เกิดการย่อยสลายเมื่อเซลล์จำเป็นต้องการใช้ทึ้งในเบื้องต้นของการใช้เป็นแหล่งพลังงานสำรอง หรือย่อย สลายเพื่อนำหน่วยย่อยมาเปลี่ยนกลับให้เป็น Acetyl-CoA ซึ่งเป็นสารตัวกลางในการผลิต 12 เมตาบอลิกซึ่งสามารถดำเนินอย่างเป็นปกติ (Lehninger and Nelson, 2005) อันเป็นผลมาจากการ เลี้ยงเชื้อเป็นสูตรอาหารที่มีการปรับอัตราส่วนของคาร์บอนและไนโตรเจนให้มีค่าสูงซึ่งเหมาะสม ต่อการผลิต PHB (Luengo et al., 2003) *Rhodobacter sphaeroides* N20 เจริญได้ดีในชุดการทดลอง ที่ไม่มีการเติมกรดโพรพิโอนิกแสดงให้เห็นถึงผลของการเลี้ยงเชื้อของชุดการทดลองดังกล่าวมี ผลต่อการเจริญโดยตรง สำหรับชุดความคุณเชื้อสามารถผลิต PHB ได้สูงสุด 2.4 กรัมต่อลิตร ใน ชั่วโมงที่ 60 แต่เมื่อพิจารณาชุดการทดลองที่มีการเติมกรดโพรพิโอนิก 20 และ 40 มิลลิโมลาร์ พบว่า มีการผลิต PHB สูงสุดในช่วงเวลาเดียวกันคือ ชั่วโมงที่ 60 โดยผลิตได้ 1.7 และ 1.75 กรัมต่อลิตร ส่วนการใช้กรดโพรพิโอนิก 80 มิลลิโมลาร์ เข้าสู่ผลิต PHB ได้ 2.3 กรัมต่อลิตร ในชั่วโมงที่ 96

2. ผลการเจริญของ *Rhodobacter sphaeroides* U7 ในอาหาร glutamate-acetate medium (GA) ที่เติมกรดโพรพิโอนิกความเข้มข้น 0, 20, 40 และ 80 มิลลิโมลาร์ (**ภาพที่ 18**) กับน้ำหนักเซลล์ แห้ง ให้ผลการเจริญในทิศทางเดียวกัน เชื้อมีการเจริญสูงสุดและใช้ระยะเวลาเจริญเข้าสู่ระยะ stationary phase ประมาณ 60 ชั่วโมง มีปริมาณน้ำหนักเซลล์แห้งประมาณ 2.5, 2.5-2.8, 2.4 และ 2.3 กรัมต่อลิตร ตามลำดับ

เมื่อพิจารณาการเปลี่ยนแปลงของสารอาหารพบว่าการเจริญช่วงแรก (ตั้งแต่ 0-48 ชั่วโมง) มีการใช้ทึ้งอะซิเตทและกรดโพรพิโอนิกซึ่งความเข้มข้นมีแนวโน้มลดลง ทั้งนี้เนื่องจากอะซิเตทและ กรดโพรพิโอนิกเป็นกรดไขมันสายสัมหรือเป็นสารที่มีโมเลกุลขนาดเล็กมีจำนวนcarbонเพียง 2 และ 3 อะตอม การนำอะซิเตಥเข้าสู่เซลล์จึงง่าย โดยอาศัยกลไกการแพร่ผ่านของสารตัววิธีการ facilitated diffusion สำหรับกรดโพรพิโอนิกมีแนวโน้มลดลงเช่นเดียวกันแต่ลดลงอย่างช้าๆ ถึงแม้



ภาพที่ 18 ผลของการเพิ่ม Konkavon ที่เป็นแหล่งการรับอนร่วมต่อน้ำหนักมวลเซลล์และการผลิต PHA ในระหว่างการเลี้ยง *Rhodobacter sphaeroides* U7 ในอาหารกลูตาเมต-อะซิเตท ภายใต้สภาวะมีอากาศ-ไร้แสงที่ 37°C

Figure 18. Effect of co-substrate propionic acid concentration on growth (DCW), substrate consumption and production of PHA from *Rhodobacter sphaeroides* U7 cultivated in glutamate-acetate medium under aerobic-dark condition at 37°C .

กรดโพรพิโอนิกจะมีขนาดโมเลกุลที่ใกล้เคียงกับอะซิเตท แต่เนื่องด้วยสารอาหารกลุ่มกรดไขมัน จำเป็นต้องอาศัยการเกิด β -oxidation (Wofford *et al.*, 1986) รวมถึงจำเป็นต้องเปลี่ยนเป็นสารตัวกลางในหลายขั้นตอน ดังนั้นแบบค์ที่เรียกว่าพยาามาใช้สารอาหารที่ใช้ได้ยาก่อน

เมื่อพิจารณาค่าพีอีอชที่เปลี่ยนแปลงตลอดการเลี้ยงเชื้อพบว่าชุดการทดลองควบคุม และที่เติมกรดโพรพิโอนิกทุกความเข้มข้น พบร่วมค่าพีอีอชมีแนวโน้มเพิ่มขึ้นจากค่าเริ่มต้น 7 เป็น 8 เมื่อมีการเลี้ยงเชื้อ โดยให้ค่าพีอีอชไม่แตกต่างกัน โดยสามารถเปลี่ยนแปลงพีอีอชของอาหารเลี้ยงเชื้อ อันเป็นผลมาจากการเชื้อแบบค์ที่เรียกว่าสังเคราะห์แสงมีการเจริญและผลิตเมตาบอไลท์บางชนิดซึ่งเมื่อเกิดการละลายในอาหารเลี้ยงเชื้อจะส่งผลให้สัดส่วนของปริมาณไไฮดรอเนียมต่อไฮดรอกไซด์ลดลงจึงมีผลให้ค่าพีอีอชเพิ่มขึ้น

เมื่อนำน้ำหนักเซลล์แห้งมาสักดับเพื่อวิเคราะห์หาปริมาณพอลิเมอร์ชนิด PHB ภายในเซลล์ด้วยวิธี gravimetric method พบร่วมการผลิตหรือการสังเคราะห์พอลิเมอร์ในกลุ่มดังกล่าวสอดคล้องหรือสัมพันธ์กับการเจริญ โดยเชื้อเจริญพร้อมกับการสังเคราะห์ PHB และขณะเดียวกันก็เกิดการย่อยสลาย เมื่อเซลล์จำเป็นต้องการใช้ทั้งในเรื่องของการใช้เป็นแหล่งพลังงานสำรองหรือย่อยสลายเพื่อนำน้ำย่อยมาเปลี่ยนกลับให้เป็น Acetyl-CoA ซึ่งเป็นสารตัวกลางในการผลิต 12 เมตาบอไลท์ของวัฏจักรเกรปส์เพื่อให้เซลล์ยังคงดำเนินกิจกรรมต่างๆ รวมถึงกระบวนการเมตาบอโลซิม์สามารถดำเนินอย่างเป็นปกติอันเป็นผลมาจากการเลี้ยงเชื้อ GA ที่ใช้ได้มีปรับอัตราส่วนของคาร์บอนและไนโตรเจนให้เหมาะสมสมต่อการผลิต PHB (Luengo *et al.*, 2003) การผลิต PHB มีค่าสูงสุดประมาณ 2.3, 1.8, 1.8 และ 1.63 กรัมต่อลิตรในช่วงไม่ที่ 60 จากการเติมกรดโพรพิโอนิกความเข้มข้น 0, 20, 40 และ 80 มิลลิโนลาร์ ตามลำดับ สำหรับการเติมกรดโพรพิโอนิก 80 มิลลิโนลาร์ มีการผลิตน้อยกว่าอย่างมีนัยสำคัญกับชุดการทดลองอื่น เป็นผลมาจากการช่วงเวลาดังกล่าวการเจริญอยู่ในระยะ stationary phase จึงมีการย่อย PHA ภายในเซลล์ เพื่อเป็นแหล่งพลังงานและแหล่งคาร์บอน สำหรับความสัมพันธ์ระหว่าง PHA กับแหล่งการรับอนร่วมในรูป Yp/s แสดงดังตารางที่ 8

ตารางที่ 8 ค่าความเข้มข้นและผลผลิตของพอลิเมอร์เมื่อใช้อัซิตร่วมกับกรด丙 Rodrพิโอนิก เป็นแหล่งการบอนร่วมหลังการเดี่ยงเชื้อ *R. sphaeroides* N20 และ U7 ที่ 60 ชั่วโมง

Table 8. Concentration and yield of polymer from using acetate with propionic acids as co-substrate after 60 h cultivation of *R. sphaeroides* N20 and U7.

Mutant	Culture medium	Volatile fatty acid		PHA concentration (g/l)	Yp/x	Acetic acid	Propionic acid				
		Acetic acid	Propionic acid								
N20	40 mM acetate	2.8	-	1.93	0.68	0.69	-				
	40 mM acetate + 20 mM propionic acid	2.86	1.11	1.42	0.55	0.5	1.28				
	40 mM acetate + 40 mM propionic acid	2.68	1.48	1.23	0.51	0.46	0.83				
	40 mM acetate + 80mM propionic acid	2.68	2.97	1.29	0.54	0.48	0.43				
U7	40 mM acetate	2.68	-	2.37	0.82	0.88					
	40 mM acetate + 20 mM propionic acid	2.98	1.11	1.81	0.7	0.61	1.63				
	40 mM acetate + 40 mM propionic acid	2.86	1.48	1.88	0.77	0.66	1.27				
	40 mM acetate + 80 mM propionic acid	2.68	3.7	1.63	0.68	0.61	0.73				

ภายใต้สภาวะที่ขาดความสมดุลของปริมาณสารบอนกับไนโตรเจน ซึ่งพิจารณาในรูปของอัตราส่วนระหว่างสารบอนต่อไนโตรเจนที่มีค่าสูงและในอาหารที่มีแหล่งการบอนมากกว่าหนึ่งชนิด พบว่าเป็นการส่งเสริมการผลิตโคโพลิเมอร์ภายในเซลล์ในรูปของไบโอโพลิเอสเตอร์ (มีการผลิตมอนомерมากกว่า 1 ชนิด) (Lenz and Marchessault, 2003) โดยแหล่งการบอนภายนอกเซลล์มีผลโดยตรงต่อมอนomer ที่เกิดขึ้นภายในเซลล์ ทำให้อ่อน化ซึ่ง PHA synthase ซึ่งเป็นoenzyme ในการเชื่อมต่อหน่วยย่อยหรือมอนomer ให้เกิดเป็นpolymer ด้วยการเร่งการเกิดพันธะเอกสาระหว่างหน่วยย่อยที่เกิดขึ้น ถ้าแหล่งการบอนดังกล่าวเป็นกรดไขมันที่มีจำนวนสารบอนในสาย หรือโค戎สร้างเป็นเลขคี่จะมีผลให้เกิดpolymer ชนิดโคโพลิเมอร์มากกว่าไโซโนโพลิเมอร์ (Kelly et al., 2001) ดังนั้นการใช้กรดวาเลอเริกเป็นแหล่งการบอนมีผลให้เกิดการสังเคราะห์มอนomer ชนิด 3-hydroxyvalerate (3HV) และเมื่อใช้กรดวาเลอเริกร่วมกับอะเซตอิทซึ่งพบว่าการใช้อะเซตอิทมีผลในการสังเคราะห์มอนomer ชนิด 3-hydroxybutyrate (3HB) เมื่อเกิดปฏิกิริยาเอกสาริฟิคเข้นด้วยoenzyme PHA synthase ทำให้เกิดโคโพลิเมอร์ชนิด polyhydroxybutyrate-co-valerate; PHBV เกิดขึ้น สำหรับกลไกการเปลี่ยนแปลงแหล่งการบอนตั้งต้นในการผลิต hydroxyvalerate จากกรดวาเลอเริกนี้มีกลไกการเปลี่ยนแปลงดังนี้ จากกรดวาเลอเริกถูกเปลี่ยนเป็น Valeryl-CoA จากนั้นจะถูกเปลี่ยนเป็น L(+)3-hydroxyvaleryl-CoA และ 3-ketovaleryl-CoA ตามลำดับ จากนั้น 3-ketovaleryl-CoA ถูกเปลี่ยนเป็น D(+)3-hydroxyvaleryl-CoA ซึ่งสารดังกล่าวเป็นสารตัวกลางสำคัญในการที่จะเปลี่ยนแปลงเป็น 3-hydroxyvalerate หรือ 3HV unit (Eschenlauer et al., 1996)

ในทำนองเดียวกันเมื่อมีการใช้แหล่งการบอนในกลุ่มของกรดไขมันระเหยง่ายนอกเหนือจากการวาเลอเริก เพื่อใช้เป็นสารตั้งต้นในการสังเคราะห์หน่วยย่อยต่างๆ ในวิถีการผลิตโคโพลิเมอร์นี้ พบว่ากรดโพรพิโอนิกสามารถใช้เป็นแหล่งการบอนหรือสารตั้งต้นสำหรับการผลิตโคโพลิเมอร์ได้ เช่นกัน ซึ่งกลไกการเปลี่ยนแปลงของกรดโพรพิโอนิกนี้มีความคล้ายคลึงกับการเปลี่ยนแปลงของกรดวาเลอเริก โดยเริ่มต้นจากกรดโพรพิโอนิกจากนั้นถูกเปลี่ยนไปเป็น propionyl-CoA จากนั้นจะถูกเปลี่ยนแปลงต่อไปเป็น 3-ketovaleryl-CoA ท้ายที่สุดจะถูกเปลี่ยนให้อยู่ในรูปของ D(+)3-hydroxyvaleryl-CoA ซึ่งเป็นสารตัวกลางสำคัญในการที่จะเปลี่ยนเป็น 3-hydroxyvalerate หรือ 3HV unit (Yamane et al., 1996) การทดลองนี้มีวัตถุประสงค์ให้เชื้อบакทีเรียสังเคราะห์แสงสายพันธุ์กล้ายของ *Rhodobacter sphaeroides* ผลิตโคโพลิเมอร์ดังกล่าว

จากการนำตัวอย่างเซลล์ที่ได้จากการเลี้ยงเชื้อในอาหารที่เติมกรดโพรพิโอนิกและเลี้ยงเป็นเวลา 60 ชั่วโมง มาวิเคราะห์หาโคโพลิเมอร์ชนิด PHBV โดยพิจารณาการเกิด methylester ชนิด methyl hydroxybutyrate กับ methyl hydroxyvalerate จากโปรแกรมที่เกิดขึ้นหลังจากการวิเคราะห์ด้วย GC-MS ([ตารางที่ 9](#)) พบว่าทั้ง *R. sphaeroides* N20 และ U7 สามารถเจริญและผลิต

ตารางที่ 9 ผลของชนิดและความเข้มข้นของแหล่งการ์บอนร่วมต่อการผลิตพอลิเมอร์จากเชื้อ *Rhodobacter sphaeroides* N20 และ U7

Table 9. Effect of type and concentration of co-substrate for PHBV production from *Rhodobacter sphaeroides* N20 and U7.

Strain of <i>Rhodobacter</i> <i>sphaeroides</i>	Auxiliary carbon sources	Culture medium	Dry cell weight (g/l)	PHA concentration (g/l)	PHA content (%)	HB fraction (mol %)	HV fraction (mol %)
N20	Propionic acid	40 mM acetic acid	2.82	1.93	68.56	100	-
		40 mM acetic acid +20 mM propionic acid	2.61	1.42	54.34	86.16	13.84
		40 mM acetic acid +40 mM propionic acid	2.42	1.23	50.75	82.77	17.23
		40 mM acetic acid + 80mM propionic acid	2.36	1.29	54.60	78.88	21.12
	Valeric acid	40 mM acetic acid	3.12	2.0	72.37	100	-
		40 mM acetic acid +20 mM valeric acid	2.89	1.55	53.80	20.69	79.31
		40 mM acetic acid +40 mM valeric acid	2.37	1.33	64.23	17.16	82.84
		40 mM acetic acid +80 mM valeric acid	1.76	0.26	28.05	30.06	69.94

ตารางที่ 9 (ต่อ)

Table 9. (continued)

Strain of <i>Rhodobacter</i> <i>sphaeroides</i>	Auxiliary carbon sources	Culture medium	Dry cell weight (g/l)	PHA concentration (g/l)	PHA content (%)	HB fraction (mol %)	HV fraction (mol %)
U7	Propionic acid	40 mM acetic acid	2.88	2.37	82.29	100	-
		40 mM acetic acid +20 mM propionic acid	2.56	1.81	70.57	80.38	19.62
		40 mM acetic acid +40 mM propionic acid	2.42	1.88	77.68	80.88	19.12
		40 mM acetic acid + 80mM propionic acid	2.40	1.63	67.78	79.25	20.75
		40 mM acetic acid	2.88	1.94	67.36	100	-
	Valeric acid	40 mM acetic acid +20 mM valeric acid	2.8	1.51	54.04	20.51	79.49
		40 mM acetic acid +40 mM valeric acid	2.49	1.93	77.42	15.23	84.77
		40 mM acetic acid +80 mM valeric acid	1.33	0.71	53.38	22.83	77.17

PHA ได้มีการใช้แหล่งการบอนร่วมกัน 2 ชนิด คือ กรดอะซิติก และกรดโพรพิโอนิก โดยสายพันธุ์ N20 มีค่า PHA content เท่ากับ 68.56, 54.34, 50.76 และ 54.59 % จากมีการเติมกรดโพรพิโอนิก 0, 20, 40 และ 80 mM ตามลำดับ และมีปริมาณของ hydroxybutyrate (HB) ในรูป mol % เท่ากับ 100, 86.16, 82.77 และ 78.88% ตามลำดับ และมี hydroxyvalerate (HV) เท่ากับ 13.84, 17.23 และ 21.12% ตามลำดับ สำหรับ *R. sphaeroides* U7 ให้ค่า PHA content เท่ากับ 82.29, 70.57, 77.68 และ 67.78% ตามลำดับ จากข้อมูลดังกล่าวจะเห็นว่าการใช้ความเข้มข้น 20 และ 40 mM ให้ค่าสัดส่วน mol % ใกล้เคียงกันมาก คือ HB เท่ากับ 80.38 และ 80.88% และ HV เท่ากับ 19.62 และ 19.12% ตามลำดับ

จากการทดลองนี้จะเห็นว่าเชื้อแบคทีเรียสังเคราะห์แสงทั้ง *R. sphaeroides* N20 และ U7 สามารถใช้กรดโพรพิโอนิกเป็นแหล่งการบอนสำหรับการเจริญและการผลิตพอลิเมอร์กลุ่ม PHA เนื่องจากโมเลกุลของกรดมีขนาดเล็ก การผ่านเข้าสู่เซลล์จึงผ่านได้ง่ายกว่าสารที่มีโมเลกุลใหญ่หรือสารที่มีจำนวนcarbonมากกว่า โดยอาศัยกลไกการแพร่ผ่านของสารด้วยวิธีการ facilitated diffusion ซึ่งเป็นกระบวนการควบคุมการผ่านเข้าออกของสารโดยอาศัยสารโปรตีนตัวกลางที่อยู่บริเวณเยื่อหุ้มเซลล์และไม่จำเป็นต้องอาศัยพลังงานจากการเมตตาบoliซึม อาศัยเพียงพลังศักย์ของความเข้มข้นที่แตกต่างของสาร ซึ่งสารจะแพร่ผ่านด้วยความเข้มข้นที่เป็นลำดับ (concentration gradient) จากสิ่งแวดล้อม หรือในกรณีนี้จากอาหารเลี้ยงเชื้อเข้าสู่ไซโทพลาสซึมของเซลล์ หรืออาจถาวรได้ว่าเป็นการเคลื่อนที่ของสารแบบกลับทิศทาง (opposite direction) สำหรับการแพร่ผ่านของเซลล์โดยอาศัยกลไกดังกล่าวจำกัดเฉพาะสารที่มีโมเลกุลขนาดเล็กหรือไม่มีประจุรวมลิงสารที่ไม่มีชาร์จและสารที่มีคุณสมบัติในการละลายในไขมันอาจรวมลิงก๊าซออกซิเจน ก๊าซคาร์บอนไดออกไซด์ แอมโมเนีย เอทานอล และสารที่มีความเป็นไฮdrophobic molecules ดังนั้นความสามารถในการนำกรดโพรพิโอนิกไปใช้จึงมีความเป็นไปได้สูงกว่ากรดที่มีปริมาณการบอนจำนวนมาก ในขณะเดียวกันกรดโพรพิโอนิก สามารถเปลี่ยนเป็นโพรพิโอนิลโคเอ (propionyl-CoA) หรืออะซิติลโคเอ (acetyl-CoA) ซึ่งเป็นสารตั้งต้นในวิธีการผลิต PHA ได้ เมื่อใช้แหล่งการบอน 2 ชนิด ซึ่งแต่ละชนิดมีความสามารถเปลี่ยนเป็นสารตั้งต้นสำหรับมอนомерต่างกัน โดยอะซิเตทสามารถเปลี่ยนเป็นอะซิติลโคเอ (acetyl-CoA) ในขณะที่กรดโพรพิโอนิกสามารถเปลี่ยนเป็นโพรพิโอนิลโคเอ (propionyl-CoA) เมื่อมีการสลายด้วยกระบวนการเบต้าออกไซเดชัน (β -Oxidation) โอกาสที่จะเกิดโคพอลิเมอร์ก็มีความเป็นไปได้สูง (Du et al., 2001)

เนื่องจาก *R. sphaeroides* N20 และ U7 สามารถผลิตพอลิเมอร์กลุ่ม PHA ได้ทั้งในอาหารเลี้ยงเชื้อที่มีการเติมกรดโพรพิโอนิกหรือกรดวาเลอโริก และการใช้กรดวาเลอโริกส่างเสริมการผลิต HV ได้ดีกว่าการใช้กรดโพรพิโอนิก (ประมาณ 5.6 เท่า) ดังนั้นจึงเลือกการค่าวาเลอโริกสำหรับทำการ

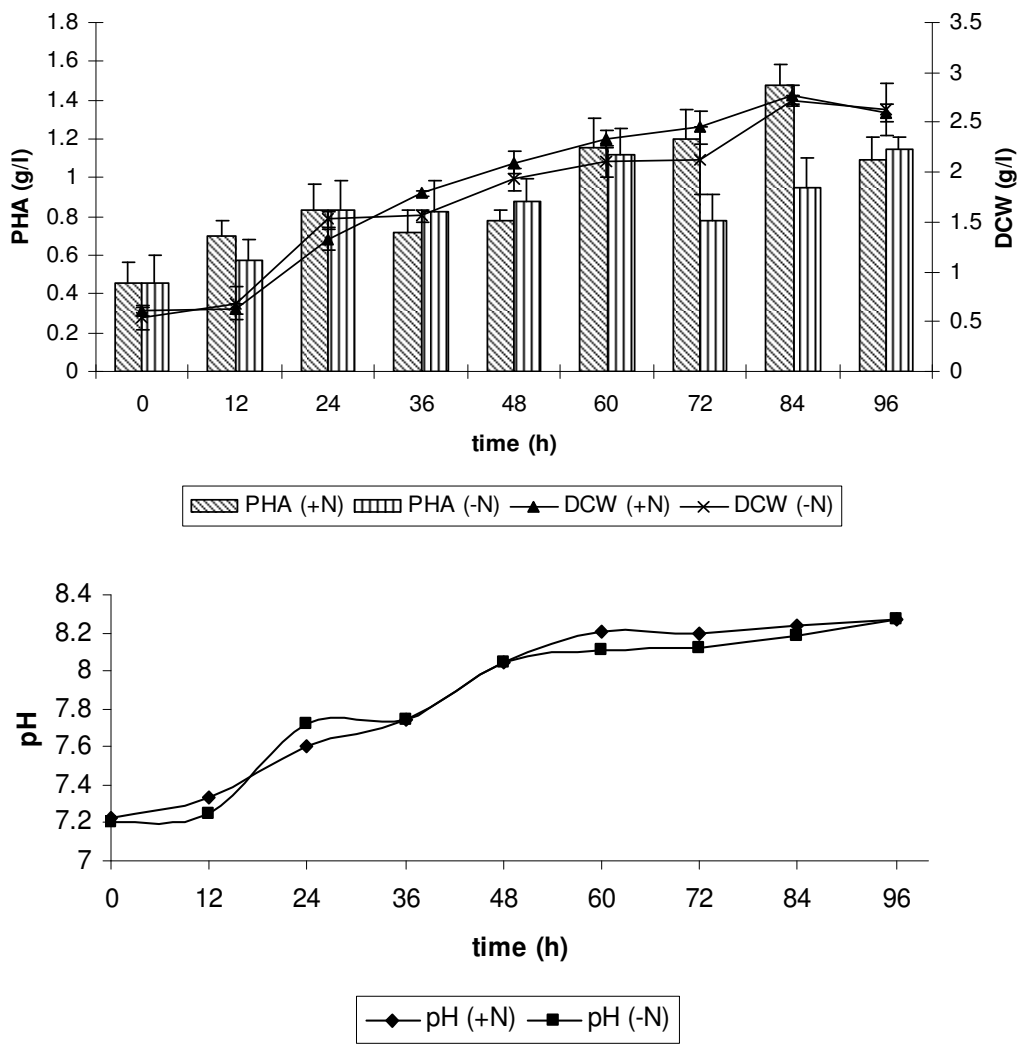
ทดลองต่อไป ในขณะเดียวกันพบว่า *R. sphaeroides* U7 ให้สัดส่วนของ hydroxyvalerate (HV) กิดเป็นสัดส่วนในรูป mol % ที่สูงกว่า *R. sphaeroides* N20 จึงเลือก *R. sphaeroides* U7 สำหรับการทดลองต่อไป

3.3 สถานะที่เหมาะสมต่อการผลิต PHB

3.3.1 ผลของการเติมแอมโมเนียมชัลเฟต

เมื่อศึกษาผลของการเติมแอมโมเนียมชัลเฟตเป็นแหล่งไนโตรเจนในอาหารเลี้ยงเชื้อ (ซึ่งปกติมีการเติม 0.2 กรัมต่อลิตร) ต่อการเจริญและการผลิตพอลิเมอร์กลุ่ม PHA ของ *Rhodobacter sphaeroides* U7 ([ภาพที่ 19](#)) พบว่าเชื้อเจริญได้ดีในอาหารเลี้ยงเชื้อที่มีการเติมและไม่มีการเติมแอมโมเนียมชัลเฟต แนวโน้มของการเจริญและการผลิต PHB เป็นในลักษณะเดียวกัน มีช่วง log phase ในช่วง 12-48 ชั่วโมง และเข้าสู่ระยะ stationary phase เมื่อเจริญเข้าสู่ชั่วโมงที่ 60 ให้ปริมาณเซลล์สูงสุดเท่ากับ 2.77 และ 2.72 กรัมต่อลิตรและผลิต PHB เท่ากับ 1.14 และ 1.4 กรัมต่อลิตร ตามลำดับหลังการเลี้ยงเชื้อ 60 และ 84 ชั่วโมงตามลำดับ และมีค่าอัตราการผลิต (productivity) เท่ากับ 0.0185 และ 0.016 กรัมพอลิเมอร์ต่อลิตรต่อชั่วโมง เมื่อพิจารณาค่าใช้จ่ายและค่า productivity สำหรับเป็นดัชนีชี้วัดในการเลือกชุดการทดลอง จึงเลือกการไม่เติมแอมโมเนียมชัลเฟตในอาหารเลี้ยงเชื้อ ทำให้อัตราส่วนการรับอนต่อไนโตรเจนเพิ่มขึ้นเป็น 17.5 ซึ่งเป็นอัตราส่วนในการส่งเสริมการผลิต PHA ถึงแม้มีรายงานว่าแอมโมเนียมชัลเฟตจะเป็นแหล่งไนโตรเจนที่ส่งเสริมการผลิตพอลิเมอร์ในกลุ่ม PHA ได้ดีกว่าแอมโมเนียมคลอไรด์ หรือ แอมโมเนียมไนเตรท รวมถึงเรียสำหรับเป็นแหล่งไนโตรเจนในอาหารเลี้ยงเชื้อสำหรับ *Alcaligenes eutrophus* ([Groth et al., 1999](#)) ซึ่งสอดคล้องกับการผลิตโภพอลิเมอร์ชนิด poly(3-hydroxybutyrate-co-3-hydroxyoctanoate) จากเชื้อ *Sinorhizobium fredii* ที่มีการเติมแอมโมเนียมชัลเฟตเป็นแหล่งไนโตรเจน ([Liangqi et al., 2006](#))

[Kim และคณะ \(2003\)](#) พบว่าการเจริญและการผลิต PHB ของเชื้อ *Methylobacterium* sp. ไม่ถูกขับยิ่งเมื่อมีการเพิ่มความเข้มข้นของแอมโมเนียมชัลเฟตมากถึง 10 เท่า แต่สำหรับกรณีของ *Rhodobacter sphaeroides* U7 ไม่จำเป็นต้องเติมแอมโมเนียมชัลเฟตในอาหารเลี้ยงเชื้อ ทั้งนี้เนื่องจากมีกลุ่มที่ในอาหารเลี้ยงเชื้อเป็นแหล่งไนโตรเจนคือ แอมโมเนียมเพียงพอต่อการเจริญและการผลิตพอลิเมอร์ กลุ่มที่จึงเป็นทั้งแหล่งคาร์บอนและแหล่งไนโตรเจนอินทรีย์



ภาพที่ 19

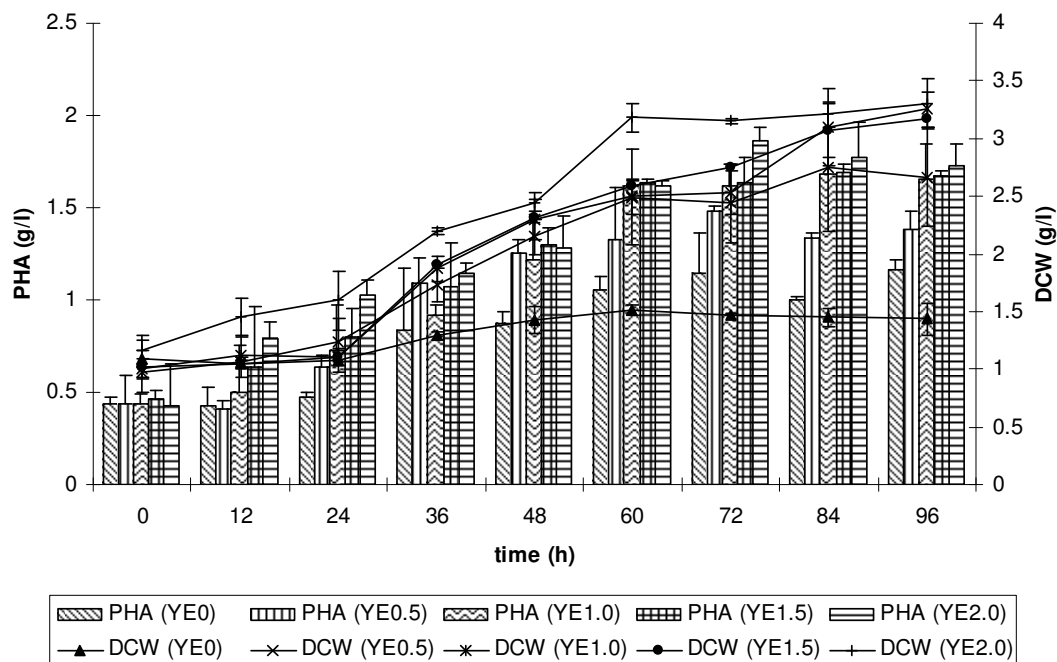
ผลของการเติมแอมโมเนียมชัลเฟตต่อการเจริญและการผลิต PHA จากการเลี้ยง *Rhodobacter sphaeroides* U7 ในอาหารกลูตามาเมท-อะซิตेटโดยเติมกรดวายเออริก ความเข้มข้น 40 มิลลิโมลาร์บนเครื่องเชี่ยว (200 รอบต่อนาที) ที่อุณหภูมิ 37°C
+N คือ มีการเติมแอมโมเนียมชัลเฟต
-N คือ ไม่มีการเติมแอมโมเนียมชัลเฟต

Figure 19. Effect of $(\text{NH}_4)_2\text{SO}_4$ addition on growth and PHA production from *R.sphaeroides* U7 cultivated in glutamate-acetate medium supplemented 40 mM valeric acid under shaking flask-dark (200 rpm) at 37°C.
+N represented as medium with $(\text{NH}_4)_2\text{SO}_4$.
-N represented as medium without $(\text{NH}_4)_2\text{SO}_4$.

นอกจากกลุ่ดเมทแอล์ยีสต์สกัดยังสามารถใช้เป็นแหล่งไนโตรเจนโดยอยู่ในรูปของไนโตรเจนเชิงซ้อน (complex nitrogen) สำหรับการเปลี่ยนแปลงของค่าพิเศษพบว่าหลังการเจริญของเชื้อพิเศษมีค่าสูงขึ้น

3.3.2 ผลของยีสต์สกัด

เมื่อศึกษาผลของความเข้มข้นของยีสต์สกัดที่ 0, 0.5, 1.0, 1.5 และ 2.0 กรัมต่อลิตร ต่อการเจริญและการผลิตพอลิเมอร์ของเชื้อ *Rhodobacter sphaeroides* U7 ([ภาพที่ 20](#)) พบว่าให้ค่าน้ำหนักเซลล์แห้งเท่ากับ 1.48, 2.7, 3.2, 3.25 และ 3.34 กรัมต่อลิตร ตามลำดับ จะเห็นว่าการเจริญมีแนวโน้มเพิ่มขึ้นตามปริมาณยีสต์สกัดที่เพิ่มขึ้นในชุดการทดลองที่ไม่มีการเติมยีสต์สกัด ระยะการพักตัว (lag phase) ค่อนข้างนาน ประมาณ 36 ชั่วโมง ในขณะที่ชุดการทดลองอื่นๆ มีระยะพักตัวเพียง 24 ชั่วโมง และการเจริญของชุดการทดลองที่มีการเติมยีสต์สกัด 0.5, 1.0 และ 1.5 กรัมต่อลิตร ให้ปริมาณเซลล์สูงสุดประมาณ 3.25 กรัมต่อลิตร ที่เวลา 96 ชั่วโมง ในขณะที่การเติมยีสต์สกัด 2.0 กรัมต่อลิตร ให้ปริมาณเซลล์สูงสุดในชั่วโมงที่ 60 และมีค่าอัตราการเจริญจำเพาะ (μ) เท่ากับ 0.026 h^{-1} ในชุดการทดลองที่มีการเติมยีสต์สกัด 0.5, 1.0 และ 1.5 กรัมต่อลิตร มีการเจริญอย่างช้าๆ อันเป็นผลมาจากการแหล่งไนโตรเจนในอาหารเลี้ยงเชื้อมีปริมาณไม่เพียงพอต่อความจำเป็น เซลล์จึงต้องใช้ระยะเวลาในการปรับตัวให้เข้ากับสภาพแวดล้อม หรืออาหารเลี้ยงเชื้อนั้นๆ รวมถึงปรับกลไกหรือกระบวนการภายในเซลล์เพื่อให้มีการผลิตสารเคมีที่ต้องการ ซึ่งในกรณีที่อาหารเลี้ยงเชื้อมีปริมาณไนโตรเจนอย่างจำกัด เซลล์จึงต้องคงสารตัวกลางเพื่อทดแทนไนโตรเจนที่ขาดแคลน เช่น ATP ส่วนใหญ่จะไปเกิดการยับยั้ง.enoen ไซม์ซิเตรทซินเอนไซม์ (citrate synthase enzyme) ([Sato et al., 2003](#)) ดังนั้นวัฏจักรเครปส์จึงขาดสารตัวกลาง เซลล์จึงจำเป็นต้องอาศัยวิตามินที่ช่วยในการผลิตสารตัวกลาง ในขณะเดียวกันกระบวนการผลิตแหล่งพลังงานสำรองเกิดขึ้นเช่นเดียวกัน สำหรับการผลิต PHA พบว่าในชุดการทดลองที่มีการเติมยีสต์สกัด 2.0 กรัมต่อลิตร ให้ปริมาณ PHA สูงสุดที่ชั่วโมง 72 ประมาณ 1.8 กรัมต่อลิตร แต่ในกรณีของการลดปริมาณยีสต์สกัดซึ่งเป็นแหล่งไนโตรเจนในไนโตรเจนอนทรีฟ์ กลับมีผลให้การเจริญลดลงและการผลิต PHA ลดลงเช่นกัน นั่นแสดงให้เห็นถึงความสำคัญของไนโตรเจนอนทรีฟ์ ซึ่งประกอบขึ้นจากสารประกอบไนโตรเจนหลากหลายชนิด รวมถึงมีสารสังเคริมการเจริญ ในปริมาณที่เพียงพอต่อการเจริญ ยีสต์สกัดเป็นแหล่งสารที่ช่วยส่งเสริมการเจริญเนื่องจากมีองค์ประกอบของสารประกอบจำเป็นหลายชนิด ได้แก่ กรดอะมิโน, วิตามินบีรวม รวมถึงสารที่สามารถเป็นแหล่งคาร์บอนได้เช่นกัน ดังนั้นมีผลดีต่อการเจริญของเชื้อ ดังนั้นเมื่อลดปริมาณยีสต์สกัดสารดังกล่าวจึงลดปริมาณเช่นกัน และยังผลให้ความแตกต่างของสีจากการเลี้ยงเชื้อดัง [ภาพที่ 21](#) ซึ่งแสดงว่าขาดสารเหล่านี้มีผลต่อการสังเคราะห์รังควัตตุของเชื้อด้วย การเลี้ยงเชื้อบางสายพันธุ์การใช้ยีสต์สกัดเป็นแหล่งไนโตรเจนจะดีกว่าการใช้อินทรีฟ์ไนโตรเจน โดยพบว่าการเติมยีสต์สกัดชนิดเดียวสำหรับ



ภาพที่ 20

ผลของยีสต์สักด็ต่อการเจริญและการผลิต PHA จากการเลี้ยง *Rhodobacter sphaeroides* U7 ในอาหารเลี้ยงเชื้อ gluata-meth-อะซิเตท ร่วมกับกรดดาวเดือริกความเข้มข้น 40 มิลลิโมลาร์ พิ效ชาร์มตัน 7 ภายใต้สภาวะมีอากาศ-ไร้แสง บนเครื่องเชิง (200 รอบต่อนาที) บ่มท่ออุณหภูมิ 37 องศาเซลเซียส

Figure 20.

Effect of yeast extract to growth and PHA production from *R. sphaeroides* U7 cultured in glutamate-acetate medium supplemented 40 mM valeric acid without $(\text{NH}_4)_2\text{SO}_4$ and various yeast extract under shaking flask-dark (200rpm) at 37°C.

(a) เติมยีสต์สกัด 2.0 กรัมต่อลิตร (ซ้าย) และ 1.5 กรัมต่อลิตร (ขวา)



(b) เติมยีสต์สกัด 1.0 กรัมต่อลิตร (ซ้าย) และ 0.5 กรัมต่อลิตร (ขวา)



ภาพที่ 21

ผลของความขึ้นขันของยีสต์สกัดต่อการสังเคราะห์รังควัตถุของสารละลายเซลล์ *R. sphaeroides* U7 ที่เลี้ยงในอาหารเลี้ยงเชื้ออคตูามเอท-อะเซตที่ไม่เติมแอมโมเนียมชัลเฟต ร่วมกับ กรดวาเลอเริกความเข้มข้น 40 มิลลิโภาร์ ภายใต้สภาวะมีอากาศ-ไร้แสง บนเครื่องเทา (200 รอบต่อนาที) บ่มที่ 37 องศาเซลเซียส

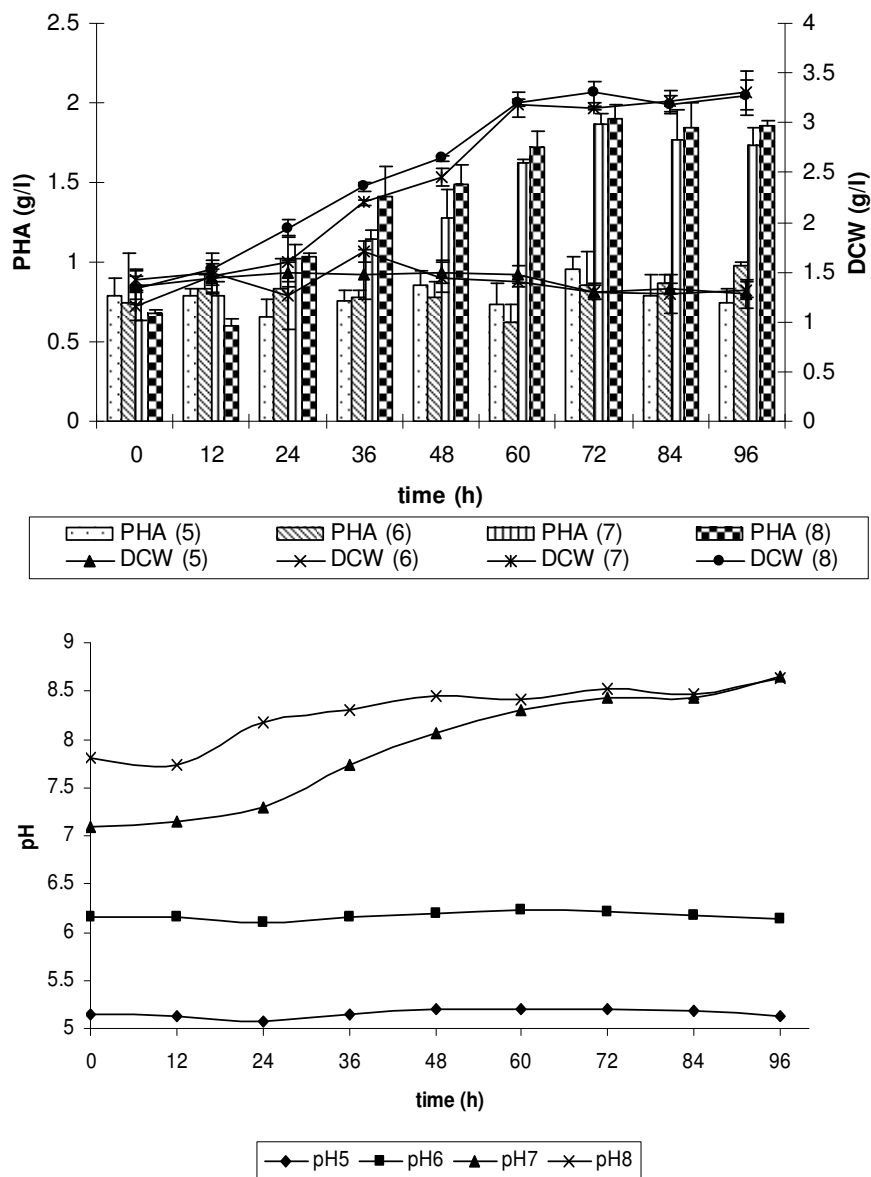
Figure 21. Effect of yeast extract concentration on pigmentation of cell suspension of *R. sphaeroides* U7 cultivated in glutamate-acetate medium without $(\text{NH}_4)_2\text{SO}_4$ supplemented with 40 mM valeric acid without under aerobic-dark (200 rpm) at 37°C.

เป็นแหล่งในโตรเจนสำหรับการเลี้ยง *Pseudomonas pseudomallei* พบว่า ส่งเสริมการเจริญของเชื้อได้ดีกว่าการเติมยีสต์สกัดร่วมกับแอมโมเนียมชัลเฟต หรือใช้แอมโมเนียมชัลเฟตเพียงชนิดเดียวมากถึงประมาณ 8 เท่า (Das et al., 2005) และให้ผลทำนองเดียวกับการเลี้ยงเชื้อ *Listeria murrayi* โดยพบว่าการเติมยีสต์สกัดสำหรับเป็นแหล่งในโตรเจนชนิดเดียว ส่งเสริมการเจริญของเชื้อได้ดีกว่าการเติมยีสต์สกัดร่วมกับแอมโมเนียมชัลเฟต หรือใช้แอมโมเนียมชัลเฟตเพียงชนิดเดียว (Das et al., 2004) ในขณะที่ Lorrungruang และคณะ (2006) ใช้ยีสต์สกัดสำหรับเป็นแหล่งในโตรเจนโดยพบว่าการใช้ยีสต์สกัดความเข้มข้น 2 กรัมต่อลิตร ส่งเสริมการผลิต PHA ให้ค่าอยู่ในช่วง 1-5 กรัมต่อลิตร

ในการอัตราส่วนโมลของคาร์บอนต่อในโตรเจนสูงอันเกิดจากการลดปริมาณยีสต์สกัดควรจะส่งผลให้เกิดการส่งเสริมการสะสมหรือการผลิต PHA สูงขึ้น แต่พบว่าการทดลองไม่สอดคล้องกับการกล่าวอ้างข้างต้น เนื่องจากปริมาณในโตรเจนในอาหารเลี้ยงเชื้อเป็นปัจจัยหลัก เช่นเดียวกับการบอนต่อการเพิ่มจำนวนเซลล์หรือการสร้างผนังเซลล์ และปริมาณของในโตรเจนในปริมาณหนึ่งซึ่งเซลล์มีความจำเป็นต้องใช้น้ำ เมื่อมีการเปลี่ยนแปลง ทั้งในแง่ของความเข้มข้นของในโตรเจน หรืออัตราส่วนโมลของคาร์บอนต่อในโตรเจนสูงย่อมมีผลต่อการเจริญของเซลล์ ดังนั้น การปรับค่าอัตราส่วนโมลของคาร์บอนต่อในโตรเจนจึงสามารถปรับได้จนถึงค่าที่หนึ่งซึ่งการเจริญและการผลิต PHA ยังคงเกิดขึ้นเป็นอย่างดี ซึ่งอัตราส่วนข้างต้นพบว่าถ้าปรับให้มีค่าเท่ากับ 20 จะส่งเสริมการเจริญของ *Pseudomonas putida* KT2442 (Huijberts and Eggink, 1996) แต่ถ้าปรับค่าอัตราส่วนโมลของคาร์บอนต่อในโตรเจนให้มากกว่าค่าที่เหมาะสมมากเกินไปจะส่งผลกระทบทั้งการเจริญและการผลิต PHA ซึ่งเห็นได้ชัดจากชุดการทดลองที่ไม่มีการเติมยีสต์สกัด การเจริญและการผลิต PHA ลดลงอย่างเห็นได้ชัด การเจริญที่เกิดขึ้นเป็นผลลัพธ์เนื่องมาจาก *Rhodobacter sphaeroides* U7 สามารถใช้ในโตรเจนจากกลุ่มตามที่ซึ่งจัดเป็นทั้งแหล่งการบอนและแหล่งในโตรเจนอินทรีย์ แต่การทดลองก็สามารถชี้ให้เห็นว่ากลุ่มตามที่ในอาหารเลี้ยงเชื้ออย่างเดียว ไม่สามารถส่งเสริมการเจริญและการผลิต PHA ได้

3.3.3 ผลของพีเอชเริ่มต้นของอาหารเลี้ยงเชื้อ

ผลของพีเอชเริ่มต้นต่อการเจริญและการผลิตพอลิเมอร์กลุ่ม PHA โดยทำการปรับให้มีค่าเป็น 5, 6, 7 และ 8 ตามลำดับ โดยใช้ชุดการทดลองที่มีพีเอช 7 เป็นชุดควบคุม จากการทดลอง (**ภาพที่ 22**) พบว่าการเจริญของเชื้อ *R. sphaeroides* U7 ในอาหารเลี้ยงเชื้อที่มีการปรับพีเอชเริ่มต้นเป็น 7 และ 8 มีแนวโน้มเดียวกัน กล่าวคือมีการเจริญเข้าสู่ระยะ stationary phase ที่ 60 ชั่วโมง ได้



ภาพที่ 22

ผลของพิ效เริ่มต้นต่อการเจริญ ค่าพิ效 และการผลิต PHA จากการเลี้ยง *Rhodobacter sphaeroides* U7 ในอาหารเลี้ยงเชื้อกลุ่มамท-อะซิเตทที่ไม่เติม แอมโมเนียมชัลเฟต์ร่วมกับ กรดวายเออริกความเข้มข้น 40 มิลลิโนลาร์ และบีสต์ สกัด 2.0 กรัมต่อลิตร ภายใต้สภาวะมีอากาศ-ไร้แสง บนเครื่องเพาะ (200 รอบต่อนาที) บ่มที่ 37 องศาเซลเซียส

Figure 22.

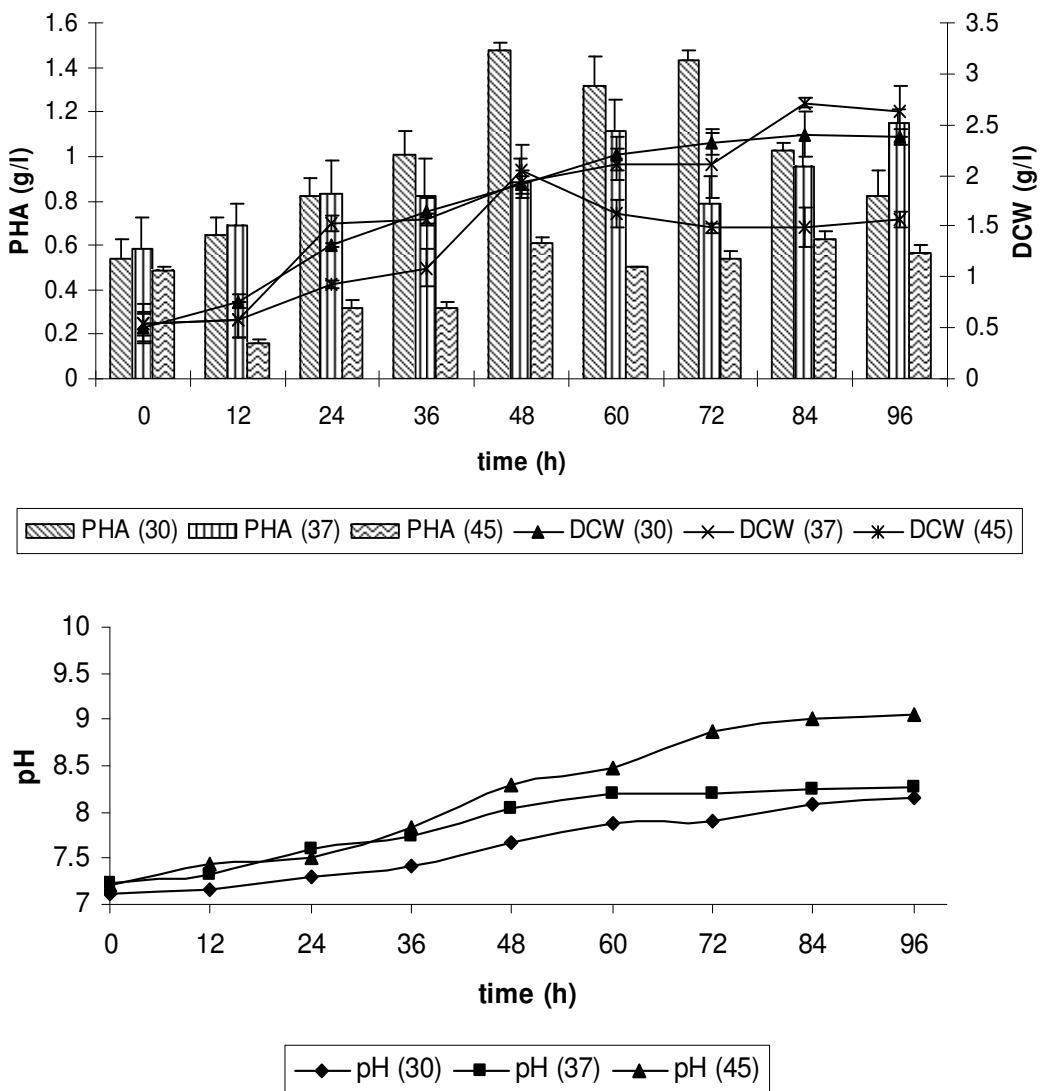
Effect of initial pH on growth, pH and PHA production from *R.sphaeroides* U7 cultivated in glutamate-acetate medium without $(\text{NH}_4)_2\text{SO}_4$ supplemented 40 mM valeric acid and 2.0 g/l yeast extract under shaking flask-dark (200rpm) at 37°C.

น้ำหนักเซลล์แห้ง 3.3 กรัมต่อลิตร มีอัตราการเจริญจำเพาะ (μ) 0.018 และ 0.012 h^{-1} ตามลำดับ ในขณะที่ *R. sphaeroides* U7 ไม่สามารถเจริญได้ในอาหารเลี้ยงเชื้อที่มีการปรับค่าพีเอชเริ่มต้นเป็น 5 และ 6 อันเป็นผลสืบเนื่องจากขาดความสมดุลระหว่างปริมาณไฮโดรเจนไอโอดอนกับปริมาณไฮดรอกไซด์ ซึ่งจะส่งผลต่อการผ่านเข้าออกของสารอาหาร เซลล์จึงไม่สามารถนำสารอาหารเข้าสู่เซลล์ได้ หรืออีกนัยหนึ่งเป็นผลมาจากการความเป็นพิษของปริมาณกรดในระบบ (Luli and Strohl, 1990) ซึ่งในอาหารเลี้ยงเชื้อมีการใช้อัตราความเข้มข้น 40 มิลลิโมลาร์ ร่วมกับกรดวาเลอเริกความเข้มข้น 40 มิลลิโมลาร์ ซึ่งปกติจะมีการปรับค่าพีเอชเริ่มต้นเป็น 7 เป็นการปรับปริมาณไฮโดรเจนไอโอดอนอิสระที่แสดงประจุบวกให้ลดลงด้วยไฮดรอกไซด์ซึ่งมีประจุลบ จึงทำให้ไฮโดรเจนไอโอดอนไม่สามารถส่งผลกระทบโดยตรงต่อเซลล์ (Du et al., 2001) จะมีผลเพียงจากปริมาณสารอาหารเริ่มต้นที่มากเกิน หรือการขับยั้งการเจริญจากสับสเตรท (substrate inhibition) แต่เมื่อทำการปรับพีเอชเริ่มต้นให้มีค่าลดลง หรือมีความเป็นกรดเพิ่มขึ้นทำให้อัตราเจริญเป็นกรดอะซิติกและส่งผลร่วมกับกรดวาเลอเริกทำให้เกิดการขับยั้งการเจริญ น้ำหนักเซลล์แห้งที่ได้จากการเลี้ยงในอาหารที่มีการปรับพีเอช 5 และ 6 ไม่มีการเปลี่ยนแปลง และพีเอชไม่มีการเปลี่ยนแปลงตลอดการทดลอง ซึ่งสามารถใช้เป็นตัวบ่งชี้ถึงการเจริญของ *R. sphaeroides* U7

เมื่อเชื้อไม่เจริญที่พีเอชเริ่มต้น 5 และ 6 ดังนั้นจึงไม่มีการผลิตพอลิเมอร์ โดยพบว่าปริมาณ PHA แทนจะไม่เปลี่ยนแปลงจากเริ่มต้นซึ่งสอดคล้องกับการเจริญข้างต้น และแนวโน้มของพอลิเมอร์โดยรวมก็คงที่ ต่างจากชุดการทดลองที่มีการปรับพีเอชเป็น 7 และ 8 การผลิตจะเกิดขึ้นควบคู่กับการเจริญ อันเป็นผลจาก PHA เป็นแหล่งคาร์บอนและแหล่งพลังงานสำรอง จึงมีการสะสมควบคู่กับการเจริญและจัดเป็นสารกลุ่ม primary metabolite หรือ growth-associated substance การสะสมเกิดขึ้นสูงสุดเมื่อเชื้อมีการเจริญเข้าสู่ระยะ stationary phase และค่อนข้างคงที่ ปริมาณ PHA สูงสุดที่ขั้วไว้ 72 นาที 1.86 และ 1.89 กรัมต่อลิตร ตามลำดับที่พีเอชเริ่มต้น 7 และ 8 จึงให้ค่าอัตราการผลิต productivity เท่ากัน (0.026 และ 0.0262 กรัมต่อลิตรต่อชั่วโมง ตามลำดับ) แต่เนื่องด้วยการปรับพีเอชเริ่มต้นต้องอาศัยสารละลายโซเดียมไฮดรอกไซด์ จึงไม่จำเป็นต้องสิ้นเปลืองสารเพื่อใช้ในการปรับพีเอชเริ่มต้นให้อาหารเลี้ยงเชื้อมีความเป็นเบส เพราะการปรับพีเอชให้เป็นกลางก็ให้ผลเช่นเดียวกับชุดการทดลองที่มีความเป็นเบสของอาหารสูง ดังนั้นพีเอชที่เหมาะสมสำหรับการเลี้ยงเชื้อ *R. sphaeroides* U7 จึงมีค่าเป็น 7

3.3.4 ผลของอุณหภูมิ

จากการเลี้ยงเชื้อ *R. sphaeroides* U7 ในอาหารเลี้ยงเชื้อที่มีการเติมแหล่งคาร์บอนร่วม คือกรดวาเลอเริกความเข้มข้น 40 มิลลิโมลาร์ และยีสต์สกัด 2 กรัมต่อลิตร โดยไม่มีการเติมแอมโมเนียมชัลเฟต ปรับพีเอชเริ่มต้นเป็น 7.0 โดยทำการบ่มที่อุณหภูมิ 30, 37 และ 45 องศาเซลเซียส (ภาพที่ 23)



ภาพที่ 23 ผลของอุณหภูมิต่อการเจริญ ค่า pH และการผลิต PHA จากการเลี้ยง *Rhodobacter sphaeroides* U7 ในอาหารเลี้ยงเชื้อกลูตามท-อะซิเตทที่ไม่เติมแอมโมเนียมชัลเฟต ร่วมกับ กรดวานิลิกความเข้มข้น 40 mM และยีสต์สกัด 2.0 กรัมต่อลิตร ปรับ pH เอชเริ่มต้นเป็น 7 ภายใต้สภาวะมีอากาศ ไร้แสง บนเครื่องเทา (200 รอบต่อนาที)

Figure 23. Effect of temperature on growth, pH and PHA production from *R.sphaeroides* U7 cultivated in glutamate-acetate medium without $(\text{NH}_4)_2\text{SO}_4$ supplemented 40 mM valeric acid and 2.0 g/l yeast extract adjusted initial pH to 7 under shaking flask-dark condition (200 rpm).

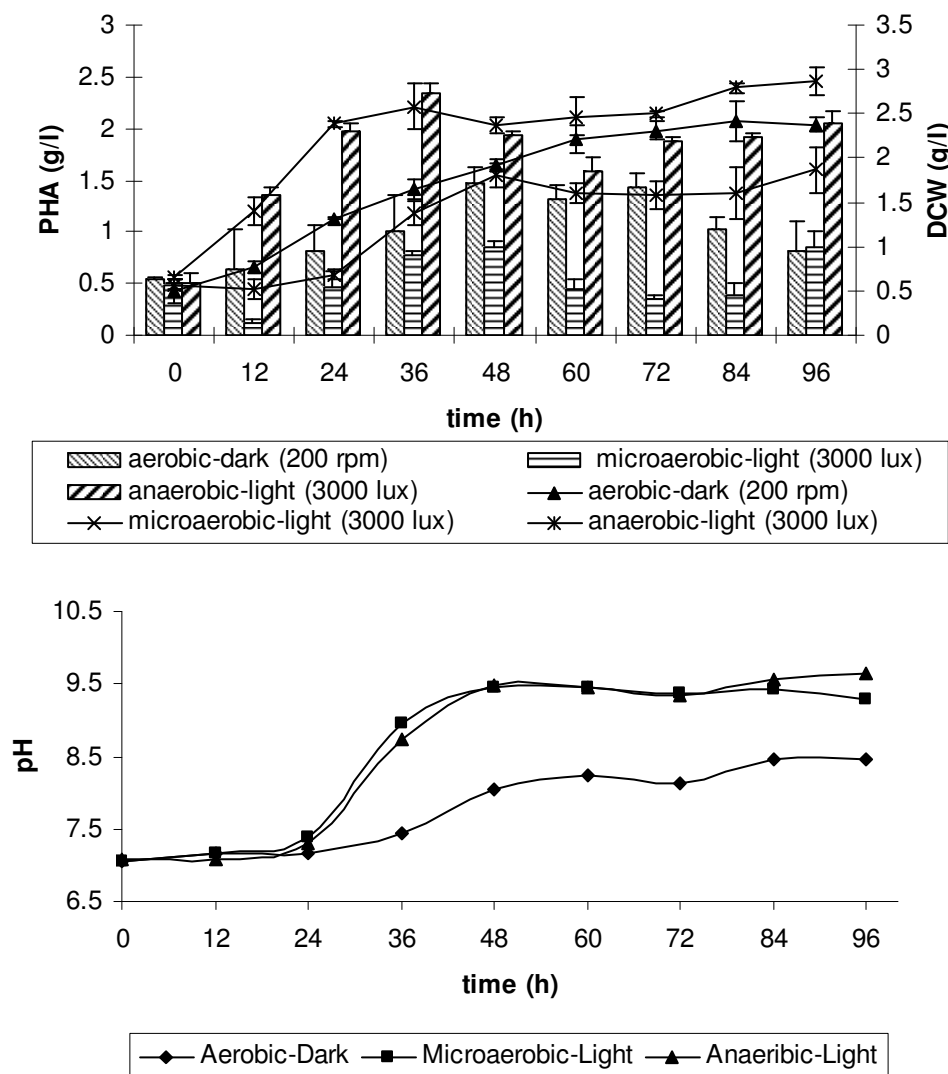
พบว่าเชื้อเจริญได้ปริมาณเซลล์สูงสุดเท่ากับ 2.4, 2.6 และ 1.8 กรัมต่อลิตร ตามลำดับ ที่อุณหภูมิ 30 กับ 37 องศาเซลเซียส มีการเจริญของเชื้อไม่แตกต่างกัน แต่ระบบการเจริญเข้าสู่ stationary phase ต่างกันคือ ชั่วโมงที่ 60 และ 84 ตามลำดับ อันอาจเป็นผลมาจากการอุณหภูมิที่เปลี่ยนแปลงแนวโน้มเพิ่มขึ้นเป็นผลให้การใช้แหล่งอาหารน้อยลงกับส่องชนิดคือการลดระดับและลดความไวในการใช้ในสัดส่วนไม่เท่ากันในอุณหภูมิต่างกัน อย่างไรก็ตามในช่วงแรกของการเจริญเป็นการใช้การลดระดับและลดความไวกับการลดระดับโดยสัดส่วนการใช้การลดระดับมากกว่า และในการเจริญช่วงหลังจะเป็นการเจริญจากการใช้การลดระดับเป็นส่วนใหญ่ (จากผลการทดลองก่อนหน้านี้) เมื่อบ่มที่ 30 องศาเซลเซียส แบปทิสท์เรียไม่จำเป็นต้องทำการปรับตัวเพื่อให้อุ่นรอดในสิ่งแวดล้อมดังกล่าว จึงสามารถใช้สารอาหารที่มีได้อย่างดี การเพิ่มอุณหภูมิ 7 องศาเซลเซียส แบปทิสท์เรียต้องปรับตัว ทำให้จำเป็นต้องนำแหล่งอาหารที่ง่ายต่อการใช้นำมาใช้ก่อน คือ กระดูกอ่อน ความสามารถในการปรับตัวของ *R. sphaeroides* ในอุณหภูมิต่างกันเป็นไปได้ก่อนข้างดี สังเกตจากการเจริญรวมถึงช่วงอุณหภูมิที่ *R. sphaeroides* สามารถเจริญได้อยู่ในช่วง 30-34 องศาเซลเซียส (Staley *et al.*, 1989) อุณหภูมิที่เหมาะสมสำหรับการผลิต PHA จากเชื้อ *R. sphaeroides* 14F คือ 37 องศาเซลเซียส ได้ปริมาณ PHA เท่ากับ 5 กรัมต่อลิตร การผลิต PHA ลดลงเมื่อบ่มที่ 42 และ 45 องศาเซลเซียส ได้ PHA ไม่แตกต่างกันเพียง 0.51 กรัมต่อลิตร (Lorrungruang *et al.*, 2006)

สำหรับที่อุณหภูมิ 45 องศาเซลเซียส การเจริญมีระยะพักตัวค่อนข้างนานประมาณ 36-48 ชั่วโมง สำหรับการผลิต PHA พบว่ามีความสัมพันธ์กับการเจริญและมีปริมาณสูงสุด (1.4 กรัมต่อลิตร) เมื่อเลี้ยงในอุณหภูมิ 30 องศาเซลเซียส ที่เวลา 48 และ 72 ชั่วโมง โดยปริมาณ PHA ที่เกิดขึ้นไม่มีความแตกต่างกันอย่างมีนัยสำคัญ ($P>0.05$) ดังนั้นดัชนีชี้วัดจึงเป็นค่าอัตราการผลิตproductivity ซึ่งมีค่าเท่ากับ 0.0307 และ 0.0199 กรัมพอลิเมอร์ต่อลิตรต่อชั่วโมง อย่างไรก็ตามอุณหภูมิเป็นปัจจัยสิ่งแวดล้อมที่มีผลต่อการเจริญและการผลิต PHA เมื่อพิจารณาชุดการทดลองพบว่าชุดควบคุมให้ผลค่อนข้างต่ำกว่าชุดการทดลองก่อนหน้านี้ อันเป็นสาเหตุของการปรับปริมาณเชื้อเริ่มต้น ถึงแม้จะทำการปรับความชุ่มชื้นให้ได้ OD_{660} เท่ากับ 0.5 แต่ความคลาดเคลื่อนของความชุ่มชื้นมีผลต่อบริมาณเซลล์เริ่มต้นจึงทำให้การทดลองนี้ให้ค่าที่น้อยกว่า (<0.3 กรัมต่อลิตรในชั่วโมงเริ่มต้น) เมื่อพิจารณาการเปลี่ยนแปลงค่าพีเอชเพิ่มขึ้น ซึ่งสามารถเป็นตัวชี้วัดถึงการเจริญ *R. sphaeroides*

3.3.5 ผลของสภาพการเลี้ยง

จากการศึกษาสภาพการเลี้ยงเชื้อ *R. sphaeroides* U7 ภายใต้สภาพมีอากาศ-ไรีแสงบนเครื่องเพาะเชื้อความเร็วรอบ 200 รอบต่อนาที สภาวะมีอากาศเล็กน้อย-ให้แสง และสภาวะ ไรีอากาศ -ให้แสง (ภาพที่ 24) พบว่าสภาพ ไรีอากาศ-ให้แสง เชื้อมีการเจริญและการผลิตพอลิเมอร์สูงกว่าสภาพ

มีอากาศ-ไร้แสงและสภาวะมีอากาศเดือนน้อย-ให้แสง โดยเชื้อเข้าสู่ระยะ stationary phase ภายในเวลา 36, 60 และ 48 ชั่วโมง ตามลำดับ โดยได้ปริมาณเซลล์สูงสุดเท่ากับ 2.87 กรัมต่อลิตร ที่ชั่วโมง 96 ให้ 2.41 กรัมต่อลิตร ที่ชั่วโมง 84 และ 1.87 กรัมต่อลิตรที่ชั่วโมง 48 ตามลำดับ จากการเลี้ยงเชื้อในสภาวะไร้อากาศ-มีแสงแล้วมีการเจริญดีกว่า อาจเป็นผลมาจากการเข้มแสง 3,000 lux เพียงพอสำหรับกลไกหรือกระบวนการสังเคราะห์แสง (Prasertsan *et al.*, 1993) โดยความเข้มแสงที่ 3,000 ลักซ์ จากหลอดไฟทั้งสูตเพียงพอต่อการใช้สังเคราะห์แสง และสารอาหารต่างๆสามารถถูกเปลี่ยนเป็นสารตั้งต้นในวัฏจักรเครปส์ได้อย่างสมบูรณ์ (Ivanovsky *et al.*, 2001) แสดงให้เห็นว่า ความขาวคลื่นของแสงที่ได้จากหลอดไฟทั้งสูตให้ค่าความขาวคลื่นที่กระตุ้นระบบแสงหนึ่งและสอง (Photosystem I and II) ซึ่งอาศัยความขาวคลื่นแสงที่ในช่วง 800-1000 นาโนเมตร นอกจากนี้จากการเจริญแล้ว พบว่าการผลิต PHA ในสภาวะไร้อากาศ-มีแสงให้ผลสูงสุด เช่นกันคือ 2.34 กรัมต่อลิตร ที่ 36 ชั่วโมง ขณะที่สภาวะมีอากาศ-ไร้แสงผลิตได้เพียง 1.47 กรัมต่อลิตร ที่ 48 ชั่วโมง และที่สภาวะมีอากาศ-ให้แสงได้เพียง 1.0 กรัมต่อลิตรที่ 48 ชั่วโมง เมื่อมีการเจริญของเชื้อ *R. sphaeroides* U7 พบว่าค่าพีเอชมีแนวโน้มเพิ่มขึ้น อันเป็นผลสืบเนื่องจากเชื้อบนที่เริยสังเคราะห์แสงในกลุ่มของ *R. sphaeroides* มีความสามารถเจริญได้ในอาหารเลี้ยงเชื้อที่มีการเติมกรดวาเลอริก ซึ่งเมื่อทั้งกรดอะซิติกและกรดวาเลอริกคล้ายในอาหารเลี้ยงเชื้อจะแตกตัวให้ไฮดรเจนไอออน ทำให้อาหารเลี้ยงเชื้อมีพีเอชเริ่มต้นต่ำประมาณ 3.5-4 และปรับให้เป็นกลางด้วยโซเดียมไฮดรอกไซด์ ซึ่งจะทำให้หมุครืบออกซิลของกรดวาเลอริกซึ่งแตกตัวแสดงประจุลบจับกับโซเดียมไฮอน จึงทำให้เกิดความสมดุลระหว่างโมเลกุลของสารที่แตกตัวให้ไฮดรเจนไอออน กับสารที่สามารถแตกตัวให้ไฮดรอกไซด์ไฮอน (*Luli and Strohl, 1990*) แต่เมื่อทำการเลี้ยงเชื้อ *Rhodobacter sphaeroides* U7 ในสภาวะไร้อากาศ-มีแสง พบว่าอาหารเลี้ยงเชื้อมีพีเอชเพิ่มขึ้น อันเป็นผลมาจากการเชื้อสามารถนำโมเลกุลของกรดวาเลอริกผ่านเข้าสู่เซลล์ได้โดยอาศัยกลไกการแพร่ผ่านของสารด้วยวิธีการ facilitated diffusion ดังได้กล่าวไว้แล้วในข้อ 3.2.2



ภาพที่ 24

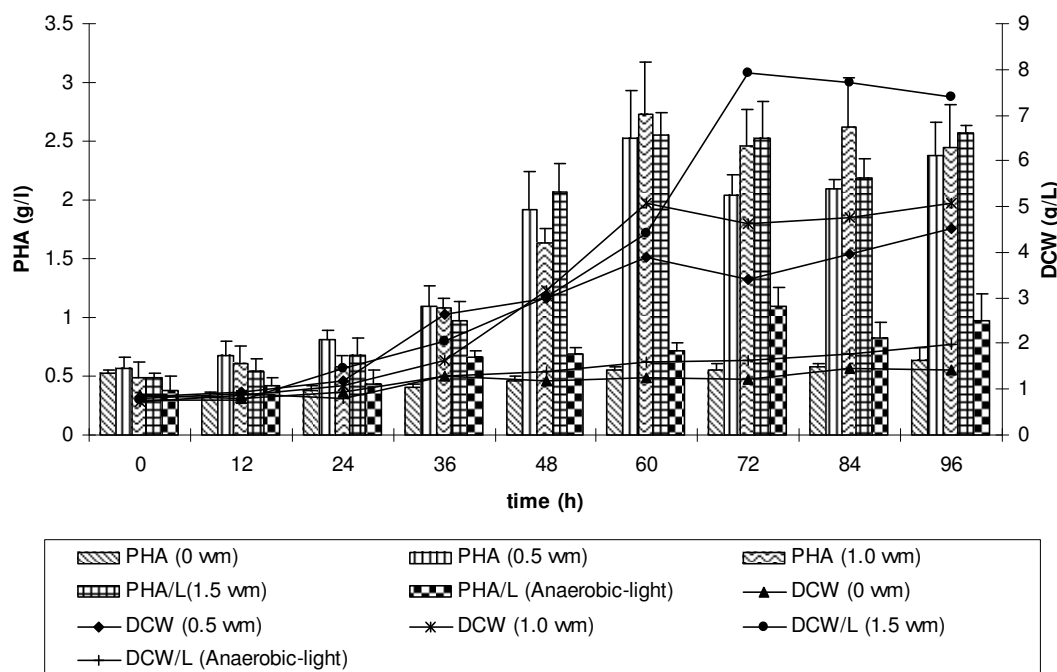
ผลของสภาวะการเลี้ยงต่อการเจริญ ค่าพีอีช และการผลิต PHA จากการเลี้ยง *R. sphaeroides* U7 ในอาหารเลี้ยงเชื้อகลูตาเมท-อะซิตেทที่ไม่เติมแอมโมเนียม ชั้ดเพดร่วมกับกรดวาเลอเริกความเข้มข้น 40 มิลลิโนมาร์ และบีสต์สกัด 2.0 กรัมต่อลิตร ปรับพีอีชเริ่มต้นเป็น 7 บ่มที่อุณหภูมิ 30 องศาเซลเซียส

Figure 24.

Effect of different culture condition on growth, pH and PHA production from *R. sphaeroides* U7 cultivated in glutamate-acetate medium without $(\text{NH}_4)_2\text{SO}_4$ supplemented with 40 mM valeric acid and 2.0 g/l yeast extract adjusted initial pH at 7 incubated at 30°C.

3.3.6 ผลของอัตราการให้อากาศ

จากการศึกษาผลของอัตราการให้อากาศในถังหมักขนาด 5 ลิตร ต่อการเจริญและการผลิต PHA ของเชื้อ *R. sphaeroides* U7 โดยให้อากาศในอัตรา 0, 0.5, 1.0 และ 1.5 vvm มีการกวน 200 รอบต่อนาที เปรียบเทียบกับการเลี้ยงในสภาพไร้อากาศ-มีแสง (3,000 ลักซ์) ซึ่งพบว่าการเจริญในสภาพไร้อากาศ-มีแสง (3,000 ลักซ์) เกิดขึ้นเล็กน้อยให้ปริมาณเซลล์ประมาณ 2 กรัมต่อลิตร โดยการเจริญเมื่อไม่มีการให้อัตราการให้อากาศ มีเพียงการกวนความเร็ว 200 รอบต่อนาที ให้ผลเช่นเดียวกับการเลี้ยงในสภาพไร้อากาศ-มีแสง (3000 ลักซ์) ซึ่งโดยปกติแบคทีเรียสังเคราะห์แสงจะมีการปรับตัวเพื่อให้สามารถดำรงอยู่ได้ในสภาพสิ่งแวดล้อมต่างๆ ในกรณีไม่มีแสงสำหรับเป็นแหล่งพลังงานแบคทีเรียสังเคราะห์แสงจะอาศัยกลไก หรือกระบวนการแมตตาบอดลิซึมเช่นเดียวกับแบคทีเรียกลุ่มต้องการอากาศทั่วไป โดยจะใช้ออกซิเจนสำหรับเป็นตัวรับอิเล็กตรอนตัวสุดท้ายของกระบวนการการขนส่งอิเล็กตรอน (electron transport chain) แต่ผลการทดลองเมื่อไม่มีการให้อากาศ (0 vvm) พบว่าการเจริญเกิดขึ้นเล็กน้อยมีปริมาณเซลล์สูงสุดประมาณ 1.5 กรัมต่อลิตร แสดงให้เห็นว่าการกวนความเร็ว 200 รอบต่อนาที ไม่สามารถช่วยเพิ่มปริมาณอากาศ แสดงให้เห็นว่าแบคทีเรียสังเคราะห์จำเป็นต้องใช้กลไก หรือ กระบวนการหนึ่งกระบวนการได้สำหรับใช้ในการผลิตสารตัวกลางในวิถีต่างๆภายในเซลล์ เช่น วัฏจักรครอป์ การไม่มีออกซิเจนเพื่อใช้เป็นตัวรับอิเล็กตรอนตัวสุดท้าย และไม่มีแสงสำหรับเป็นแหล่งพลังงานจึงทำให้กระบวนการเจริญเกิดขึ้นไม่สมบูรณ์ แต่เมื่อมีการให้อากาศพบว่ามีการเจริญเพิ่มขึ้นอย่างเห็นได้ชัด ซึ่งผลการทดลองเมื่อมีการให้อัตราการให้อากาศ 0.5 vvm พบว่าการเจริญเข้าสู่ระยะ stationary phase ที่ 60 ชั่วโมง โดยปริมาณเซลล์สูงสุดมีค่าประมาณ 4.5 กรัมต่อลิตร ที่ 96 ชั่วโมง และการเจริญเป็นชนิด diauxic growth เป็นผลจากการมีแหล่งคาร์บอนสองชนิดในอาหารเลี้ยงเชื้อ ซึ่งเกิดขึ้นเช่นเดียวกับการให้อัตราการให้อากาศ 1.0 vvm ซึ่งมีการเจริญสูงสุดที่ 60 ชั่วโมง ให้ปริมาณเซลล์ประมาณ 5.2 กรัมต่อลิตร โดย diauxic growth ที่เกิดขึ้นไม่ค่อยชัดเจน ซึ่งการให้อากาศด้วยอัตรา 0.5 vvm จะเห็นได้ชัดเจนกว่า ในขณะที่การให้อัตราการให้อากาศ 1.5 vvm การเจริญเกิดขึ้นอย่างทวีคูณ โดยมีระยะพักตัวยาวกว่าการให้อัตราการให้อากาศ 0.5 และ 1.0 vvm ที่ 36 ชั่วโมง อันเป็นผลมาจากการปริมาณอากาศที่มากเกินไปมีผลต่อการขับถ่ายหรือชลօกการเจริญของแบคทีเรียในระบบแรก เมื่อเซลล์สามารถปรับตัวได้จึงสามารถเจริญเป็นปกติและเข้าสู่ stationary phase ที่ 72 ชั่วโมง โดยพบว่ามีปริมาณเซลล์สูงสุดเวลาเดียวกันนี้ประมาณ 8 กรัมต่อลิตร (**ภาพที่ 25**)



ภาพที่ 25 ผลของอัตราการให้อากาศต่อการเจริญ และการผลิต PHA จากการเลี้ยง *R.sphaeroides* U7 ในอาหารเลี้ยงเชื้อ gluconate-อะซิเตต์ไม่เติมแอมโมเนียมชัลเฟต ร่วมกับ กรดวายโอลิกความเข้มข้น 40 มิลลิโนลาร์ และฮีสต์สกัด 2.0 กรัมต่อลิตร ปรับพิโอดเริ่มต้นเป็น 7 บ่มที่อุณหภูมิ 30 องศาเซลเซียส

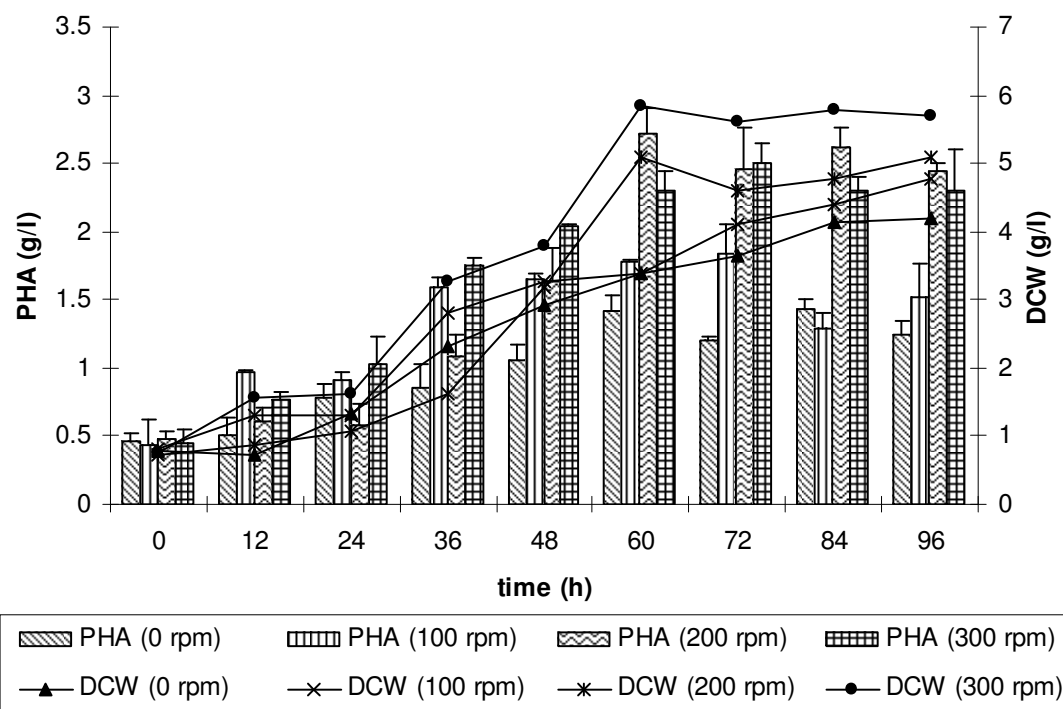
Figure 25. Effect of aeration rate on growth and PHA production from *R. sphaeroides* U7 cultivated in glutamate-acetate medium without $(\text{NH}_4)_2\text{SO}_4$ supplemented with 40 mM valeric acid and 2.0 g/l yeast extract, adjusted initial pH to 7 and incubated at 30°C.

การผลิต PHA เกิดความคู่กับการเจริญ พบร่วมกันในทุกชุดการทดลองที่มีการให้อาการจะมีการผลิต PHA สูงสุดในชั่วโมงที่ 60 แต่เมื่อพิจารณาการสะสม PHA ภายในเซลล์ พบร่วมกันไม่ได้เพิ่มขึ้นแม้มีการเพิ่มอัตราการให้อาการ โดยปริมาณ PHA ที่เกิดขึ้น 2.5-2.7 กรัมต่อลิตร โดยการให้อาการสูงจะช่วยส่งเสริมต่อการเจริญมากกว่า และพบร่วมกับการเลี้ยงในสภาวะไร้อาการ-mีแสง (3,000 ลักซ์) ให้ผลผลิตแตกต่างจากการเลี้ยงในสภาวะเดียวกันในฟลาสต์ อันเป็นผลมาจากการปริมาณเซลล์หรือความหนาแน่นของเซลล์ที่เกิดขึ้นในถังหมักมีปริมาณมากกว่า ส่งผลให้เกิดการบดบังชั่งกันและกัน ในขณะที่สัดส่วนพื้นที่ผิวที่สามารถรับแสงกับปริมาณเซลล์ไม่สมดุลกัน จึงทำให้เซลล์ได้รับแสงซึ่งเป็นแหล่งพลังงานต่อการเจริญในปริมาณความเข้มที่น้อย จึงทำให้มีแหล่งพลังงานไม่เพียงพอต่อการเจริญ

ภายใต้สภาวะที่มีการจำกัดปริมาณออกซิเจน แต่มีปริมาณคาร์บอนมาร์กเกินพอ พบร่วมกิจกรรมของเอนไซม์ NADPH oxidase จะลดลงทำให้เกิดการสะสมของ NADPH มากขึ้น ส่งผลให้เกิดการขับขึ้นของเอนไซม์ citrate synthase และเอนไซม์ isocitrate dehydrogenase ทำให้เกิดการสะสมของ Acetyl-CoA เพิ่มมากขึ้นจนถึงระดับความเข้มข้นหนึ่ง ซึ่งทำให้เกิดกระบวนการขับขึ้นของเอนไซม์ Acetyl-CoA transferase ด้วยกระบวนการ feedback inhibition ในทำนองเดียวกันการสะสมของ NADPH ในปริมาณมากขึ้นหรืออีกนัยหนึ่งสัดส่วนของ NADPH/NAD มีค่าสูง ในสภาวะมีการจำกัดปริมาณออกซิเจน จะส่งเสริมให้เกิดวิธีการผลิต PHA โดยพบว่า PHA จะมีบทบาทในการเป็นตัวรับอิเล็กตรอนทางเลือก (alternative electron acceptor) (Hocker and Marchesault, 1994)

3.3.7 ผลของอัตราการกวน

ศึกษาผลของอัตราการกวน (0, 100, 200 และ 300 รอบต่อนาที) ในถังหมักขนาด 5 ลิตร ต่อการเจริญและการผลิต PHA ด้วย *R. sphaeroides* U7 โดยให้อาการในอัตรา 1.0 vvm ([ภาคที่ 26](#)) พบร่วมกับการกวนมีผลต่อการเจริญโดยการเจริญมีแนวโน้มเพิ่มขึ้นเมื่อเพิ่มอัตราการกวน โดยการเจริญที่ความเร็วรอบ 100 รอบต่อนาที กับการไม่กวน (0 รอบต่อนาที) ใกล้เคียงกันมีค่าน้ำหนักเซลล์แห้ง 4.3 และ 4.6 กรัมต่อลิตร ตามลำดับที่ 96 ชั่วโมง การกวนด้วยความเร็ว 200 และ 300 รอบต่อนาทีให้ปริมาณเซลล์สูงสุด 5.1 และ 5.8 กรัมต่อลิตร ตามลำดับที่ 60 ชั่วโมง ซึ่งแสดงให้เห็นว่าการกวนด้วยความเร็ว 300 รอบต่อนาที ส่งผลส่งเสริมต่อการเจริญของแบคทีเรีย *R. sphaeroides* U7 บทบาทความสำคัญของการกวนส่วนใหญ่ในถังหมักเป็นเพียงการผสมระหว่างเซลล์กับอาหารเลี้ยงเชื้อให้สัมผัสถันมีผลต่อการซึมผ่านของอากาศบ้าง



ภาพที่ 26

ผลของการวนต่อการเจริญและการผลิต PHA จากการเลี้ยง *R. sphaeroides* U7 ในอาหารเดี่ยงเชื้อกลูตามะ-อะซิเดที่ไม่เติมแอมโมเนียมซัลเฟตร่วมกับกรดวาเลอ ริกความเข้มข้น 40 มิลลิโนมลาร์ และขีสต์สกัด 2.0 กรัมต่อลิตร ปรับพีเอชเริ่มต้นเป็น 7 อัตราการให้อากาศ 1.0 vvm บ่มที่อุณหภูมิ 30 องศาเซลเซียส

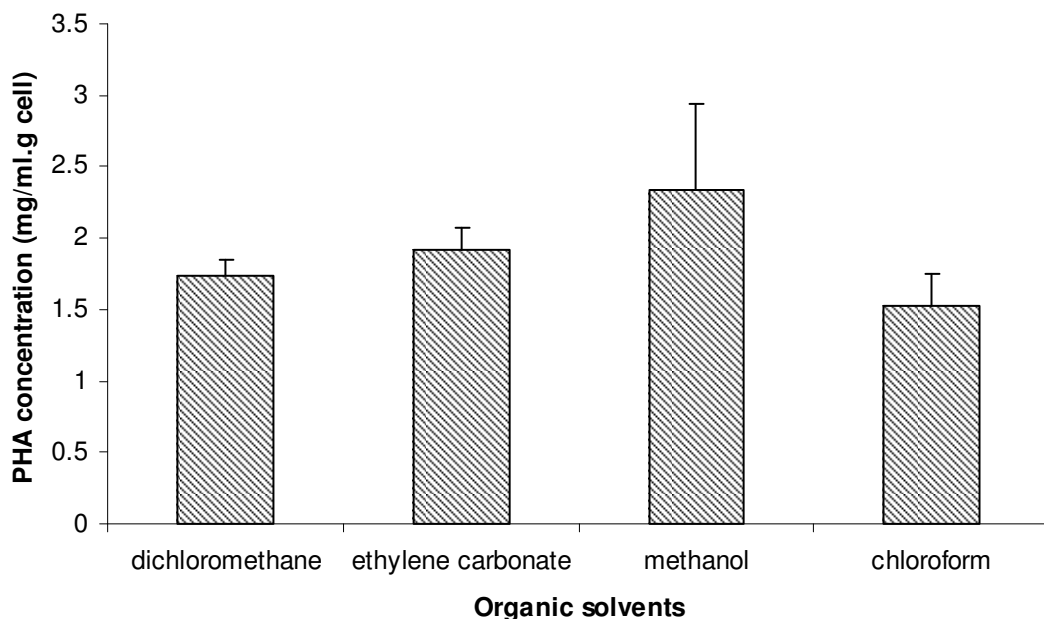
Figure 26.

Effect of agitation on growth and PHA production from *R. sphaeroides* U7 cultivated in glutamate-acetate medium without $(\text{NH}_4)_2\text{SO}_4$ supplemented with 40 mM valeric acid and 2.0 g/l yeast extract, adjusted initial pH at 7 under aeration rate at 1.0 vvm and incubated at 30°C .

ดังนั้นการไม่กวนแบคทีเรีย *R. sphaeroides* U7 ยังคงสามารถเจริญได้ เป็นผลเนื่องจากปริมาณอากาศที่ส่งผ่านในปริมาณเพียงพอ โดยการกวน 300 รอบ ต่อนาที ผลิต PHA ได้ 2.5 กรัมต่อลิตร ที่ 72 ชั่วโมง ขณะที่ 200 รอบต่อนาทีได้ PHA สูงสุดมีค่า 2.7 กรัมต่อลิตร ที่ 60 ชั่วโมง ในขณะที่ การกวน 100 รอบต่อนาที ได้ PHA 1.8 กรัมต่อลิตร ที่ 60 ชั่วโมง แต่การไม่กวนให้ PHA ต่ำสุด เท่ากับ 1.3 กรัมต่อลิตร ที่ 60 ชั่วโมง ซึ่งปริมาณ PHA ที่เกิดขึ้นมีมีการเพิ่มความเร็วของกระบวนการเริ่มนี้แนวโน้มคงที่แสดงว่าปริมาณ PHA ดังกล่าวเป็นปริมาณที่เซลล์สามารถผลิตได้สูงสุด ถึงแม้มีการเปลี่ยนแปลงสภาพของลิ่งแวดล้อมอันเป็นผลมาจากการความสามารถ หรือศักยภาพสูงสุด ของเซลล์ต่อการตอบสนองกับปัจจัยที่ระบุนี้วิธีการผลิต PHA

3.4 การคัดเลือกตัวทำละลายสำหรับสกัดพอกลิเมอร์ภายในเซลล์

จากการนำเซลล์แห้ง (lyophilized cell) ที่ได้จากการเลี้ยงเชื้อ *R.sphaeroides* U7 ในอาหาร เลี้ยงเชื้อกลูตามนท-อะเซทิเทร์วัมกับกรดวาเลอเริกความเข้มข้น 40 mM ยีสต์สกัด 2 กรัมต่อลิตร ไม่เติมแอมโมเนียมซัลเฟต ปรับพีเอชเริ่มต้นเป็น 7 อัตราการให้อากาศ 1.0 vvm และกวนที่ 200 รอบต่อนาที บ่มที่อุณหภูมิ 30 องศาเซลเซียส ตามปัจจัยและภายใต้สภาวะที่เหมาะสมข้างต้น จากนั้นนำเซลล์แห้งที่ได้มาศึกษาความสามารถของตัวทำละลายได้แก่ เมทานอล, ไดคลอโรเมเทน, เอทิลีนคาร์บอนต (Ganzeveld *et al.*, 1999) และคลอโรฟอร์ม (Hahn *et al.*, 1994) โดยนำตัวทำละลายดังกล่าวมาสกัดพอกลิเมอร์ภายในเซลล์ จากนั้นเตรียมสารละลายในรูป methyl ester สำหรับ การวิเคราะห์ด้วย GC-MS ([ภาพที่ 27](#)) พบร้าสารละลายทั้งสี่ชนิดให้โครมาโดยแกรมในช่วงเวลาเดียวกับสาร methyl hydroxybutyrate แสดงให้เห็นเบื้องต้นว่าตัวทำละลายดังกล่าวสามารถละลาย PHA ได้ โดยปริมาณที่ละลายนั้นแตกต่างกัน เท่ากับ 2.34, 1.91, 1.73 และ 1.53 มิลลิกรัมต่อมิลลิลิตร ตามลำดับเมื่อพิจารณาสเปกตรัมของสารประกอบที่แยกได้จาก GC ด้วย mass spectroscopy พบร้าสารประกอบที่ได้จากการใช้คลอโรฟอร์มมีสเปกตรัมตรงกับ methyl hydroxybutyrate ในขณะที่สเปกตรัมที่เกิดขึ้นของสารประกอบจากตัวทำละลายชนิดอื่นให้สเปกตรัมไม่ตรงกับ methyl hydroxybutyrate แสดงให้เห็นว่าคลอโรฟอร์มเป็นตัวทำละลายที่เหมาะสมสำหรับในการใช้สกัด PHA ภายนอกเซลล์ ซึ่งคลอโรฟอร์มเป็นตัวทำละลายน้ำมันที่ใช้ในการสกัด PHA ในขณะที่ไดคลอโรเมเทนถึงแม้ว่าความมีข้อจำกัดที่เกี่ยวกับคลอโรฟอร์มและสามารถละลาย PHA ได้ดี แต่พบว่าควรใช้ไดคลอโรเมเทนสำหรับการทำริสุทธิ์ PHA ซึ่งกระบวนการทำริสุทธิ์ PHA จะอาศัยการตกรตะกอนด้วย non solvent เพื่อทำการลดความสามารถในการละลายของ PHA ในตัวทำละลาย และแยกออกจากตัวทำละลาย



ภาพที่ 27 ผลของชนิดของตัวทำละลายอินทรีย์ต่างกันต่อปริมาณ PHA ที่สกัดได้จากเชื้อ *R. sphaeroides* U7
 Figure 27. Effect of different organic solvents on PHA concentration extraction from *R. sphaeroides* U7.

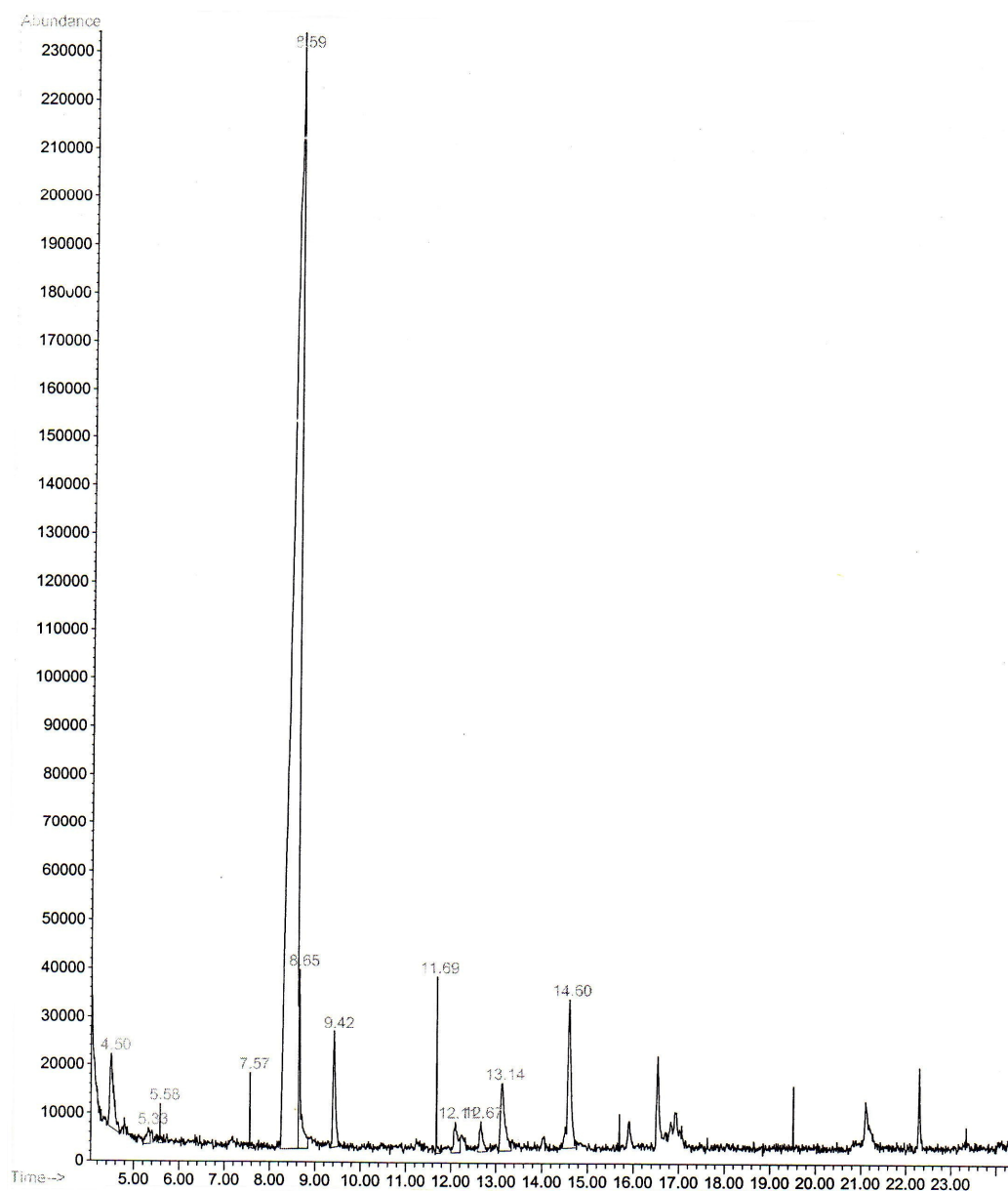
3.5 คุณลักษณะของโโคพอลิเมอร์

3.5.1 วิเคราะห์องค์ประกอบย่อยของพอลิเมอร์ด้วย Gas chromatography mass spectrometer; GC-MS

หลังจากการเตรียม methylester ของพอลิเมอร์ที่ได้จากการสกัดจากเซลล์ของ *Rhodobacter sphaeroides* U7 ด้วย GC-MS ปรากฏโครงมาโนแกรมซึ่งแสดงถึง methylester ของมอนอเมอร์ เมื่อเปรียบเทียบพอลิเมอร์ที่ได้จากการเลี้ยงในอาหารเลี้ยงเชื้อสูตร กลูตามेट-อะซิตेट (glutamate-acetate medium) กับสูตรกลูตามेट-อะซิตेटร่วมกับกรดวาเลอเริก (glutamate-acetate-valeric acid medium) พบว่าการใช้อาหารเลี้ยงเชื้อสูตรกลูตามेट-อะซิตेट ส่งเสริมการผลิตโซโนมพอลิเมอร์เนื่องจากในโครงมาโนแกรมมีพิกเด่นเพียง 1 พิกของ methyl hydroxybutyrate และมี retention time เท่ากับ 8.371 นาที ([ภาพที่ 28](#)) ในขณะที่อาหารเลี้ยงเชื้อสูตรกลูตามेट-อะซิตेटร่วมกับกรดวาเลอเริกส่งเสริมการผลิตโโคพอลิเมอร์ เนื่องจากโครงมาโนแกรมแสดง 2 พิกเด่นของ methyl hydroxybutyrate ที่ retention time เท่ากับ 8.371 นาที และ methyl hydroxyvalerate ซึ่งมี retention time เท่ากับ 13.36 นาที ([ภาพที่ 29](#))

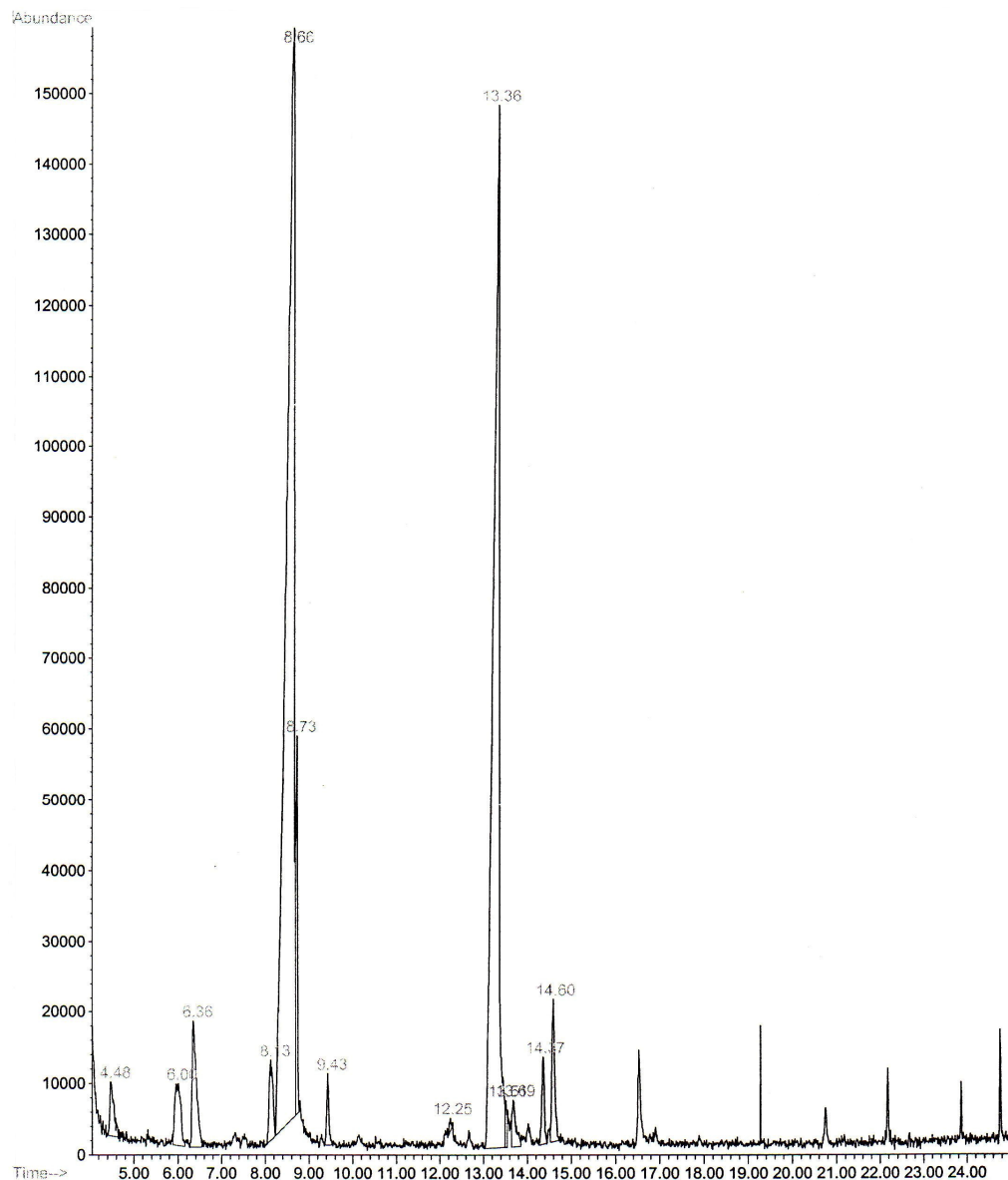
3.5.2 วิเคราะห์หาอุณหภูมิหลอมเหลว (T_m) และอุณหภูมิแข็งตัว (T_g) ของพลีกพอลิเมอร์ด้วยวิธี DSC

จากการนำพอลิเมอร์ที่ได้จากการเลี้ยงเซลล์ *Rhodobacter sphaeroides* U7 ในอาหารกลูตาเมท-อะซิตेटร่วมกับกรดวาเลอเริกและพอลิเมอร์มาร์มาตรฐานทั้ง PHB และ PHBV (8 % PHV) (ของบริษัท Aldrich) มาศึกษาอุณหภูมิหลอมเหลว และอุณหภูมิแข็งตัวของพลีกพอลิเมอร์ด้วยการใช้เครื่อง Differential scanning calorimetry (DSC) ผลการทดลองแสดง [ดังตารางที่ 10](#) พบว่าเมื่อมีการให้ความร้อนครั้งที่ 1 และครั้งที่ 2 จะปรากฏพิกของอุณหภูมิหลอมเหลวตัวพลีก (T_m) ที่มีค่าใกล้เคียงกันโดยพิกที่ได้จากการทดสอบประเภทโซโนมพอลิเมอร์มีลักษณะยอดแหนบ และหลังจากการวิเคราะห์พอลิเมอร์มาร์มาตรฐาน PHB พบว่ามีค่า T_m เท่ากับ 172.7°C ในขณะที่ค่า glass temperature (T_g) เท่ากับ 1.038°C และค่าอุณหภูมิแข็งตัวของพลีก (T_c) เท่ากับ 121.2°C เมื่อนำพอลิเมอร์มาร์มาตรฐาน PHBV ซึ่งเป็นพอลิเมอร์ประเภทโโคพอลิเมอร์ จะปรากฏลักษณะของยอดกว้าง (broad band) ลักษณะพิกดังกล่าวเป็นลักษณะของโโคพอลิเมอร์ โดยมีค่า T_m เท่ากับ 156.7°C และค่า T_g เท่ากับ -0.777°C สำหรับค่า T_c มีค่าเท่ากับ 118.866°C แต่เมื่อทำการวิเคราะห์พอลิเมอร์ตัวอย่างที่ผลิตได้จากเชื้อแบคทีเรียสั่งเคราะห์แสง U7 พบว่าให้ลักษณะพิกของค่า T_m เป็นลักษณะยอดกว้าง และให้ค่า T_m เท่ากับ 166.033°C ในขณะที่พบว่ามีค่า T_g ลดลงจากพอลิเมอร์ PHB ซึ่งมีค่าเท่ากับ -5.855°C ในขณะที่ T_c มีค่าเท่ากับ 121.033°C



ภาพที่ 28 โกรามาโตแกรมของพอลิเมอร์บริสุทธิ์ (วิเคราะห์ด้วย GC-MS) ที่ได้จากการเลี้ยงเชื้อ *Rhodobacter sphaeroides* U7 ในอาหารเลี้ยงเชื้อสูตรกลูตาเมต-อะซิเดท

Figure 28. Chromatogram of purified polymer (analyzed by GC-MS) from *R. sphaeroides* U7 cultivated in glutamate-acetate medium.



ภาพที่ 29

โกรมาトイแกรมของพอลิเมอร์บริสุทธิ์ (วิเคราะห์ด้วย GC-MS) ที่ได้จากการเลี้ยงเชื้อ *Rhodobacter sphaeroides* U7 ในอาหารเลี้ยงเชื้อสูตรกลูตามต-อะซิตेठร่วมกับการดาวเดือริกความเข้มข้น 40 มิลลิโมลาร์

Figure 29.

Chromatogram of purified polymer (analyzed by GC-MS) from *R. sphaeroides* U7 cultivated in glutamate-acetate medium with 40 mM valeric acid.

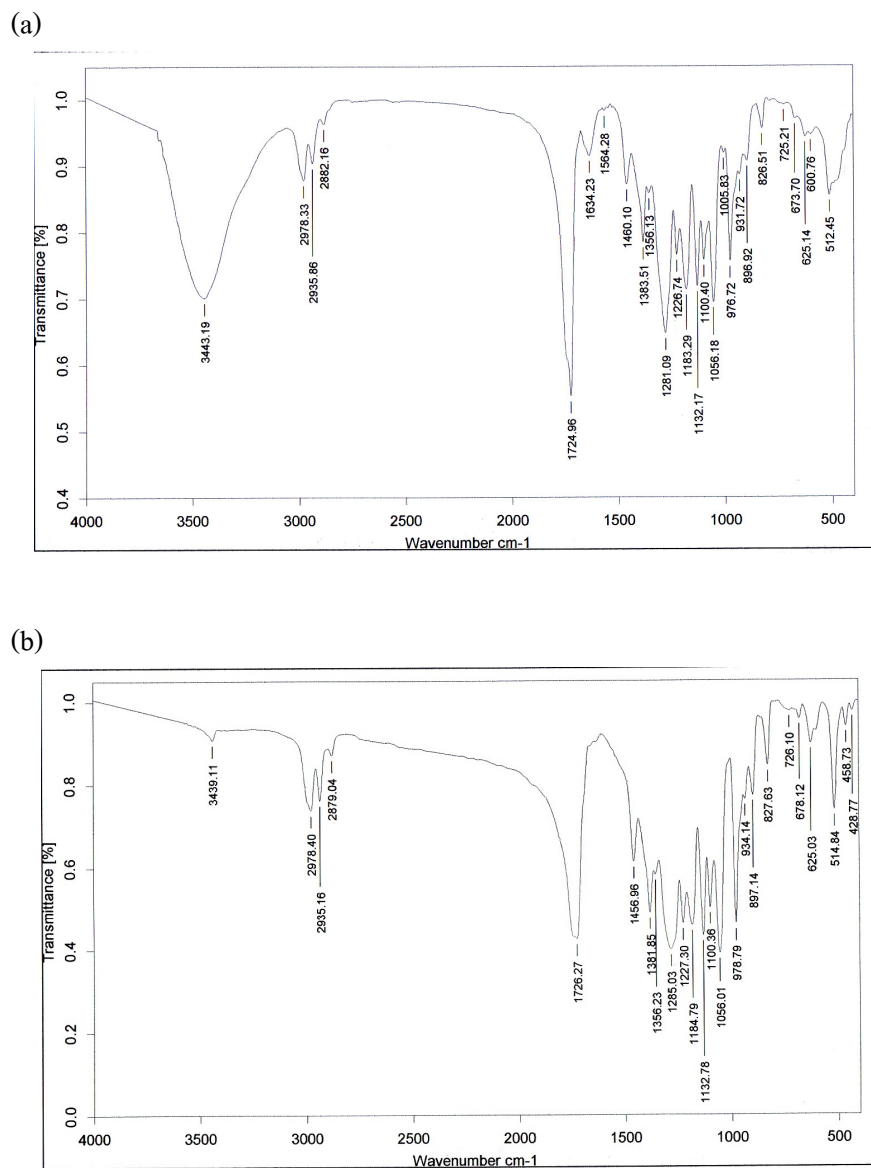
ตารางที่ 10 อุณหภูมิหลอมเหลวตัวผลึก และอุณหภูมิแข็งตัวผลึกของพอลิเมอร์บริสุทธิ์จากเชื้อ *R. sphaeroides* U7 เปรียบเทียบกับพอลิเมอร์ทางการค้า 4 ชนิด

Table 10. The melting point and crystalline temperature of extracted purified polymer from *R. sphaeroides* U7 compared to other four commercial polymers.

Samples	First heat			Second heat		
	T _g	T _c	T _m	T _g	T _c	T _m
PHB (Aldrich)						
Nature origin)	-	120.5	173.83	1.04	121.2	172.7
PHBV (Aldrich)						
PHV 8%)	-	119.5	150.67	-0.78	118.86	156.7
Polypropylene	-	-	-	-10	176	267
Nylon-6,6	-	-	-	50	190	265
<i>R. sphaeroides</i> U7 extracted polymer	-	120.5	162	-5.86	121.03	166.03

3.5.3 หมู่ฟังชั่นของพอลิเมอร์

การศึกษาคุณสมบัติของสารตัวอย่างด้วย Fourier transform infrared spectroscopy (FT-IR) เป็นการวัดความเข้มของแสง หรือกำลังของแสงที่ความยาวคลื่นต่างๆ กันอย่างต่อเนื่องเทียบกับเวลา เรียกว่า Time-Domain Spectroscopy หรือโดยทั่วไปเรียกว่า Fourier Transform Spectroscopy จากนั้น Time-Domain Spectroscopy จะถูกเปลี่ยนเป็น frequency-domain spectrum ด้วย Fourier Transform จากการใช้คิจิตอลคอมพิวเตอร์ โดยทั่วไปแล้วอินฟราเรดスペกโตรสโคปิกเป็นเทคนิคสำหรับหารือพิสูจน์เกี่ยวกับโครงสร้างของสารอินทรี ซึ่งจะปรากฏออกมากที่ความถี่ต่างๆ กัน โดยตารางแสดงรายการของ wave number กับฟังก์ชันนัลกรูปที่คุณลักษณะของพอลิเมอร์ที่ได้จากการสกัด และทำบริสุทธิ์จาก *R. sphaeroides* U7 ด้วยเทคนิค FT-IR เปรียบเทียบกับ PHBV (12% PHV ของบริษัท Aldrich) ผลงานของสเปกตรัมที่เกิดขึ้นแสดง **ดังภาพที่ 30** และเมื่อพิจารณาสเปกตรัมของ พอลิเมอร์ที่ผลิตได้ กับ



ภาพที่ 30

อินฟารดสเปกตรัมของพอลิเมอร์ที่ได้จากการลักคัดและทำบริสุทธิ์จาก *R. sphaeroides* U7 (a) เปรียบเทียบกับพอลิเมอร์ PHBV มาตรฐาน (b)

Figure 30.

The intrared spectrum of extracted purified polymer and standard PHBV compound from *R. sphaeroides* U7 by FT-IR (a) extracted purifying polymer (b) standard PHBV.

พอลิเมอร์ PHBV มาตรฐาน พบว่าสเปคตรัมของทั้งสองมีความคล้ายคลึงกัน และเนื่องด้วยพอลิเมอร์ PHBV เป็นพอลิเมอร์ที่ทราบโครงสร้างหลักหรือสูตร โครงสร้างที่แน่นอนจึงทำให้สามารถวิเคราะห์และพิจารณาสเปคตรัมที่เกิดขึ้นได้ง่าย ประกอบกับการเทียบเคียงกับสเปคตรัมของพอลิเมอร์ PHBV มาตรฐาน จึงทำให้ผลของการวิเคราะห์มีความถูกต้องแม่นยำขึ้น โดยสามารถระบุสเปคตรัมเด่นๆ ของพอลิเมอร์ที่ได้จากการสกัดและทำบริสุทธิ์จาก *R. sphaeroides* U7 ดังตารางที่ 11 เมื่อพิจารณาอินฟารेडสเปคตรัมของพอลิเมอร์ที่ได้จากการสกัดและทำบริสุทธิ์จาก *R. sphaeroides* U7 พบว่าในตำแหน่งความถี่เท่ากับ 3443.19 ซึ่งเป็นตำแหน่งของอินฟารेडสเปคตรัมของหมู่ไฮดรอกซิล โดยพอลิเมอร์ที่ผลิตได้ให้สเปคตรัมในช่วงกว้างอย่างเห็นได้ชัด แสดงให้เห็นถึงปริมาณของหมู่ไฮดรอกซิลที่มีมากอันอาจเป็นผลสืบเนื่องมาจากการเตรียมตัวอย่างอาจมีความชื้นของตัวอย่างสูงจึงทำให้เกิดสเปคตรัมของหมู่ไฮดรอกซิลที่มาจากการแยกของน้ำ แต่ไม่ได้เป็นผลมาจากการสกัดตัวอย่างสารละลายโดยเดิม ไฮโปคลอไรท์มีการทำลายโครงสร้างของพอลิเมอร์จากสารละลายโดยเดิม ไฮโปคลอไรท์ ทำให้พอลิเมอร์มีขนาดสั้นลง และมีผลให้เกิดหมู่ไฮดรอกซิโลิสระของปลายพอลิเมอร์สายสั้นๆ เพราะการวิเคราะห์ด้วย FT-IR เป็นการพิสูจน์เอกลักษณ์ หรือคุณลักษณะของสาร ดังนั้นพอลิเมอร์ที่ใช้วิเคราะห์จะมีปริมาณหรือจำนวนโมเลกุลมากหรือน้อยสเปคตรัมจะเกิดขึ้นเช่นเดียวกัน

ตารางที่ 11 สเปคตรัมที่เกิดขึ้น และ wave number (วิเคราะห์ด้วย FT-IR) ของหมู่ฟังก์ชันที่คุ้นเคยของพอลิเมอร์ที่ได้จากการสกัดและทำบริสุทธิ์จาก *R. sphaeroides* U7

Table 11. The dominant spectrum and wave number (analyzed by FT-IR) of extracted purified polymer from *R. sphaeroides* U7.

Frequency (cm^{-1})	Functional group
3443.19	OH (H_2O , ROH, PhOH)
2978.33	-CH ₂ - , -CH ₃ (C-H streching)
2935.86	-CH ₂ - , -CH ₃ (C-H streching)
2882.16	C-H (C-H streching)
1724.96	C=O (ester)
1460	-CH ₂ - , -CH ₃ - (C-H deformations)
1383	-CH ₃ (-CH ₃ symmetrical deformation)
725	-CH ₂ (CH ₂ rocking)

3.5.4 น้ำหนักโมเลกุลเฉลี่ยของโพลิเมอร์

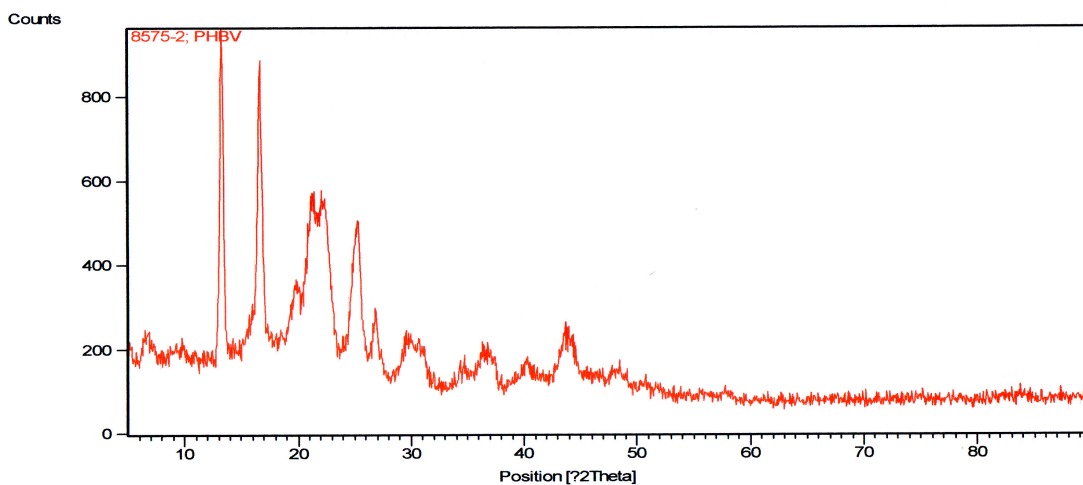
การวัดค่ามวลโมเลกุลโดยวิธีการวัดความหนืดนั้นมีความเกี่ยวข้องกับขนาดของโมเลกุล และลักษณะการจัดตัวของโมเลกุล ไม่เกี่ยวข้องกับน้ำหนักหรือมวลของโมเลกุลแต่อย่างใด ดังนั้นค่ามวลโมเลกุลที่วัดได้ด้วยวิธีวัดความหนืดจึงไม่ใช่ทั้งค่า number-averaged molecular weight (M_n) และ weight-averaged molecular weight (M_w) แต่เป็นค่ามวลโมเลกุลเฉลี่ยเชิงความหนืด (viscosity-average molecular weight, M_v) โดยมีความสัมพันธ์กับค่า M_n และ M_w ดังนี้ $M_n < M_v \leq M_w$ โดยความสัมพันธ์ของ M_n , M_w และ M_v มีความเกี่ยวข้องกับค่า a ซึ่งเป็นค่าคงที่ที่มีความสัมพันธ์กับความสามารถในการละลายของสารโพลิเมอร์ในตัวทำละลาย และการจัดรูปร่างของโมเลกุลสารโพลิเมอร์ในสารละลาย โดยจะมีค่าอยู่ในช่วง $0 \leq a \leq 1$ ซึ่งเมื่อ a เท่ากับ 0 สารโพลิเมอร์ไม่ละลายในตัวทำละลายที่กำหนด เมื่อ a เท่ากับ 0.5 สารโพลิเมอร์สามารถละลายในตัวทำละลายที่กำหนดให้ได้บ้างและมีแรงกระทำระหว่างโมเลกุลสารโพลิเมอร์กับสารตัวทำละลายน้อยมาก ทำให้โมเลกุลสารโพลิเมอร์มีการจัดตัวแบบขดกลม (coil or sphere) แต่กรณีที่ a เท่ากับ 1 สารโพลิเมอร์สามารถละลายในตัวทำละลายที่กำหนดให้เป็นอย่างดี มีแรงกระทำระหว่างโมเลกุลสารโพลิเมอร์กับสารตัวทำละลายนักมาก ทำให้โมเลกุลสารโพลิเมอร์มีการจัดตัวแบบเชิงเส้น (linear or rod) แต่สำหรับค่า a ของสารละลายโพลิเมอร์โดยทั่วไปมีค่าอยู่ในช่วง 0.6-0.8 ที่อุณหภูมิคงที่หนึ่งๆ จากค่า a ในช่วงดังกล่าวจึงมีแรงกระทำระหว่างโมเลกุลโพลิเมอร์กับตัวทำละลายพอสมควร โมเลกุลโพลิเมอร์มีการจัดตัวในลักษณะขดตัวแบบสุ่ม (random coil) สำหรับการวิเคราะห์น้ำหนักโมเลกุลของโพลิเมอร์ PHBV สามารถกำหนดค่า a ได้เป็น 0.78 ในตัวทำละลายคลอโรฟอร์ม (Luo and Netravali, 2003) และผลจากการทดลองจะได้ค่า intrinsic viscosity [η] ซึ่งเป็นค่าความหนืดของสารละลาย เมื่อความเข้มข้นของสารละลายเท่ากับศูนย์ และคำนวณน้ำหนักโมเลกุลตามสมการของ Mark Houwink-Sakurada Equation โดยกำหนดค่า K เท่ากับ 1.18×10^{-4} (Luo and Netravali, 2003)

จากการทดลองพบว่าโพลิเมอร์ที่ได้จากการสกัดและทำบริสุทธิ์จาก *R. sphaeroides* U7 ให้ค่าของน้ำหนักโมเลกุลอยู่ในช่วงกว้างตั้งแต่ 200,000 ถึง 500,000 ดาตัน ซึ่งสามารถอธิบายผลการทดลองดังกล่าวได้ว่าเป็นผลมาจากการสกัดในขั้นตอนการแยกแกรนูล PHA ออกจากเซลล์ของ *R. sphaeroides* U7 ซึ่งวิธีการที่ใช้เป็น Gravimetric method มีการใช้สารละลายโซเดียมไฮโปคลอไรท์เป็นสาร oxidizing agent เพื่อทำลายผนังเซลล์ให้เซลล์แตกและสามารถละลายส่วนที่เป็น cell pellet เกือบทั้งหมดยกเว้น PHA granule จากนั้นจึงทำการหมุนเหวี่ยงแยก PHA ออกมาเพื่อทำบริสุทธิ์ต่อไป ในขั้นตอนของการย่อยเซลล์ด้วยสารละลายโซเดียมไฮโปคลอไรท์นั้นไม่ควรใช้เวลานานจนเกินไป ช่วงระยะเวลาที่เหมาะสมอยู่ระหว่าง 30 นาที ถึง 1 ชั่วโมง (Hahn et al., 1994) การใช้เวลาในการย่อยด้วยสารละลายโซเดียมไฮโปคลอไรท์นานเกินไปจะมีผลทำให้เกิดการ

แตกหักของสายพอลิเมอร์ทำให้มีสายพอลิเมอร์สั้นลง ทำให้มีการทำการวิเคราะห์หน้าหักโมเลกุล จึงให้ค่าที่แตกต่างกัน นอกเหนือจากการระยะเวลาในการย่อยเชลล์ด้วยสารละลายโซเดียมไฮโปคลอไรท์อีกสิ่งหนึ่งที่สามารถเป็นปัจจัยที่ส่งผลให้เกิดการลดขนาดสายของพอลิเมอร์นั่นคือความเข้มข้น ของสารละลายโซเดียมไฮโปคลอไรท์ที่ใช้ ซึ่งความเข้มข้นสูงจะมีโอกาสทำลายสายพอลิเมอร์ได้สูง กว่าความเข้มข้นต่ำ ในทางตรงกันข้ามการใช้ความเข้มข้นของ ตัวทำละลายต่ำเกินไปมีผลให้เชลล์แตกไม่สมบูรณ์ หรือไม่สามารถแยก PHA granule ออกจากตะกอนเชลล์ ดังนั้นความเข้มข้นของสารละลายโซเดียมไฮโปคลอไรท์และระยะเวลาในการย่อยเชลล์จึงมีส่วนสำคัญต่อขนาดหรือ หน้าหักโมเลกุล ดังนั้นเมื่อมีการใช้ความเข้มข้นของสารละลายโซเดียมไฮโปคลอไรท์มากขึ้นการใช้เวลาให้น้อยลง

3.5.5 ค่าการเกิดผลึก (Crystallinity) ของผลึกพอลิเมอร์

จากการศึกษาคุณลักษณะและคุณสมบัติเบื้องต้นของ PHA กลุ่มไฮโนพอลิเมอร์ได้แก่ PHB พบว่าจะมีคุณสมบัติโดยทั่วไปคล้ายๆกัน แต่ประการเดียวกันนี้ การผลิตโคพอลิเมอร์เพื่อมาทดแทนการใช้ไฮโนพอลิเมอร์นั้น จึงต้องคำนึงถึงคุณสมบัติของความคงทนของโครงสร้างของพอลิเมอร์เมื่อทำการขึ้นรูปเป็นภาชนะ การใช้เครื่อง X-ray diffractometer สำหรับวิเคราะห์ทำการเกิดผลึก (crystallinity) ของพอลิเมอร์จึงมีความจำเป็น เพื่อประเมินถึงความแน่นของสัดส่วนของพอลิเมอร์ที่ประกอบขึ้นจากมอนومอร์ทั้งแบบ block และ random polymer หรืออีกนัยหนึ่งเพื่อพิจารณาความแข็งแรง ทนทานหรือความคงทนของพอลิเมอร์ที่ผลิต โดยค่าการเกิดผลึกจะรายงานในรูปของระดับการเกิดผลึก (degree of crystallinity) ซึ่งการมีค่า crystallinity สูงกว่า 50% (Doi, 1990) จากการวิเคราะห์ PHBV ที่ได้จากการสกัดและทำบริสุทธิ์จากเชื้อ *R. sphaeroides* U7 พบว่ามี % crystallinity เท่ากับ 66.84 ซึ่งมีค่ามากกว่า 50 % จึงข้อว่าพอลิเมอร์ที่ผลิตได้มีความคงทน หรือความแข็งแรง ค่อนข้างสูง ในการนำค่า % crystallinity มาใช้ประกอบการวิเคราะห์ชนิดของพอลิเมอร์ว่าเป็นไฮโนพอลิเมอร์ หรือ โคพอลิเมอร์นั้นจำเป็นต้องใช้คุณสมบัติหรือเทคนิคอื่นมาเสริมกันเพื่อให้ได้ผลที่ถูกต้องแม่นยำ การใช้เกณฑ์ % crystallinity ที่มีค่าสูงกว่า 50 % ยังไม่สามารถชี้ขาดได้ เนื่องจาก PHB ซึ่งมี 0 % PHV มีค่า % crystallinity เท่ากับ 55 % แต่แนวโน้มของค่า % crystallinity ของพอลิเมอร์ที่มีค่าสูงจะมีโอกาสเป็นพอลิเมอร์กลุ่มโคพอลิเมอร์ ดังนั้นค่า % crystallinity ควรมากกว่า หรือเท่ากับ 55 % (Doi, 1990) เมื่อเปรียบเทียบค่า % crystallinity กับพอลิโพรไพลีน และไนلون พบว่าให้ค่าเท่ากับ 30-50 และ 40-60% ตามลำดับ จากการที่ค่า % crystallinity ของโคพอลิเมอร์มีค่าสูง น่าจะเป็นผลเนื่องมาจากโครงสร้างของโคพอลิเมอร์ มีความเป็น amorphous มากกว่า ไฮโนพอลิเมอร์ จึงทำให้โครงสร้างมีความยืดหยุ่นหรือเหนียวyaเพิ่มขึ้น (Doi, 1990) รูปแบบของพีคที่เกิดขึ้นจากการวิเคราะห์พอลิเมอร์ด้วยเครื่อง X-ray diffractometer แสดงดังภาพที่ 31



ภาพที่ 31 รูปแบบที่เกิดขึ้นของพอลิเมอร์ที่สกัดได้จากเชื้อ *R. sphaeroides* U7 ในสารละลายน้ำ chloroform ด้วยเครื่อง X-ray diffractometer

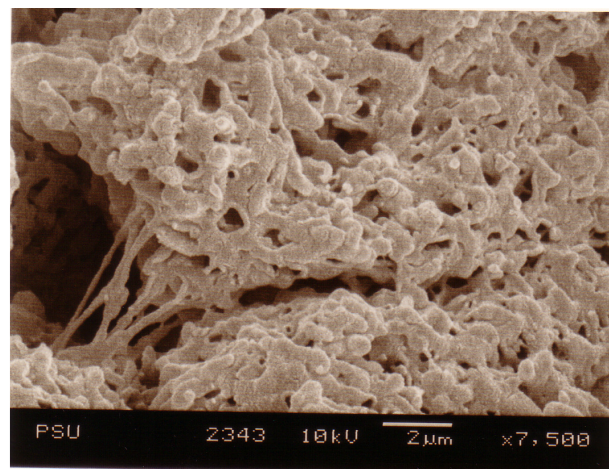
Figure 31. X-ray diffraction patterns from polymer extracted from *R. sphaeroides* U7 in a chloroform solution analyzed by X-ray diffractometer.

3.5.6 ลักษณะผลึกกายภาพของพอลิเมอร์

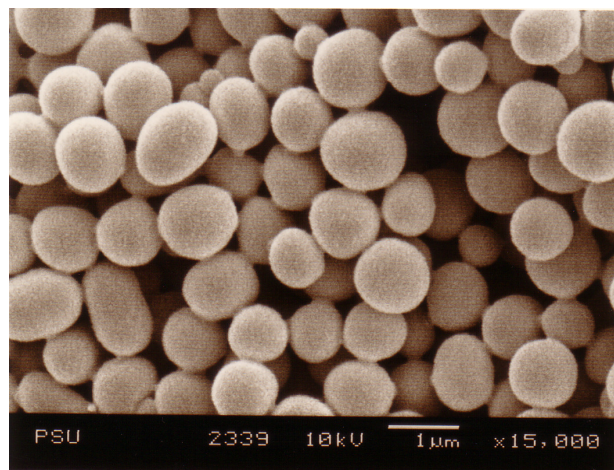
หลังจากการสกัด PHA จากเซลล์ *R. sphaeroides* U7 ด้วยสารละลายน้ำ chloroform ได้รีไซเคิล化เป็นพอลิเมอร์ที่มีคุณภาพสูง 99.8% เก็บส่วนของตะกอนที่ได้แล้วละลายด้วยสารละลายน้ำ chloroform ให้ความร้อนเพื่อให้ PHA ละลายอย่างสมบูรณ์ ทั้งไว้ให้เย็นนำไปปั่นเก็บส่วนใสไว้ จากนั้นนำสารละลายน้ำ chloroform ตากตะกอนด้วยเชกเซน แล้วกรองจะได้ตะกอน PHA จากนั้นนำไปอบให้แห้งที่ 80 องศาเซลเซียส นำตะกอน PHA ที่ได้จากการตากตะกอนด้วยเชกเซนมาศึกษาคุณลักษณะหรือคุณสมบัติด้วยเครื่อง scanning electron microscopy (SEM) เพื่อพิจารณาขนาดและรูปร่างของตะกอน PHA พบว่าในขั้นตอนการทำบริสุทธิ์ PHA ด้วยการละลายน้ำ chloroform นั้น การเตรียมพอลิเมอร์ที่ได้จากการสกัดจาก *R. sphaeroides* U7 ความเข้มสูงในสารละลายน้ำ chloroform นั้น เมื่อทำการตากตะกอน PHA ด้วยเชกเซน ตะกอนที่ได้จะเป็นตะกอนสีขาว มีลักษณะฟูคล้ายโฟม มีการเชื่อมต่อ กันของอนุภาค PHA และมีรูพรุนเกิดขึ้นดังภาพที่ 32 (a) อันเป็นผลมาจากการลดความสามารถในการละลายในตัวทำละลายอย่างทันทีด้วยสารละลายน้ำ chloroform ซึ่งในกรณีนี้เป็นเชกเซน โดยสามารถเกิดแรงดึงดูดระหว่างโมเลกุลระหว่างกลุ่ม PHA กับเชกเซน ได้ดีกว่ากลุ่ม PHA กับ PHBV หรืออาจกล่าวว่า การเติมเชกเซนเป็นการลดค่า dielectric constant ของ PHBV ทำให้ไม่สามารถเกิดแรงดึงดูดระหว่าง

ไม่เลกุลของพอลิเมอร์กับตัวทำละลาย จึงทำให้พอลิเมอร์ตกตะกอน แต่แทนที่จะตกตะกอนลงอย่างช้าๆ อย่างต่อเนื่อง กลับมีผลให้เกิดการตกตะกอนตกตะกอนอย่างรวดเร็วทำให้อนุภาคของ PHBV ไม่สามารถแยกออกจากกันอย่างชัดเจน จึงมีการเชื่อมต่อกันของอนุภาคมีลักษณะเป็นเส้นสาย ในขณะที่การเตรียมตัวอย่างเพื่อตกตะกอนด้วยเซกเซนในความเข้มข้นที่ไม่สูงเกินไป คือไม่มีการระเหยตัวทำละลาย ตกตะกอน PHA ที่เกิดขึ้นจะเป็นผงสีขาว มีลักษณะเป็นอนุภาคทรงกลม เส้นผ่าศูนย์กลางประมาณ $0.7\text{-}1.0 \mu\text{m}$ ดังภาพที่ 32 (b)

(a)



(b)



ภาพที่ 32

ภาพถ่าย scanning electron micrograph และดงลักษณะตะกอน PHBV ที่ได้จากการสกัดและตะกอนด้วย헥แซนเมื่อเตรียมในคลอโรฟอร์มความเข้มข้นต่างกัน

(a) PHBV จากการเตรียมในความเข้มข้นสูงในสารละลายคลอโรฟอร์ม ใช้กำลังขยาย 7500 เท่า

(b) PHBV จากการเตรียมในความเข้มข้นที่เหมาะสมในสารละลายคลอโรฟอร์ม ใช้กำลังขยาย 15,000 เท่า

Figure 32. Scanning electron micrograph of PHBV extracted and precipitated with different concentration of n-hexane.

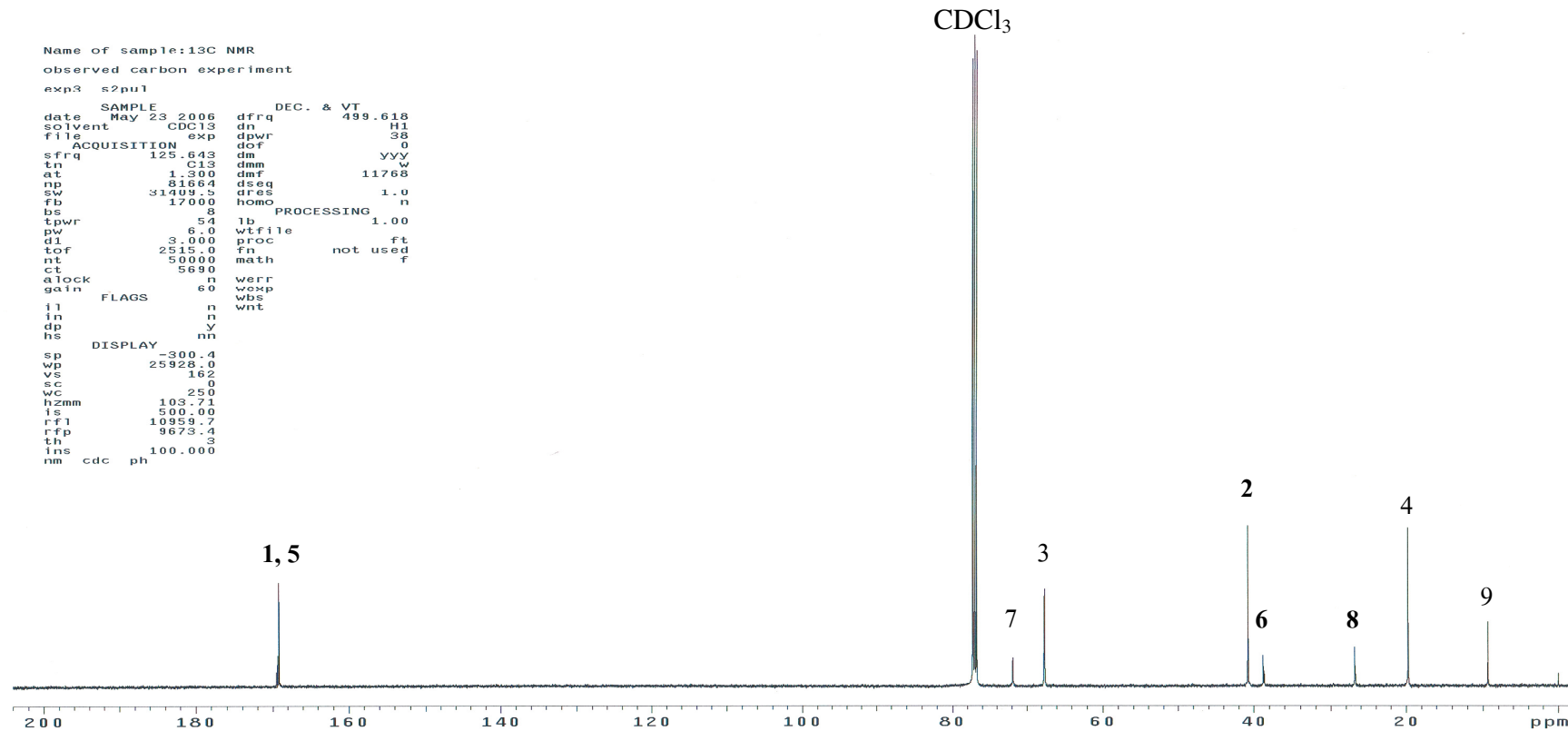
(a) PHBV obtained by using high concentration of chloroform (x7500).

(b) PHBV obtained by using optimal concentration of chloroform (x15,000).

3.5.7 สัดส่วนองค์ประกอบมอนอเมอร์ของพอลิเมอร์

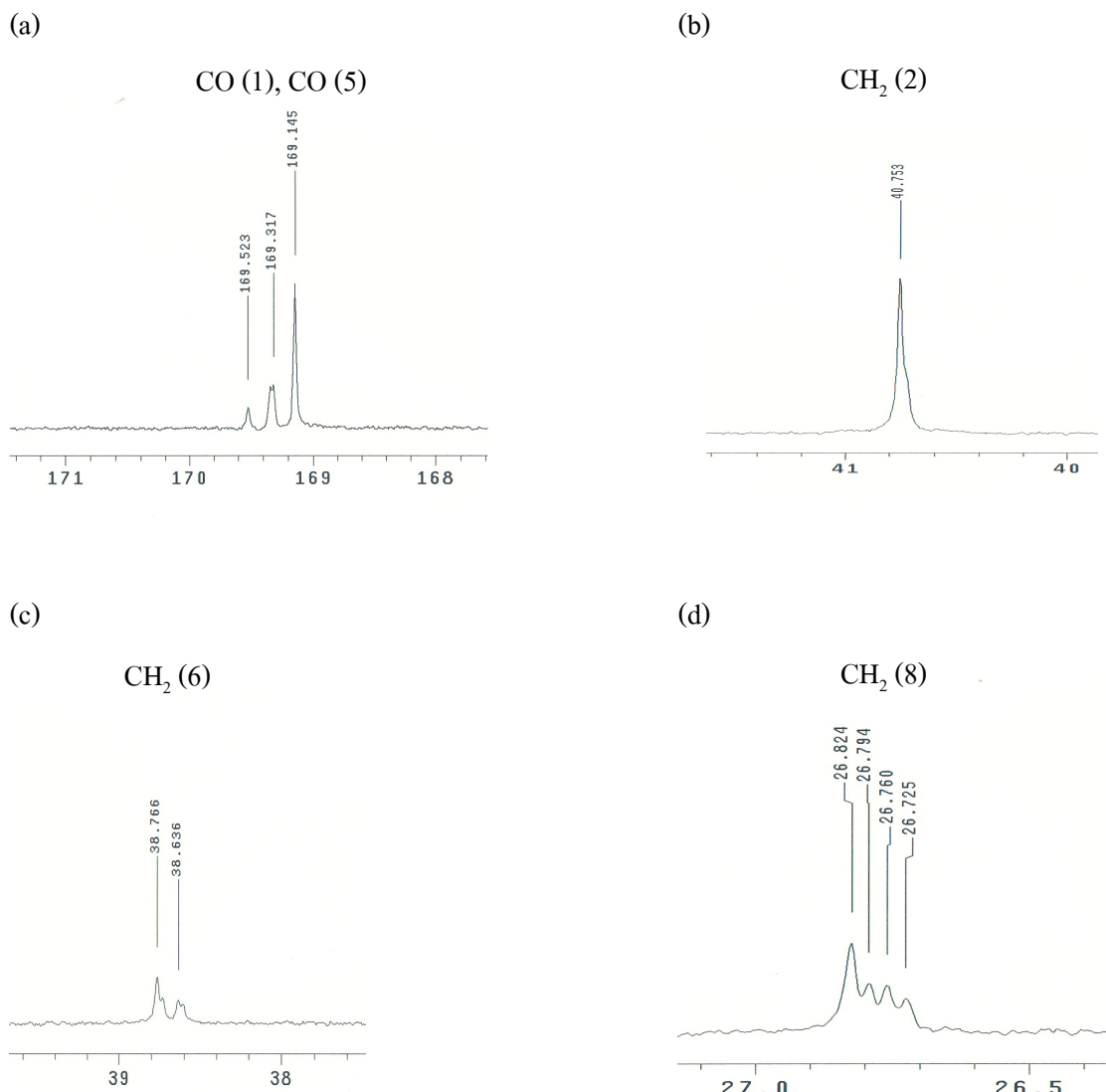
หลังจากการสกัด PHA จากเชลล์ *R. sphaeroides* U7 ด้วยสารละลายโซเดียมไฮโดรคลอไรต์ หรือคลอรอกซ์ เก็บส่วนที่เป็นตะกอนมาถ่ายด้วยอะซีโตนและถ่ายด้วยเอทานอลบริสุทธิ์ 99.8% เก็บส่วนของตะกอนที่ได้ละลายด้วยสารละลายคลอโรฟอร์ม ให้ความร้อนเพื่อให้ PHA ละลายอย่างสมบูรณ์ทึ่งไว้ให้เย็นนำไปปั่นเก็บส่วนใสไว้ จากนั้นนำสารละลายดังกล่าวมาตกรตะกอนด้วยเสกเซน แล้วกรองจะได้ตะกอน PHA จากนั้นนำไปอบให้แห้งที่ 80 องศาเซลเซียส นำตะกอน PHA ที่ได้จากการตกรตะกอนด้วยเสกเซนมาศึกษาคุณลักษณะหรือคุณสมบัติด้วย $^{13}\text{C-NMR}$ โดยนำพอลิเมอร์ที่ได้ละลายในสารละลายคลอโรฟอร์มแล้วนำมาพิจารณาถึง chemical shift เพื่อให้ง่ายต่อการเข้าใจจะกำหนด 3HB และ 3HV ด้วยสัญลักษณ์ B กับ V ตามลำดับ ผลการทดสอบแสดงดัง **ภาพที่ 32** ซึ่งพบว่าในช่วง 169.1-169.6 ppm จะพบกลุ่มของสเปกตรัมของหมู่คาร์บอนิล เมื่อพิจารณาอย่างละเอียดพบว่าประกอบด้วย 3 พิกหลัก ซึ่งเป็นผลลัพธ์เนื่องจากความแตกต่างของมอนอเมอร์ระหว่าง 3HB และ 3HV โดยสามารถพิจารณาแยกแต่ละพิกได้ว่า ที่ตำแหน่ง 169.14 ppm เป็นส่วนของหมู่คาร์บอนิลที่ได้จากการตัดบ่องช่องมอนอเมอร์แบบ BB ซึ่งเป็นสเปกตรัมที่เกิดขึ้นอย่างเช่นเดียวกันเมื่อเทียบเคียงกับสเปกตรัมของ PHB homopolymer สำหรับพิกที่ตำแหน่ง 169.31, 169.34 และ 169.51 ppm สามารถพิจารณาได้ว่าเป็นส่วนของหมู่คาร์บอนิลที่ได้จาก BV, VB และ VV ตามลำดับ เมื่อพิจารณาพิกที่ 2, 6 และ 8 ซึ่งเป็นพิกของ CH_2 พบร่วมกับพิกที่ 2 ซึ่งอยู่ในช่วง 40.6-41.0 ppm ซึ่งจะสามารถเกิดจาก BV และ BB ที่ตำแหน่ง 40.8 และ 40.85 ppm ตามลำดับ ในขณะ CH_2 ของพิกที่ 6 อยู่ในช่วง 38.7-38.9 ppm ซึ่งจะสามารถเกิดจาก VV*V, BV*V, VV*B และ BV*B ตามลำดับ สำหรับพิกที่ 8 สามารถเกิดจาก VV*V, BV*V, VV*B และ BV*B ตามลำดับ แสดงดัง **ภาพที่ 33**

จากค่า chemical shift และ peak number ที่ปรากฏข้างต้นสามารถระบุถึงตำแหน่งของคาร์บอนภายในโครงสร้างของ PHBV (**ตารางที่ 12**) ซึ่งโภพอลิเมอร์ชนิด PHBV ประกอบขึ้นด้วย 2 มอนอเมอร์คือ 3HB และ 3HV ประกอบกันเป็นหน่วยย่อยของพอลิเมอร์ จึงทำให้ค่าสเปกตรัมที่เกิดขึ้นเป็นค่าที่ได้มาจากการมอนอเมอร์ทั้งสอง



ภาพที่ 33 สเปกตรัมที่เกิดขึ้นของพอลิเมอร์ที่ได้จากการสกัดและทำบริสุทธิ์จาก *R. sphaeroides* U7

Figure 33. The typical 500 MHz ^{13}C -NMR spectrum of extracted purified polymer from *R. sphaeroides* U7.



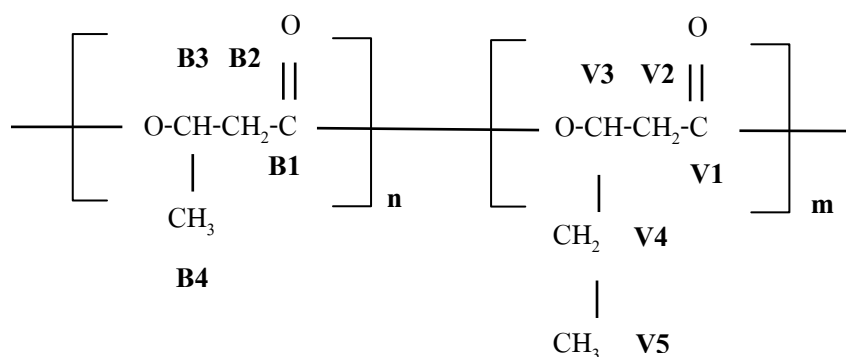
ภาพที่ 34 спектรัมที่เกิดขึ้นของพอลิเมอร์ที่ได้จากการสกัดและทำบริสุทธิ์จาก *R. sphaeroides* U7 ด้วยการใช้ 500 MHz ¹³C-NMR สำหรับการปั่นชีลิงคุณลักษณะของพอลิเมอร์
 (a) CO (1), CO (5) (b) CH₂ (2) (c) CH₂ (6) (d) CH₂ (8)

Figure 34. The typical 500 MHz ¹³C-NMR spectrum of extracted purified polymer from *R. sphaeroides* U7.

(a) CO (1), CO (5) (b) CH₂ (2) (c) CH₂ (6) (d) CH₂ (8)

ตารางที่ 12 ค่า chemical shift และ peak number (วิเคราะห์ด้วย 500 MHz $^{13}\text{C-NMR}$) ของพอลิเมอร์ริสุทชิจาก *R. sphaeroides* U7 สำหรับพิจารณาอะตอมของ การ์บอนในแต่ละมอนอเมอร์ที่ต่อกันในโครงสร้างของพอลิเมอร์

Table 12. Chemical shift and peak number (analyzed by 500 MHz $^{13}\text{C-NMR}$) of extracted purified polymer from *R. sphaeroides* U7 to determine carbon atom in each monomer of polymer structure.



Chemical shift (ppm)	Peak number	Carbon position
169	1, 5	B1
40	2	B2
68	3	B3
20	4	B4
169	1, 5	V1
38	6	V2
72	7	V3
27	8	V4
9	9	V5

สัญลักษณ์ B ใช้แทน hydroxybutyrate (HB)

B; hydroxybutyrate (HB)

V; hydroxyvalerate (HV)

สัญลักษณ์ V ใช้แทน hydroxyvalerate (HV)